



Informing you on ambient air quality
in the Belgian Regions

Intergewestelijke Cel voor het Leefmilieu
Cellule Interrégionale de l'Environnement
Belgian Interregional Environment Agency

JAARRAPPORT Luchtkwaliteit in België 2019

Dit rapport kwam tot stand door de samenwerking van alle collega's van IRCEL – CELINE Lucht:

Frans Fierens

Charlotte Vanpoucke

Elke Trimpeneers

Olav Peeters

Roman Dumoulin

Philippe Maetz

Virginie Hutsemékers

Christophe Degrave

Dankwoord

Dit rapport is tot stand gekomen dankzij de luchtkwaliteits- en meteorologische data, verzameld in de meetnetten van de drie gewesten. IRCEL dankt dan ook alle medewerkers van de Vlaamse Milieumaatschappij (VMM), l'Institut Scientifique de Service Public (ISSeP), l'Agence Wallonne de l'Air et du Climat (AWAC) en van Leefmilieu Brussel (IBGE-BIM).

Inhoud

Samenvatting	8
Inleiding	14
1 Europese regelgeving	19
1.1 Historisch	19
1.2 Europese richtlijn (2008)	19
1.3 Beleidspakket van de Europese Commissie voor schonere lucht in Europa	23
2 Periodes met verhoogde luchtverontreiniging (smogepisodes) in 2019	25
2.1 Winter- en lentesmog	26
2.2 Zomersmog	27
3 Fijn stof	29
3.1 PM ₁₀	30
3.1.1 PM ₁₀ -meetstations	30
3.1.2 PM ₁₀ -jaargemiddelde concentratie	30
3.1.3 PM ₁₀ -daggemiddelde concentratie	35
3.2 PM _{2,5}	41
3.2.1 PM _{2,5} -meetstations	41
3.2.2 PM _{2,5} -jaargemiddelde concentratie	41
3.2.3 Gemiddelde Blootstellingsindex (GBI)	47
3.3 Black Carbon (BC)	49
3.3.1 BC-meetstations	49
3.3.2 BC-jaargemiddelde concentratie	49
4 Stikstofoxides	51
4.1 NO ₂ -meetstations	52
4.2 NO ₂ -jaargemiddelde	52
4.3 NO ₂ -uurwaarden	59
5 Ozon	63
5.1 Ozonmeetstations	64
5.2 Ozon en impact op de gezondheid	64
5.2.1 NET60	64
5.2.2 AOT60	68
5.3 Ozon en vegetatie	69
5.3.1 AOT40 voor vegetatie	70
5.3.2 AOT40 voor bossen	72
5.4 O ₃ -jaargemiddelde	74

5.5	Evolutie in O ₃ -concentratieklassen	77
6	Zwavedioxide	79
6.1	SO ₂ -meetstations	79
6.2	SO ₂ -uurgemiddelden	80
6.3	SO ₂ -daggemiddelden	82
6.4	SO ₂ -jaargemiddelden	84
	Besluit	85
	Referenties	86
	Bijlage A: Meetstations	88
	Bijlage B: Jaaroverzicht van luchtkwaliteitspolluenten	93
	Bijlage C: Interpretatie van boxplots	97
	Bijlage D: Onzekerheidskaarten	98
	PM ₁₀	99
	NO ₂	100

Lijst van afkortingen en verklarende woordenlijst

AOD	Aerosol Optische Diepte: een maat voor de doorzichtigheid van de atmosfeer ten gevolge de absorptie of verstrooiing van het licht door aerosolen.
AOT40 voor bossen	Accumulated Ozon Exposure above a Threshold of 40 ppb (=80 $\mu\text{g}/\text{m}^3$): het verschil tussen het uurgemiddelde boven 80 $\mu\text{g}/\text{m}^3$ en 80 $\mu\text{g}/\text{m}^3$ voor alle uurwaarden tussen 8 u en 20 u MET in de maanden april-september. Indicator ter bescherming van de bossen.
AOT40 voor vegetatie	Accumulated Ozon Exposure above a Threshold of 40 ppb (=80 $\mu\text{g}/\text{m}^3$): het verschil tussen het uurgemiddelde boven 80 $\mu\text{g}/\text{m}^3$ en 80 $\mu\text{g}/\text{m}^3$ voor alle uurwaarden tussen 8 u en 20 u MET in de maanden mei, juni en juli (groeiseizoen). Indicator ter bescherming van de gewassen en de (semi-)natuurlijke vegetatie.
AOT60	Accumulated Ozon Exposure above a Threshold of 60 ppb (=120 $\mu\text{g}/\text{m}^3$): het verschil tussen de dagelijkse hoogste 8-uurgemiddelde concentratie hoger dan 120 $\mu\text{g}/\text{m}^3$ en 120 $\mu\text{g}/\text{m}^3$, gesommeerd over een kalenderjaar.
BC	Black Carbon ofwel roet. Dat is een deel van fijn stof en is vooral afkomstig van dieselauto's en verbranding van biomassa.
GBI	Gemiddelde Blootstellingsindex: nationale indicator die wordt berekend als het gemiddelde over drie jaar van gemeten $\text{PM}_{2,5}$ -concentraties in stedelijke achtergrondstations.
LTD	Langetermijndoelstelling
MLTD	Middellangetermijndoelstelling
NET60	Number of exceedances above a Threshold of 60 ppb (=120 $\mu\text{g}/\text{m}^3$): aantal dagen waarop de dagelijkse hoogste 8-uurgemiddelde ozonconcentratie hoger dan 120 $\mu\text{g}/\text{m}^3$ was.
NO_x	Verzamelnaam voor een gasmengsel dat bestaat uit stikstofmonoxide (NO) en stikstofdioxide (NO_2).
O_3	Ozon: zeer reactief gas dat in de troposfeer gevormd wordt door de inwerking van uv-licht op bepaalde verbindingen aanwezig in de lucht, de zogeheten precursoren. Ozon wordt voornamelijk gevormd op warme en zonnige zomerdagen.
$\text{PM}_{2,5}$	Particulate Matter ofwel fijn stof met een diameter kleiner dan 2.5 μm .
PM_{10}	Particulate Matter ofwel fijn stof met een diameter kleiner dan 10 μm .
RIO	Interpolatietechniek gebruikt in dit rapport om een ruimtelijk beeld te scheppen van de luchtkwaliteit in België.
SO_2	Zwavedioxide: een kleurloos gas met een karakteristieke irriterende geur en smaak bij hoge concentraties.
Smog	Een toestand met verhoogde luchtverontreiniging. In de winter (of in de lente) wordt dat vooral veroorzaakt door fijn stof, in de zomer vooral door ozon.

Temperatuurinversie

Fenomeen waarbij de luchttemperatuur lager is dicht bij de grond dan in de hogere luchtlagen. Dat zorgt ervoor dat de luchtvervuiling niet kan stijgen en aan de grond blijft hangen

VOC Vluchtige Organische Componenten: een mengeling van gasvormige verbindingen met koolstof en waterstof als belangrijkste elementen. Ze vormen een precursor van ozon.

WGO Wereldgezondheidsorganisatie

Samenvatting

Onderstaande tabel toont de verschillende luchtkwaliteitsindicatoren voor België in 2019 en vergelijkt die via een kleurencode met het minimum, maximum en gemiddelde van de 10 voorafgaande jaren: 2009-2018. De cijfers zijn gebaseerd op de berekeningen met de RIO-interpolatietechniek, met een ruimtelijke resolutie van 4x4 km². De cijfers zijn dus representatief voor gebieden van 4x4 km², waaruit volgt dat de concentraties (of het aantal overschrijdingen) lokaal dus hoger of lager kunnen zijn.

Tabel 1: Luchtkwaliteitsindicatoren in België, 2019.

Indicator	2019			Europese grens- of streefwaarde	WGO-advieswaarde
	Min.	Gem.	Max.		

PM ₁₀					
Jaargemiddelde (µg/m ³)	8	15	25	40	20
Aantal dagen > 50 µg/m ³	0	3	17	Max. 35 dagen	Max. 3 dagen

PM _{2,5}					
Jaargemiddelde (µg/m ³)	5	9	15	25	10

O ₃					
Aantal dagen > infodrempel 180 µg/m ³	9				
Aantal dagen > alarmdrempel 240 µg/m ³	1				
Aantal dagen met hoogste 8-uurgem. > 120 µg/m ³	7	16	27	MLTD: 25 dagen, gemiddeld over 3 jaar, LTD: 0 dagen	0 dagen met hoogste 8-uurgem. > 100 µg/m ³
Aantal dagen met hoogste 8-uurgem. > 120 µg/m ³ (gem 2017-2019)	6	19	29	MLTD: 25 dagen, gemiddeld over 3 jaar, LTD: 0 dagen	0 dagen met hoogste 8-uurgem. > 100 µg/m ³
AOT60 ((µg/m ³).u)	608	2575	4568	5800***	
AOT40 voor vegetatie ((µg/m ³).u)	2992	11581*	17128	MLTD: 18000, gemiddeld over 5 jaar, LTD: 6000	
AOT40 voor vegetatie ((µg/m ³).u) (gemiddelde 2015-2019)	3179	11864*	18405	MLTD: 18000, gemiddeld over 5 jaar, LTD: 6000	
AOT40 voor bossen ((µg/m ³).u)	6283	20359**	27269	Kritiek niveau: 10000*** Referentieniveau: 20000***	

NO ₂					
Jaargemiddelde (µg/m ³)	4	11	33	40	40
19e hoogste uurgemiddelde (µg/m ³)	18	43	101	200	hoogste uurgemiddelde: 200

SO ₂						
25e	hoogste	1	3	21	350	
uurgemiddelde (µg/m ³)						
4e	hoogste	1	2	13	125	hoogste
daggemiddelde (µg/m ³)						daggemiddelde: 20

* Gewogen gemiddelde van de vegetatie-oppervlakte.

** Gewogen gemiddelde van de bosoppervlakte.

*** Niet in richtlijn 2008/50/EG

Kleurencode:

Waarde beduidend lager dan het voorbije 10-jaargemiddelde

Waarde vergelijkbaar met het voorbije 10-jaargemiddelde

Waarde beduidend hoger dan het voorbije 10-jaargemiddelde

Rode tekstkleur wijst op een overschrijding van de Europese grenswaarde of streefwaarde.

Het jaar 2019 lijkt globaal iets beter te scoren op vlak van luchtkwaliteit dan 2018. Voor ozon echter liggen meerdere indicatoren voor 2019 hoger dan het gemiddelde van de laatste tien jaar. Behalve voor ozon, werden op basis van de RIO-berekeningen alle doel- en grenswaarden zoals vooropgesteld door de Europese Unie gerespecteerd. Voor ozon was 2019 een ongunstig jaar. Dit blijkt ook uit tabel 1 waar de de Europese middellangetermijndoelstelling ter bescherming van de bevolking (aantal dagen met hoogste 8-uurgemiddelde boven 120 µg/m³, uitgemiddeld over drie jaar) overschreden wordt. Ook de referentiewaarden ter bescherming van de bossen werd overschreden.

In Tabel 2 worden het percentage van de bevolking dat potentieel wordt blootgesteld aan concentraties boven de EU-grenswaarden enerzijds, en de advieswaarden van de Wereldgezondheidsorganisatie (WGO) anderzijds, weergegeven. Men kan besluiten, op basis van die berekeningen, dat niemand in België werd blootgesteld aan PM₁₀-concentraties hoger dan 50 µg/m³ op meer dan 35 dagen, noch aan jaargemiddelde NO₂-concentraties boven 40 µg/m³. De bevolkingsblootstelling wordt geschat op basis van de RIO-berekeningen die een beeld schetsen van de luchtkwaliteit in gridcellen van 4x4 km² en het aantal overeenkomstige inwoners in deze gridcellen. Deze relatief lage ruimtelijke resolutie verklaart dat 0 % van de bevolking werd blootgesteld aan concentraties hoger dan de NO₂-grenswaarde van de Europese richtlijn. Vooral voor pollutanten zoals NO₂ die sterk bepaald worden door de bijdrage van lokale emissiebronnen is dit een onderschatting.

Wat betreft PM₁₀ werd de Europese jaargrenswaarde in België gerespecteerd. In 2019 bleven ook de jaargemiddelde PM_{2,5}-concentraties onder de Europese grenswaarde die van kracht is sinds 2015. Bij vergelijking met de advieswaarden opgesteld door de WGO, is de situatie minder gunstig: hoewel de gemiddelde concentraties (net) voldoen aan de WGO-normen, werd een groot aandeel van de Belgische bevolking potentieel blootgesteld aan fijnstofconcentraties, zowel PM₁₀ als PM_{2,5}, boven deze WGO-advieswaarden.

In de grote agglomeraties (Brussel en Antwerpen) zijn de gemeten NO₂-concentraties op jaarbasis lokaal erg verhoogd. De Europese grenswaarde op uurbasis werd in heel België gerespecteerd.

De middellangetermijndoelstellingen voor ozon voor de bescherming van de gezondheid en de vegetatie werden opnieuw niet gehaald. Ook de langetermijndoelstelling voor de gezondheid en de vegetatie wordt nog steeds overschreden. De situatie is niet veel beter voor de bossen. Het hele bosbestand wordt blootgesteld aan ozonconcentraties boven het kritieke niveau gedefinieerd door het UNECE en 60 % overschrijdt ook de referentiewaarde van 20000 ((µg/m³).u).

Concluderend kan gesteld worden dat in 2019 de concentraties fijn stof (PM₁₀ en PM_{2,5}) en ozon nog steeds te hoog zijn en een belangrijke impact blijven hebben op de volksgezondheid. In 2019 was er ook een belangrijke negatieve impact op de vegetatie en bossen door te hoge ozonconcentraties.

Tabel 2: Percentage van de bevolking of de vegetatieoppervlakte potentieel blootgesteld aan waarden boven de Europese grens- of streefwaarde of WGO-advieswaarde.

Indicator	Europese grens- of streefwaarde	2019	WGO-advieswaarde	2019
		% blootgestelde bevolking of % van de oppervlakte boven de streefwaarde voor vegetatie (AOT40)		% blootgestelde bevolking

PM₁₀

Jaargemiddelde ($\mu\text{g}/\text{m}^3$)	40	0 %	20	28 %
Aantal dagen $> 50 \mu\text{g}/\text{m}^3$	max. 35 dagen	0 %	max. 3 dagen	59 %

PM_{2,5}

Jaargemiddelde ($\mu\text{g}/\text{m}^3$)	25	0 %	10	62 %
---	----	-----	----	------

NO₂

Jaargemiddelde ($\mu\text{g}/\text{m}^3$)	40	0 %	40	0 %
Uurgemiddelde $> 200 \mu\text{g}/\text{m}^3$	max. 18 uren	0 %	0 uren	0 %

SO₂

Daggemiddelde $> 125 \mu\text{g}/\text{m}^3$	max. 3 dagen	0 %	daggemiddelde $> 20 \mu\text{g}/\text{m}^3$	0 %
Uurgemiddelde $> 350 \mu\text{g}/\text{m}^3$	max. 24 uren	0 %		

O₃

Aantal dagen met hoogste 8-uurgem. > 120 µg/m ³	LTD: 0 dagen	100 %	dagelijks hoogste 8-uurgem > 100 µg/m ³	100 %
Aantal dagen met hoogste 8 uurgem. > 120 µg/m ³ (gemiddelde 2015-2019)	MLTD: 25 dagen, gemiddeld over 3 jaar	4 %		
AOT60 ((µg/m ³).u)	5800*	0 %		
AOT40 voor vegetatie ((µg/m ³).u)	LTD: 6000	99 %		
AOT40 voor vegetatie ((µg/m ³).u) (gemiddelde 2015-2019)	MLTD: 18000, gemiddeld over 5 jaar	0 %		
AOT40 voor bossen ((µg/m ³).u)	Kritiek niveau: 10000*	100 %		
AOT40 voor bossen ((µg/m ³).u)	Referentieniveau: 20000*	60 %		

Kleurencode:

0 %	0 % - 50 %	> 50 %
-----	------------	--------

* niet in richtlijn 2008/50/EG

Inleiding

Tot 1994 werden de luchtkwaliteitsmeetnetten in België uitgebaat door het federale Instituut voor Hygiëne en Epidemiologie (IHE). Ook de beoordeling van de luchtkwaliteit was een federale bevoegdheid. Sinds 1994 zijn het meten en het beoordelen van de luchtkwaliteit bevoegdheden van de drie Belgische gewesten. De drie gewesten beslisten om toch op een permanente basis te blijven samenwerken en daarvoor werd de Intergewestelijke Cel voor het Leefmilieu (IRCEL) opgericht. IRCEL is onder meer verantwoordelijk voor het informeren van de bevolking, media en beleidsmakers over de luchtkwaliteit. Dat gebeurt door een efficiënte en nauwe samenwerking met de verantwoordelijke instanties in de drie gewesten. In het kader van dat samenwerkingsakkoord moet IRCEL jaarlijks rapporteren over de luchtkwaliteit in de drie gewesten. Dit rapport geeft een overzicht van de toestand van de luchtkwaliteit in 2019 in België.

De concentraties van de verschillende vervuilende stoffen in de lucht worden gemeten in de luchtkwaliteitsmeetnetten van de drie gewesten. In Vlaanderen worden de meetnetten uitgebaat door de Vlaamse Milieumaatschappij (<http://www.vmm.be>), in Wallonië door l'Institut Scientifique de Service Public (<http://www.issep.be>) en het Agence Wallonne de l'Air et du Climat (AWAC) (<http://www.awac.be>) en in Brussel door Leefmilieu Brussel (<https://leefmilieu.brussels/>). De meetwaarden worden verzameld door IRCEL en opgeslagen in de intergewestelijke luchtdatabank. Daarnaast beschikken de gewesten over een meteorologisch meetnet waarmee ook verschillende meteorologische parameters gemeten worden om de gemeten concentraties van de luchtvervuiling te kunnen duiden. De meteorologische parameters die gemeten worden, zijn temperatuur, windrichting en -snelheid, luchtdruk, neerslag en relatieve vochtigheid.

Dit rapport beschrijft de toestand van de luchtkwaliteit in 2019 en de evolutie van de luchtkwaliteit in België de laatste jaren. In dit rapport wordt niet ingegaan op de metingen in de verschillende individuele meetstations. Daarvoor verwijzen we naar de jaarrapporten luchtkwaliteit van de gewesten en de jaarlijkse rapportering van België in het kader van de Europese richtlijn 2008/50/EG.

De jaarrapporten gepubliceerd door Vlaanderen en Wallonië zijn beschikbaar op volgende locaties:

- voor Vlaanderen: <https://www.vmm.be/publicaties/lucht-2020/emissies-en-concentraties-luchtverontreinigende-stoffen>
- voor Wallonië: <https://www.wallonair.be/fr/publications/12-qualite-de-l-air-ambient/4-wallonie-rapports-annuels.html>

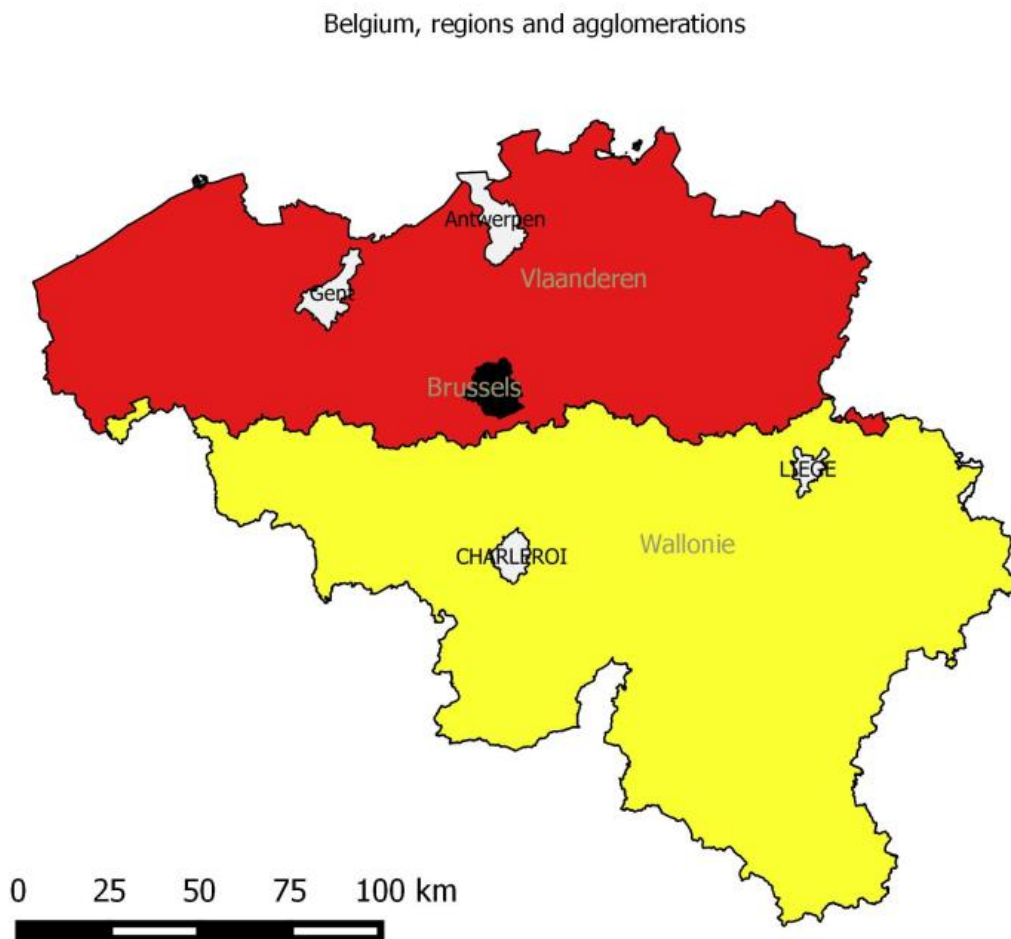
De analyses in dit rapport gebeurden voornamelijk door gebruik te maken van (ruimtelijke) interpolaties van de luchtkwaliteitsmetingen, de zogenaamde RIO-interpolatietechniek (zie Box 1). De polluenten PM₁₀, PM_{2,5}, BC, O₃, NO₂ en SO₂ worden besproken aangezien de interpolatietechniek voor die polluenten ontwikkeld werd. In het voorliggende rapport werd RIO-versie 5.0 gebruikt. Voor de resultaten van andere polluenten zoals o.a. NO, CO, zware metalen verwijzen we naar de gewestelijke jaarrapporten.

Figuur 1 geeft een overzicht van de gewesten, provincies en de grootste agglomeraties in België.

Nota 1: de blootstelling van de bevolking gepresenteerd in dit rapport is een 'statische' blootstelling, berekend op basis van de bevolkingsaantallen per RIO-gridcel. Dat betekent dat de blootstelling geschat wordt aan de hand van de woonplaats van de bevolking. Met verplaatsingen wordt dus geen rekening

gehouden. Bovendien impliceert de ruimtelijke resolutie van de RIO-interpolatietechniek ($4 \times 4 \text{ km}^2$) een onzekerheid over de werkelijk blootgestelde bevolking. In een bepaalde gridcel waar bijvoorbeeld een NO_2 -jaargemiddelde van $41 \mu\text{g}/\text{m}^3$ berekend wordt, worden alle mensen in die gridcel verondersteld blootgesteld te zijn aan die concentratie boven de EU-jaargrenswaarde, terwijl in werkelijkheid een deel van de bevolking zal zijn blootgesteld aan lagere of hogere concentraties. In een gridcel waar $40 \mu\text{g}/\text{m}^3$ berekend wordt echter, wordt niemand verondersteld blootgesteld te zijn aan concentraties boven de grenswaarde. De resultaten moeten dus met enige voorzichtigheid worden geïnterpreteerd.

Figuur 3 toont de bevolkingsdichtheid per RIO-roostercel. Die is hoger in de grote agglomeraties die duidelijk zichtbaar zijn op de kaart.



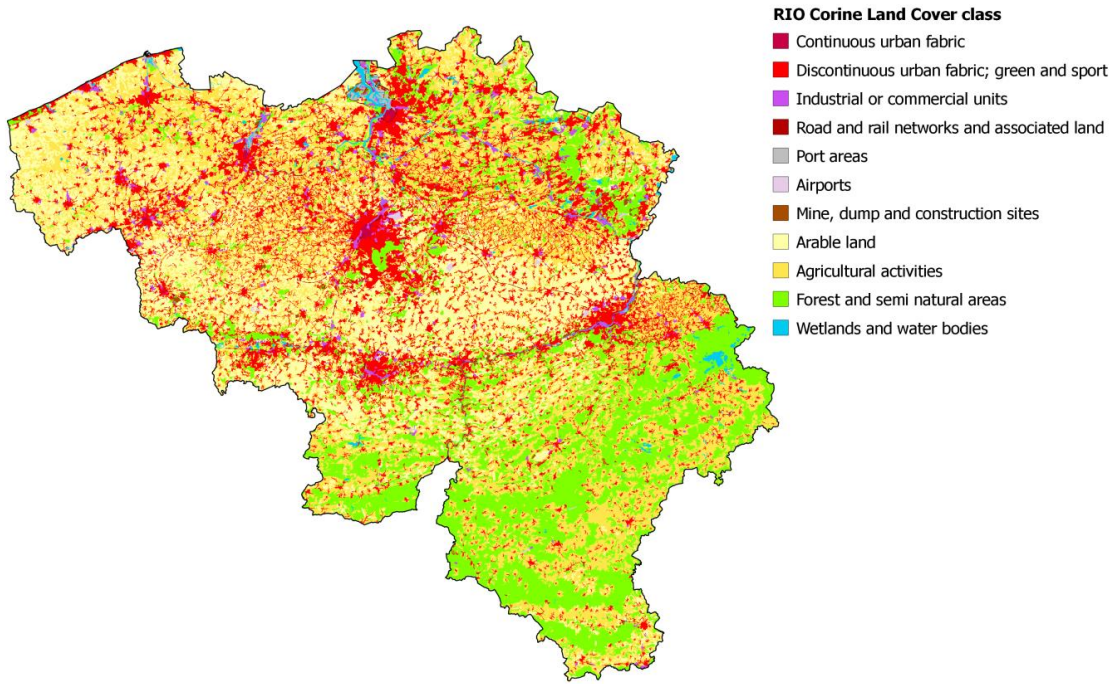
Figuur 1: De verschillende regio's en de grote agglomeraties in België.

BOX 1: RIO-interpolatietechniek

In dit rapport wordt gebruikgemaakt van een ruimtelijke interpolatietechniek van luchtkwaliteitsmetingen, genaamd RIO. Op die manier kan ook de blootstelling van de bevolking worden geschat. Gewone interpolatietechnieken zoals Inverse Distance Weighting (IDW) en Ordinary Kriging (OK) vereisen dat elke meetplaats representatief is voor eenzelfde ruimtelijk gebied. In de praktijk is dat voor luchtverontreiniging echter niet het geval. Concentraties gemeten dicht bij een verontreinigingsbron zullen veelal slechts representatief zijn voor een beperkt gebied rond die bron, terwijl concentraties die gemeten worden in een landelijke zone over het algemeen voor een grotere oppervlakte representatief zijn. Om daarmee rekening te houden, dus om het lokale karakter van de luchtvervuiling in rekening te brengen, werd de RIO-interpolatietechniek ontwikkeld (Hooybergs et al., 2006; Janssen et al., 2008). RIO is een intelligente interpolatietechniek waarmee de lokale invloed per meetstation eerst verwijderd wordt om zo een ruimtelijke homogene dataset van luchtkwaliteitsmetingen te verzamelen. De zo verkregen meetwaarden kunnen dan wel worden geïnterpoleerd met Ordinary Kriging. Het lokale karakter voor elk van de geïnterpoleerde meetpunten wordt in de laatste stap weer toegevoegd. Het lokale karakter van een meetplaats wordt bepaald door een statistische analyse van lange tijdsreeksen van concentraties in de meetstations en het landgebruik (Corine Land Cover) in de buurt van die meetstations. Uit die analyse blijkt dat er een robuuste correlatie bestaat tussen landgebruik en de concentratieniveaus. De correlatie tussen de concentraties en het landgebruik wordt samengevat in trendfuncties. Omdat het landgebruik voor heel België bekend is, kan het lokale karakter voor elke plaats waar geïnterpoleerd wordt, in rekening worden gebracht. Figuur 2 toont de Belgische landgebruiksk kaart op basis van de Corine Land Cover 2006, geaggregeerd naar de 11 RIO-corine klassen gebruikt in de RIO-interpolatiemethode. Het duidelijk verschillende landgebruik in de drie gewesten wordt ook weerspiegeld in de luchtkwaliteit. De zone ten zuiden van de Samber- en Maasvallei bijvoorbeeld is duidelijk een meer beboste zone, met minder emissiebronnen en dus minder luchtvervuiling.

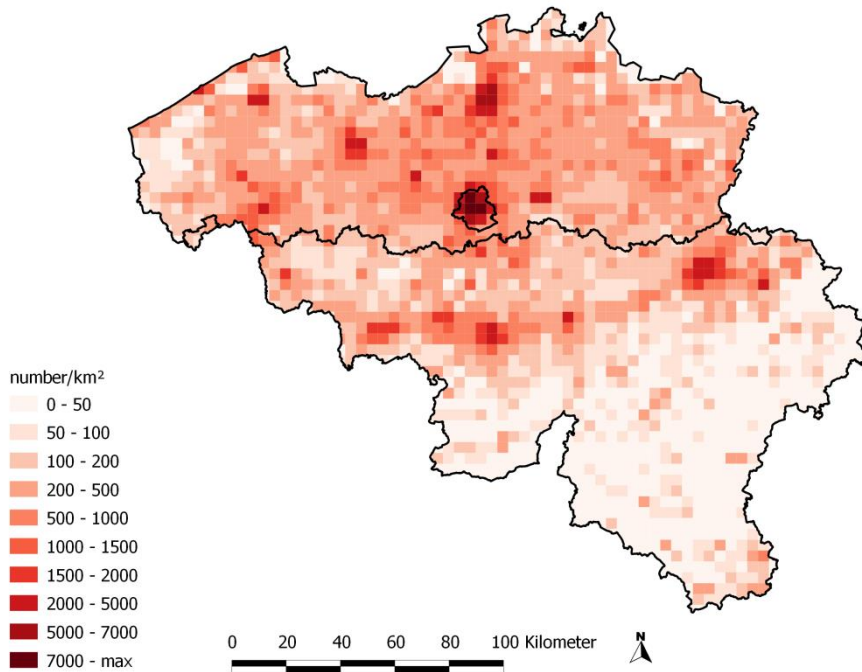
De ruimtelijke resolutie van de RIO-interpolatietechniek is 4x4 km². Met RIO is het mogelijk om op elk uur voor alle 4x4 km² roostercellen in België de luchtkwaliteit te berekenen. Ontbrekende meetresultaten in meetstations worden ingevuld door de interpolatie van de metingen van de meetplaatsen die wel beschikbaar zijn. Dat is zeer interessant voor overschrijdings- en overlastindicatoren die concentraties over meerdere uren of dagen accumuleren. Indien men die indicatoren wil berekenen per meetstation, dan moet men er immers altijd rekening mee houden dat ontbrekende data kunnen leiden tot onvolledige resultaten waardoor een correctie noodzakelijk is. De RIO-interpolatiemethode is gevalideerd met de 'leaving-one-out' methode. Daarbij wordt een interpolatie gedaan met de metingen van alle behalve één meetstation. De geïnterpoleerde concentraties op de plaats van het weggelaten meetstation kunnen dan worden vergeleken met de meetresultaten gemeten in dat station. RIO werd ook gevalideerd met onafhankelijke metingen, waarbij een lage onzekerheid aangetoond werd (Janssen et al., 2008). Onafhankelijke metingen zijn metingen die nergens in RIO, ook niet bij de bepaling van de trendfuncties, gebruikt worden. Daarnaast wordt ook de onzekerheid per roostercel berekend voor elke pollutant. Voor deze kaarten en een meer gedetailleerde uitleg rond het bepalen van de modelonzekerheid verwijzen we naar Bijlage C.

Corine Land Cover 2006



Figuur 2: Landgebruik in België, ingedeeld in RIO-corine klassen.

Population density



Figuur 3: Bevolkingsdichtheid per RIO-roostercel (Bron: Bevolkingscijfers Statistics Belgium).

Naast de verschillende indicatoren voor het jaar 2019 wordt voor elke pollutant en elke 4x4 km² roostercel uit de RIO-interpolatie de trend in luchtconcentraties berekend sinds het begin van de metingen (zie Box 2). Daarbij is het belangrijk om altijd met Nota 2 rekening te houden.

Nota 2: de trend in concentraties of indicatoren afgeleid van concentraties wordt beïnvloed door het verschillende aantal meetstations per jaar of een eventuele verandering van meetmethode. Idealiter gebruikt men bij de bepaling van de trend enkel de metingen van de stations die gedurende de hele periode operationeel waren. Het aantal meetstations is voor de meeste pollutanten echter sterk toegenomen gedurende de afgelopen 20 jaar waardoor de ruimtelijk gemiddelde concentraties en de interpolatiekaarten nu een kleinere onzekerheid hebben. Dat betekent dat de onzekerheid van de waarden in jaren met weinig meetstations groter is dan in jaren met meer stations. De evolutiegrafieken en -kaarten moeten dan ook worden gelezen met dat in het achterhoofd. Per pollutant wordt aan het begin van elk hoofdstuk de evolutie weergegeven van het aantal stations.

BOX 2: Trendanalyse

Om de helling en de statistische significantie (p-waarde) van de trend (in $\mu\text{g}/\text{m}^3/\text{jaar}$) te bepalen, wordt gebruikgemaakt van de niet-parametrische Theil-Senmethode (Theil, 1950; Sen, 1968). In de Theil-Senmethode wordt de helling tussen alle paren van (x,y) punten bepaald. De Theil-Senschatting van de helling is dan de mediaan van al die hellingen. Bij een niet-parametrische methode, in tegenstelling tot de krachtigere parametrische statistische testen, is het niet vereist dat de data normaal verdeeld zijn en dat aan de voorwaarde van homoscedasticiteit, nl. de gelijkheid van variantie van de luchtkwaliteitsdata over de verschillende jaren, voldaan is. Er kunnen nog altijd nauwkeurige betrouwbaarheidsintervallen worden berekend. Bovendien is de methode ook resistent tegen ‘outliers’ ofwel uitschieters. Dat zijn waarnemingen die relatief ver van de andere waarnemingen verwijderd liggen. De schatting van de trendparameters wordt dan vervolgens nog robuuster gemaakt door ‘bootstrap-resampling’. Dat houdt in dat de originele dataset x aantal keer opnieuw gegenereerd wordt op basis van een vooraf opgestelde verdeling en dat ook de trendanalyseparameters x aantal keer opnieuw berekend worden.

In hoofdstuk 1 wordt de Europese regelgeving over luchtkwaliteit toegelicht met een overzicht van de na te leven Europese grens- en streefwaarden. Daarna volgt een overzicht van de smogepisodes in 2019 en de mogelijke verklaringen, zoals de meteorologische omstandigheden, voor het plaatsvinden van die episodes. Vervolgens geven we per pollutant een beschrijving, bespreken we de toetsing aan de Europese grens- en streefwaarden en andere relevante indicatoren en gaan we de langetermijntrend na. Alle kaarten en grafieken gepubliceerd in dit rapport zijn gemaakt op basis van de resultaten van de RIO-interpolatietechniek, tenzij anders vermeld.

De tabel in Bijlage A geeft de meetstations uit de drie regionale meetnetwerken weer die gebruikt worden in de ruimtelijke interpolatiekaarten, samen met de pollutanten die er gemeten worden. In Bijlage D wordt de ruimtelijke spreiding van de onzekerheid van de geïnterpoleerde concentraties weergegeven voor PM₁₀ en NO₂.

De berekening van de verschillende indicatoren, en ook de trendanalyses, werden uitgevoerd met behulp van het ‘openair’-pakket (Carslaw en Ropkins, 2012), ontwikkeld voor het statistische softwareprogramma R (R Core Team, 2017). Alle kaarten in dit jaarrapport werden gemaakt met QuantumGIS (QuantumGIS Development Team, 2015).

1 Europese regelgeving

In het volgende hoofdstuk worden de belangrijkste kenmerken van de Europese regelgeving besproken. Die regelgeving bevat eisen voor het meetnetwerk in elk land, en ook grens- en streefwaarden voor de verschillende pollutanten.

1.1 Historisch

Op 21 november 1996 werd de richtlijn 96/62/EG van de Raad van 27 september 1996 betreffende de beoordeling en het beheer van de luchtkwaliteit gepubliceerd. Die richtlijn vormt een mijlpaal op het gebied van regelgeving voor de luchtkwaliteit in de Europese Unie (EU 1996). De nieuwe Kaderrichtlijn verving de vroegere binnen de Europese Unie te hanteren richtlijnen voor SO₂ en zwevende deeltjes (80/779/EEG), voor Pb (82/884/EEG), voor NO₂ (85/203/EEG) en voor O₃ (92/72/EEG).

Samen met een aantal dochterrichtlijnen vormde ze de basis voor een nieuw kwaliteitsbeleid lucht binnen de Europese Unie. De Kaderrichtlijn had als doel de grondbeginselen van een gemeenschappelijke strategie te formuleren, terwijl de dochterrichtlijnen voor een 13-tal pollutanten luchtkwaliteitsnormen (wettelijk bindende grens- en niet-bindende streefwaarden, en in een aantal gevallen alarmdrempels) vastlegden. De gemeenschappelijke strategie in de Kaderrichtlijn was erop gericht om enerzijds de luchtkwaliteit op een gemeenschappelijke manier te beoordelen en de bevolking daarover in te lichten met vastgelegde meetmethodes en criteria, en anderzijds doelstellingen voor de luchtkwaliteit vast te stellen opdat schadelijke effecten voor de menselijke gezondheid en het milieu konden worden voorkomen, verhinderd of verminderd. In de dochterrichtlijnen werden die luchtkwaliteitsdoelstellingen per pollutant geformuleerd in de vorm van grens- en streefwaarden, en ook met een datum waarop concentratieniveaus beneden die grenswaarden moeten worden bereikt. In een overgangsfase wordt een overschrijdingsmarge voor de grenswaarde ingesteld. De lidstaten zijn verplicht om actieplannen uit te werken bij overschrijdingen van de grenswaarden. De richtlijnen beschreven ook per pollutant criteria en meetmethodes voor de bewaking van de luchtkwaliteit, en bij welke informatie- en alarmdrempels de bevolking moet worden geïnformeerd. Die drempels zijn gedefinieerd voor stoffen waaraan kortstondige blootstelling boven de drempelwaarde risico's kan inhouden voor de volksgezondheid. Er bestaan alarmdrempels voor NO₂, SO₂ en O₃.

1.2 Europese richtlijn (2008)

In mei 2008 werden de Kaderrichtlijn 96/62/EG, de eerste drie dochterrichtlijnen en een richtlijn rond het uitwisselen van gegevens vervangen door de nieuwe EU-richtlijn 2008/50/EG. De grens- en streefwaarden, en informatie- en alarmdrempels werden behouden, behalve de tweede fase van de PM₁₀-grenswaarde die geschrapt werd. Aanvullend werden, gebaseerd op recente gezondheidsonderzoeken naar de schadelijke effecten van PM_{2,5}, voor die pollutant eveneens meetverplichtingen en grens- en streefwaarden vastgelegd. Op basis van PM_{2,5}-metingen in stedelijke achtergrondlocaties wordt een gemiddelde blootstellingsindex (GBI) berekend voor het referentiejaar 2010, gebaseerd op de gemiddelde concentratie in 2008, 2009 en 2010. Die blootstellingsindex bepaalt naar welk reductiepercentage een lidstaat moet streven tegen 2020. Er werd ook in extra flexibiliteit voorzien voor het niet in rekening brengen van natuurlijke bronnen bij de beoordeling van de kwaliteitsdoelstellingen en er werd in een uitstelmogelijkheid voorzien voor het halen van de grenswaarden van NO₂, PM₁₀ en benzeen.

Voor fijn stof mogen overschrijdingen die geheel of gedeeltelijk te wijten zijn aan natuurlijke bronnen geheel of gedeeltelijk buiten beschouwing worden gelaten. De bijdrage van het strooien van winterzand

en -zout mag eveneens worden afgetrokken. Tabel 3 geeft een overzicht van de verschillende grens- en streefwaarden per pollutant en het tijdstip waarop die gerespecteerd moeten worden.

Tabel 4 geeft de informatie- en alarmdrempels weer waarbij de bevolking moet worden geïnformeerd of gealarmeerd.

Tabel 3: Overzicht van Europese grens- en streefwaarden voor de verschillende polluenten volgens de EU-richtlijn 2008/50/EG.

Stof	Bescherming van	Middelingstijd	Waarde	Maximum toegestaan aantal overschrijdingen	Datum waarop de waarde bereikt moet worden
Grenswaarden					
SO ₂	mens	1 uur	350 µg/m ³	24	1 januari 2005
		1 dag	125 µg/m ³	3	1 januari 2005
NO ₂	mens	jaar en winter	20 µg/m ³		
		1 uur	200 µg/m ³	18	1 januari 2010
	vegetatie	jaar	40 µg/m ³		1 januari 2010
PM ₁₀	mens	jaar	30 µg/m ³		
	mens	1 dag	50 µg/m ³	35	1 januari 2005
PM _{2,5}	mens	jaar	40 µg/m ³		1 januari 2005
	mens	jaar	25 µg/m ³		1 januari 2015
Benzeen	mens	jaar	20 µg/m ³		1 januari 2020 ⁽¹⁾
	mens	jaar	5 µg/m ³		1 januari 2010
CO	mens	dagelijkse hoogste 8 uur ⁽²⁾	10 mg/m ³		1 januari 2005
Pb	mens	jaar	0.5 µg/m ³		1 januari 2005 ⁽³⁾
Streefwaarden					
O ₃	mens	dagelijkse hoogste 8 uur	120 µg/m ³	MLTD: 25 ⁽⁴⁾ LTD: 0	1 januari 2010
	vegetatie	AOT40: 8u-20u CET in mei - juli	MLTD: 18000 (µg/m ³)·u ⁽⁴⁾ LTD: 6000(µg/m ³)·u		
PM _{2,5}	mens	jaar	25 µg/m ³		1 januari 2010

- (1) Indicatieve grenswaarde die zal worden herzien door de Europese Commissie in 2013 op basis van verworven kennis rond gezondheid en milieueffecten, technische mogelijkheden en ervaring met de streefwaarden in de verschillende lidstaten.
- (2) De dagelijkse hoogste 8-uur gemiddelde concentratie wordt geselecteerd op basis van het glijdend 8-uur gemiddelde, wat berekend wordt op basis van uurlijkse data en elk uur aangepast wordt. Elk berekend 8-uur gemiddelde wordt toegekend aan de dag waarop het eindigt.
- (3) In de onmiddellijke nabijheid van specifieke industriële bronnen die gelegen zijn op sites die vervuild zijn door decennia durende industriële activiteiten moet de grenswaarde bereikt worden tegen 1 januari 2010. Tot dat tijdstip gold in die gebieden een grenswaarde van $1 \mu\text{g}/\text{m}^3$.
- (4) MLTD: middellangetermijndoelstelling (2010). LTD: langetermijndoelstelling. De MLTD wordt berekend gemiddeld over drie (bescherming van de mens) of vijf jaar (bescherming van vegetatie). Indien de drie- of vijf-jaargemiddelden niet op basis van een volledige en ononderbroken reeks jaargegevens kunnen worden vastgesteld, is het vereiste minimumaantal jaargegevens voor de controle op de inachtneming van de streefwaarden als volgt: — voor de streefwaarde voor de bescherming van de menselijke gezondheid: geldige gegevens over één jaar; — voor de streefwaarde voor bescherming van de vegetatie: geldige gegevens over drie jaar.

Tabel 4: Overzicht van de gemiddelde uurlijkse informatie- en alarmdrempels volgens de EU-richtlijn 2008/50/EG.

Polluent	Informatiedrempel	Alarmdrempel
(*) SO ₂		500 $\mu\text{g}/\text{m}^3$
(*) NO ₂		400 $\mu\text{g}/\text{m}^3$
(**) O ₃	180 $\mu\text{g}/\text{m}^3$	240 $\mu\text{g}/\text{m}^3$

(*) *Meting gedurende drie opeenvolgende uren op plaatsen die representatief zijn voor de luchtkwaliteit boven minimaal 100 km² of boven een volledige zone of agglomeratie indien die een kleinere oppervlakte beslaat.*

(**) *Voor de toepassing van kortetermijnmaatregelen moet gedurende drie opeenvolgende uren een overschrijding van de drempelwaarde worden gemeten of voorspeld.*

De luchtkwaliteitsadvieswaarden van de Wereldgezondheidsorganisatie WGO (World Health Organisation – WHO) zijn strenger dan de grens- en streefwaarden opgelegd door de Europese Unie, zie Tabel 5. De grens- en streefwaarden van de EU zijn opgesteld met als uitgangspunt hoe in de hele EU op de meest kostenefficiënte manier de best mogelijke luchtkwaliteit kan worden verwezenlijkt die maximale bescherming biedt aan de bevolking. Europa houdt dus niet alleen rekening met gezondheidsredenen maar ook met de economische haalbaarheid om tot die doelstellingen te komen. De advieswaarden die de WGO voorstelt, zijn een aanvaardbare en haalbare doelstelling om gezondheidseffecten te minimaliseren binnen de lokale mogelijkheden en beperkingen, en de publieke gezondheidsprioriteiten. Voor bijvoorbeeld fijn stof stelt de WGO dat er geen ondergrens is waaronder geen schadelijke effecten voor de gezondheid voorkomen.

Tabel 5: Overzicht van de advieswaarden voor luchtkwaliteit van de Wereldgezondheidsorganisatie.

Polluent	Middelingstijd	Maximum toegestaan aantal overschrijdingen	Waarde
PM ₁₀	1 dag	3	50 µg/m ³
	jaar		20 µg/m ³
PM _{2,5}	1 dag	3	25 µg/m ³
	jaar		10 µg/m ³
NO ₂	1 uur	0	200 µg/m ³
	jaar		40 µg/m ³
O ₃	8 uur	0	100 µg/m ³
SO ₂	10 minuten		500 µg/m ³
	1 dag	0	20 µg/m ³

Bron: WGO, 2006

1.3 Beleidspakket van de Europese Commissie voor schonere lucht in Europa

Op 18 december 2013 publiceerde de Europese Commissie haar beleidspakket voor schonere lucht in Europa. Dit pakket was het resultaat van een uitgebreid overleg met verschillende belangengroepen, experts en internationale organisaties. Het Europese "clean air package" omvat enerzijds een herziening van de 'Thematic Strategy on Air Pollution and Clean Air for Europe (CAFE)' uit 2005, waarin de Commissie aangeeft welk doel inzake luchtkwaliteit ze wil nastreven, en anderzijds werden voorstellen gedaan voor de herziening van de richtlijn rond emissiereducties (NEC-richtlijn) en een nieuwe richtlijn om de emissies van middelgrote stookinstallaties te beperken (MCP-richtlijn). De nieuwe NEC richtlijn 2016/2284/EG¹ werd gepubliceerd in 2016, de MCP richtlijn 2015/2193/EG² in 2015.

Het huidige beleid op Europees en nationaal niveau heeft tot nu toe niet volledig de verwachte resultaten opgeleverd. Daarvoor zijn verschillende redenen. In het verkeer is bijvoorbeeld het transportvolume toegenomen waardoor de emissiereducties door een schoner wagenpark deels worden teniet gedaan, is er een kloof tussen vastgelegde emissienormen per voertuigtype en reële emissies en verloopt de geplande vernieuwing van het wagenpark trager dan verwacht (EU, 2011). In heel Europa zijn er nog verschillende luchtkwaliteitszones waarin één of meerdere van de huidige Europese luchtkwaliteitsnormen overschreden worden. Omdat de nadelige impact van luchtverontreiniging voor gezondheid en milieu onmiskenbaar is (WHO(2013)) en zelfs na de implementatie van het huidige

¹https://eur-lex.europa.eu/legal-content/EN/TXT/?uri=uriserv:OJ.L_.2016.344.01.0001.01.ENG&toc=OJ:L:2016:344:TOC

² <https://eur-lex.europa.eu/legal-content/EN/TXT/?uri=CELEX:32015L2193>

beleid er nog steeds negatieve gevolgen zullen zijn, heeft de Commissie doelstellingen gemaakt op drie termijnen.

Op de korte termijn is het streefdoel om tegen 2020 alle huidige Europese normen na te leven in heel Europa. Hiervoor biedt de Commissie financiële ondersteuning voor het uitwerken en implementeren van luchtkwaliteitsplannen. Zo werd er een nieuwe test voor voertuigen ingevoerd waardoor het verschil tussen de vastgelegde emissienormen (EURO standaarden, <https://ecoscore.be/nl/legislation/european>) en de reële emissies (“Real Driving Emissions” of RDE) zou moeten verkleinen. Dieselwagens stoten in realistische rijomstandigheden immers meer NO_x uit dan in gestandaardiseerde omstandigheden waarbij elk voertuig een bepaalde rijcyclus op een testbank aflegt.

Meer recent, volgend op het “dieselgate”-schandaal, heeft de Commissie zowel tijdelijke, nl. tot 2020-2021, als vervolgens definitieve conformiteitsfactoren vastgelegd, van respectievelijk 2,1 en 1,5 voor de metingen van de NO_x-uitstoot onder reële rijomstandigheden (richtlijn 2016/646/EG). Dit betekent dat bij het testen van dieselwagens in reële rijomstandigheden, de EURO-6 emissiegrens van 80 mg/km NO_x wordt verhoogd naar respectievelijk 168 en 120 mg/km. .

Op de middellange termijn is het doel om het aantal vroegtijdige overlijdens door fijn stof (PM_{2,5}) en ozon en de oppervlakte aan ecosystemen met overschrijding van de kritische lasten voor eutrofiëring te verminderen met respectievelijk 52 % en 35 % in 2030 ten opzichte van 2005. Hiervoor moeten in eerste instantie de achtergrondconcentraties dalen door in te zetten op een daling van de emissies via de nieuwe nationale emissieplafonds richtlijn (NEC, 2016/2284/EU) en de emissierichtlijn voor middelgrote stookinstallaties (MCP - 2015/2193/EU). In de nieuwe NEC-richtlijn worden relatieve reductiedoelstellingen ten opzichte van 2005 opgenomen voor NO_x, SO_x, NMVOC, NH₃ en PM_{2,5}. Voor 2020 zijn de doelstellingen overgenomen uit het Göteborgprotocol dat werd herzien in 2012 (in het kader van het internationale LRTAP-verdrag). Tegen 2030 gelden er strengere emissiereductiedoelstellingen (http://europa.eu/rapid/press-release_IP-16-4358_en.htm).

Op de lange termijn (tegen 2050) is het de bedoeling om de Europese normen bij te stellen in functie van de WGO advieswaarden. Momenteel zijn de Europese normen immers minder streng dan de gezondheidsadvieswaarden van de WGO en bieden ze dus onvoldoende bescherming tegen de negatieve impact van luchtvervuiling op de gezondheid. Vergeleken met een scenario zónder nieuwe wetgeving, zal het pakket voor schone lucht tegen 2030 naar verwachting 58 000 voortijdige sterfgevallen in de EU voorkomen en zal de oppervlakte beschermde ecosystemen gevoelig toenemen.

Meer info over het pakket voor schonere lucht in Europa: http://ec.europa.eu/environment/air/clean_air/index.htm

2 Periodes met verhoogde luchtverontreiniging (smogepisodes) in 2019

De concentraties van luchtverontreinigende stoffen in de omgevingslucht variëren van dag tot dag (zelfs van uur tot uur). Dat heeft verschillende oorzaken. In de eerste plaats zijn de concentraties afhankelijk van de vervuiling die uitgestoten wordt door menselijke en natuurlijke bronnen. Belangrijke menselijke bronnen van vervuiling zijn onder meer verkeer, huishoudens, industrie en landbouw. Die emissies worden lokaal uitgestoten, maar kunnen ook een lange afstand in de atmosfeer afleggen. Zo komt het dat de concentraties op sommige dagen kunnen toenemen door de aanvoer van vervuiling uit het buitenland. Polluenten kunnen gevormd of verwijderd worden door verschillende fysicochemische reacties in de atmosfeer en kunnen door depositie uit de lucht worden verwijderd. Een zeer belangrijke factor die de concentratieniveaus in de lucht beïnvloedt, is het weer. Parameters zoals druk, temperatuur, windrichting en -snelheid, turbulentie, ... hebben allemaal invloed op de processen die zich in de atmosfeer voordoen of op de mate waarin luchtvervuiling kan worden verdund.

Wanneer de concentraties van luchtvervuilende stoffen in de lucht te hoog oplopen, ontstaat er smog. De belangrijkste stoffen die smog kunnen veroorzaken, zijn fijn stof, ozon, stikstofdioxide en zwaveldioxide.

Verhoogde luchtvervuiling door fijn stof en stikstofdioxide tijdens de winter (wintersmog) komt meestal voor bij stabiele weersomstandigheden met weinig wind en bij de aanwezigheid van een temperatuursinversie. De ‘dispersie-’ of verspreidingsomstandigheden van de luchtvervuiling in de atmosfeer zijn dan slecht. Een temperatuursinversie op lage hoogte zorgt ervoor dat de luchtvervuiling (veroorzaakt door emissies en/of import) als het ware aan de grond blijft hangen, ‘gevangen’ onder de warmere luchtlaag erboven. Wanneer een dergelijke situatie meerdere dagen aanhoudt, kan de luchtvervuiling zich opstapelen en stijgen de concentraties van luchtverontreinigende stoffen geleidelijk.

Ozonsmogepisodes (zomersmog) komen vooral voor op warme en zonnige zomerdagen (> 25 °C) met weinig wind. Zulke meteorologische condities zijn gunstig voor de *fotochemische* vorming van ozon.

Smogperiodes kunnen ook het gevolg zijn van de aanvoer van luchtvervuiling uit nabijgelegen regio's. Dat gaat meestal gepaard met landelijke luchtstromingen waarbij de luchtvervuiling zich ophoopt tijdens het transport over lange afstand.

Verhoogde fijnstofconcentraties kunnen ook het gevolg zijn van een plotse toename van secundair fijn stof. In tegenstelling tot het rechtstreeks uitgestoten of primaire fijn stof, wordt secundair fijn stof gevormd door chemische reacties in de atmosfeer. Uit chemische analyses van fijn stof blijkt dat ‘secundair anorganische ionen’ (bijvoorbeeld ammonium, nitraat, sulfaat) 35-45 % bijdragen tot de totale massa fijn stof (VMM, 2010). Een sleutelcomponent in de vorming van secundair fijn stof is ammoniak. Hoge secundaire fijnstofconcentraties komen dan ook vaak voor in het voorjaar (lentesmog), wanneer de landbouwers de stallen schoonmaken en mest uitrijden met hoge ammoniakuitstoot tot gevolg.

Een smogepisode is (meestal) niet uitsluitend toe te schrijven aan één oorzaak. Hoge concentraties in de lucht zijn altijd het gevolg van een combinatie van bovenstaande factoren (uitstoot, meteorologische omstandigheden, import, secundaire (foto)chemische reacties) waarbij de ene factor meer of minder doorweegt dan de andere, afhankelijk van de situatie.

Het overzicht van de daggemiddelde fijnstofconcentraties en de dagelijkse maximale concentraties van ozon en stikstofdioxide in 2019 is te vinden in Bijlage B.

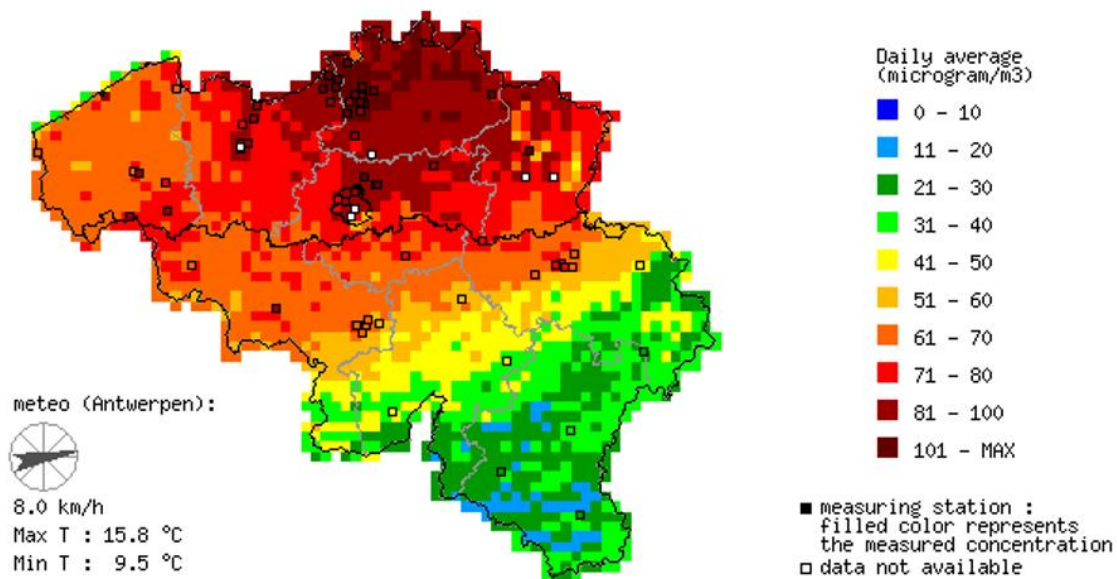
2.1 Winter- en lentesmog

In België is er sinds 01/11/2016 het smogalarm dat geactiveerd wordt wanneer de voorspelde daggemiddelde PM₁₀-concentraties gedurende twee opeenvolgende dagen de drempel van 70 µg/m³ overschrijden. Sinds 2016 is er ook een informatiedrempel van 50 µg/m³. Een informatiebericht wordt verspreid wanneer het gemeten glijdend 24-uursgemiddelde van PM₁₀, als gemiddelde in een gewest, hoger is dan 50 µg/m³ en wordt verwacht dat dit minstens 24 uur zo zal blijven. In 2019 werd ook voor PM_{2,5} een informatie- en alarmprempel geïntroduceerd, deze bedragen respectievelijk 50 en 35 µg/m³.

In 2019 werd de informatiedrempel tweemaal geactiveerd, beide episodes waren van korte duur.

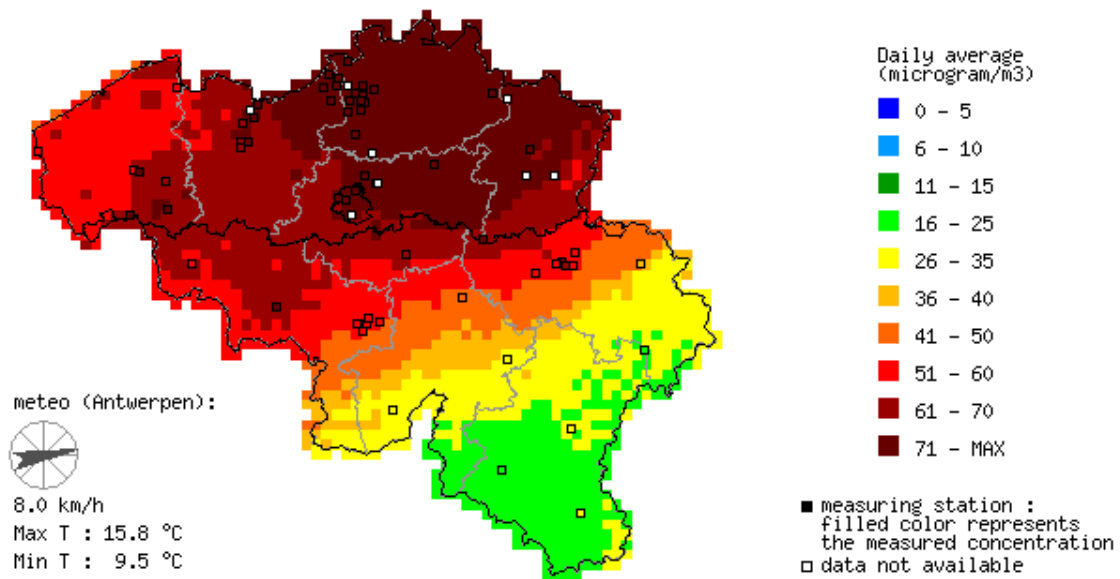
In de eerste episode, van 28/02 tot 01/03, werd de drempel in alle drie de regio's overschreden. De gemiddelde concentraties bereikten in de ochtend van 28/02 63 µg/m³ in Vlaanderen, 51 µg/m³ in Brussel en 60 µg/m³ in Wallonië. Deze episode was hoofdzakelijk te wijten aan slechte dispersieomstandigheden. De tweede overschrijding van de informatiedrempel vond plaats op 08/04 en betrof opnieuw de drie regio's. De geregistreerde maximale dagconcentraties waren aanzienlijk hoger, vooral in het noorden van België, met een aanzienlijke bijdrage van de PM_{2,5}-fractie, bijna 90 % van de totale massa fijn stof. De concentraties begonnen reeds op zondag 7 april overdag toe te nemen, soms zeer sterk. De dagelijkse PM₁₀-gemiddelden bereikten 86 µg/m³ in Brussel, 99 µg/m³ in Vlaanderen en 58 µg/m³ in Wallonië op 08/04/2019 (figuur 4) met een PM_{2,5}-aandeel van 85-90 % (figuur 5). Deze hoge concentraties zijn te wijten aan de vorming van secundaire anorganische aërosolen (SIA). Deze aërosolen worden gevormd door reactie tussen NO_x (voornamelijk uitgestoten door het verkeer) en NH₃ (landbouw) bij gunstige weersomstandigheden in het voorjaar.

Daily average Particulate Matter (PM10) concentrations on: Monday 08/04/2019



Figuur 4: Daggemiddelde fijnstofconcentratie (PM₁₀) op 8 april 2019

Daily average Particulate Matter (PM_{2.5}) concentrations on: Monday 08/04/2019



Figuur 5: Daggemiddelde fijnstofconcentratie (PM_{2.5}) op 8 april 2019

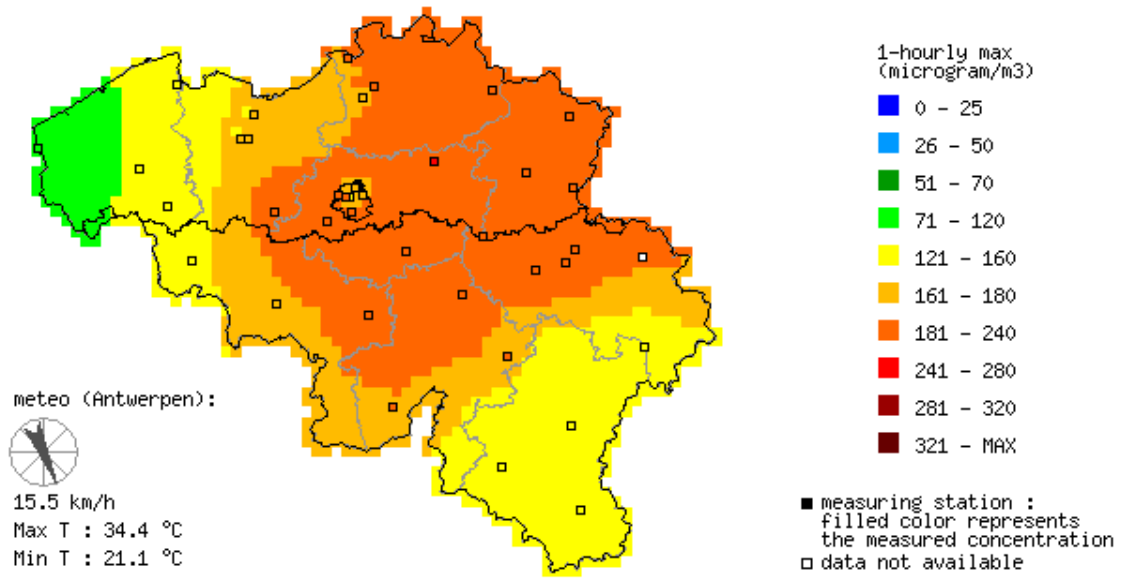
In tegenstelling tot de *informatiedrempel* werd in 2019 de *smogalarmdrempel* van 70 µg/m³ (zie hoger) niet overschreden.

2.2 Zomersmog

In 2019 waren er 9 ozondagen, i.e. dagen waarop in ten minste één meetpunt in België de Europese informatiedrempel voor ozon van 180 µg/m³ wordt overschreden. De alarmdrempel van 240 µg/m³ werd in 2019 één keer overschreden, op 26 juli met een uurgemiddeldeconcentratie van 242 µg/m³. De overschrijdingsdagen werden waargenomen in juni, juli en augustus. In juni werden overschrijdingen waargenomen op de 26e en 29e. In juli was er een ozonepisode met vier opeenvolgende overschrijdingsdagen van de 23e tot en met de 26e en in augustus drie opeenvolgende dagen van de 25e tot en met de 27e. In 2018 werden nog 10 ozondagen waargenomen, maar geen overschrijding van de alarmdrempel. In de (zeer) warme zomers van 2003 en 2006 werden respectievelijk 16 en 22 dagen met overschrijding van de informatiedrempel geregistreerd. In 2003 werd de huidige alarmdrempel van 240 µg/m³ op ten minste één meetpunt gedurende 7 dagen overschreden.

De hoogste concentraties werden waargenomen van 24-26 juli, waarbij tussen de 49 % en 58 % van de bevolking werd blootgesteld aan uurgemiddelden die de EU-informatiedrempel overschreden (figuur 6).

Daily highest 1-hourly Ozone concentrations on: Friday 26/07/2019



Figuur 6: Hoogste ozonconcentraties op 26 juli 2019

3 Fijn stof

Zwevend ofwel fijn stof omvat alle vaste en vloeibare deeltjes die in de atmosfeer rondzweven. Ze kunnen er van enkele uren tot maanden verblijven, in functie van hun eigenschappen (onder meer deeltjesgrootte) en van de meteorologische omstandigheden. Een gas met daarin rondzwevende deeltjes is een aerosol. Het gedrag van deeltjes in een aerosol wordt bepaald door de eigenschappen van de deeltjes (afmetingen, vorm, dichtheid) en die van het gas (snelheid, turbulentie, samenstelling). Om het gedrag van deeltjes te kunnen beschrijven, is het begrip aerodynamische diameter ingevoerd. Die wordt bepaald door de afmetingen van de deeltjes, maar daarnaast ook door hun vorm en dichtheid. De aerodynamische diameter wordt gedefinieerd als de diameter van een sferisch deeltje dat in de omgevingslucht hetzelfde gedrag vertoont als het beschouwde deeltje. Hierbij wordt verondersteld dat het sferisch deeltje dezelfde dichtheid heeft als water. PM_{10} is de deeltjesfractie met een aerodynamische diameter kleiner dan 10 micrometer (μm), $PM_{2,5}$ die met een diameter kleiner dan 2,5 μm .

De deeltjes kunnen in de atmosfeer terechtkomen door een natuurlijke oorzaak (natuurlijk aerosol) of door menselijke activiteiten (antropogeen aerosol). In beide gevallen kunnen ze ingedeeld worden volgens hun vormingswijze in primaire en secundaire deeltjes. Primaire deeltjes worden rechtstreeks uitgestoten in de atmosfeer of worden gevormd door mechanische verkleining van grover materiaal (bijvoorbeeld zware metalen bij metaalverwerking). De belangrijkste door mensen veroorzaakte uitstoot komt van transport, industrie, landbouw en gebouwenverwarming. Belangrijke natuurlijke bronnen van primair fijn stof zijn zeezoutaerosol en opwaaiend bodemstof. Secundaire deeltjes ontstaan in de atmosfeer door oxidatie en transformatie uit gasvormige componenten zoals NH_3 , SO_2 , NO_x of uit organische verbindingen zoals vluchtige organische stoffen (VOS).

De samenstelling van secundaire deeltjes is zeer complex. Ze worden gevormd uit de gasfase en bij condensatie, waarbij de stoffen met de laagste dampspanning vlugger condenseren dan die met een hogere dampspanning. De fijne deeltjes kunnen daardoor een complexe, gelaagde samenstelling hebben. Dat wordt versterkt doordat het beschikbare oppervlak van alle stof in de atmosfeer hoofdzakelijk geleverd wordt door de kleine deeltjes. Stoffen die gasvormig geëmitteerd worden (ook dioxines), zullen daarom bijna uitsluitend op de kleine deeltjes worden afgezet. Zware metalen uit smelterijen en verkeer, poly-aromatische koolwaterstoffen (PAK), dioxine en roet bevinden zich daarom in de fijne fractie.

Epidemiologische studies tonen aan dat de belangrijkste gezondheidseffecten door luchtvervuiling te wijten zijn aan fijn stof, stikstofdioxide en in mindere mate aan ozon. Inademing van fijn stof veroorzaakt irritatie of schade aan het longweefsel. Fijn stof kan zowel korte- als langetermijneffecten hebben. Volgens de Wereldgezondheidsorganisatie (WGO) is er geen veilige drempelwaarde waaronder geen nadelige effecten voorkomen. Bij een korte blootstelling aan fijn stof worden bestaande gezondheidsproblemen zoals luchtweginfecties en astma ernstiger, maar de gezondheidseffecten van langetermijn- of chronische blootstelling zijn aanzienlijk groter. Chronische blootstelling verhoogt het risico van cardiovasculaire aandoeningen en longziekten, inclusief longkanker. Geschat wordt dat de gemiddelde levensduur van de Belgische bevolking met circa negen tot tien maanden verkort wordt door de blootstelling aan de huidige $PM_{2,5}$ -concentraties (Amann et al, 2005). In Vlaanderen neemt fijn stof ongeveer driekwart van de verloren gezonde levensjaren als gevolg van milieufactoren voor zijn rekening (MIRA, 2012). De sterkste link met gezondheidseffecten wordt gevonden voor de $PM_{2,5}$ -fractie, maar er werden ook effecten aangetoond voor de fijnere UFP-fractie (UltraFine Particles; fijn stof kleiner dan 0.1 μm) en de grovere 2.5-10 μm -fractie (Brunekreef et al, 2005). Fijn stof bevat Black Carbon (BC of ook dieselroet) en ander verbrandingsgerelateerd materiaal, wat op zich niet de meest toxische component is van de kleinere PM-deeltjes maar een drager is van allerhande chemische toxische substanties. In 2012 werd door het "Agency for Research on Cancer" (IARC), een afdeling van

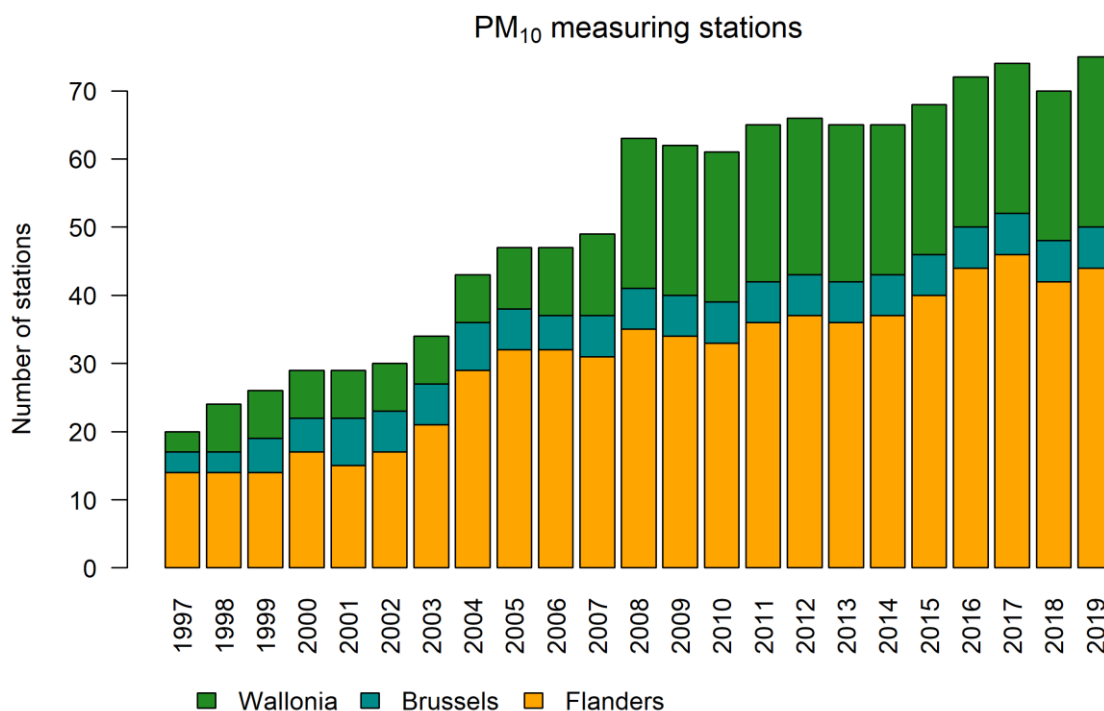
de WGO, dieselroet tot groep 1 van de voor de mens kankerverwekkende stoffen geïdentificeerd (WHO, 2012). Groep 1 zijn stoffen die “zeker” kankerverwekkend zijn voor mensen. In 2013 werd luchtvervuiling eveneens als kankerverwekkend voor de mens (groep 1) geïdentificeerd (WHO, 2013).

Daarnaast heeft fijn stof ook negatieve effecten op ecosystemen, draagt het bij tot de degradatie van behandelde oppervlakken die daardoor sneller moeten worden gereinigd (het zogenaamde ‘soiling’ effect) en heeft het afhankelijk van de samenstelling een corrosief effect op materiaal en cultureel erfgoed. Fijn stof heeft zowel een afkoelend (sulfaataerosolen) als opwarmend (Black Carbon) effect, en speelt dus ook een belangrijke rol in de klimaatveranderingsproblematiek.

3.1 PM₁₀

3.1.1 PM₁₀-meetstations

Figuur 7 toont de evolutie van het aantal meetstations waar PM₁₀ gemeten wordt. De stations omvatten zowel de telemetrische stations als de stations die gebruikt worden in specifieke studies. Het aantal PM₁₀-meetstations in België is gestegen van 20 in 1997 tot 75 in 2019. Doordat het aantal meetstations in de eerdere jaren aanzienlijk lager ligt dan in de laatste jaren is de onzekerheid op de geïnterpoleerde jaargemiddelden groter in die beginjaren.



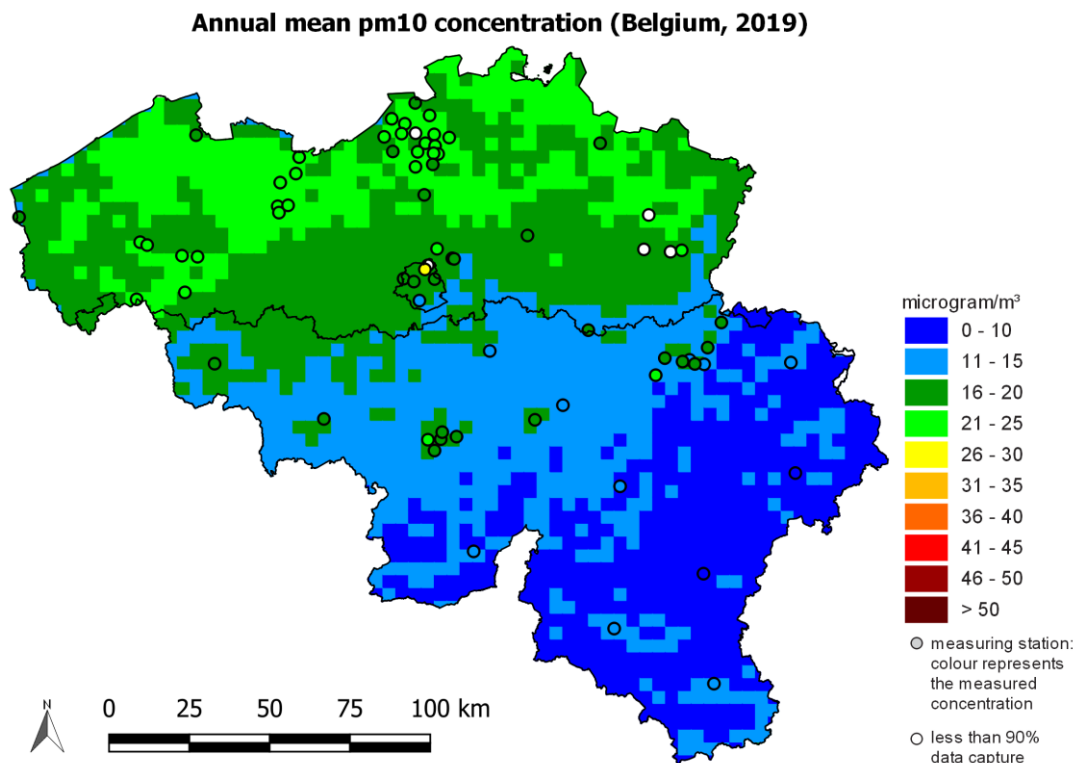
Figuur 7: Evolutie van het aantal PM₁₀-meetstations in België.

3.1.2 PM₁₀-jaargemiddelde concentratie

De Europese grenswaarde bedraagt 40 µg/m³ als jaargemiddelde concentratie. In 2019 bedroeg de geïnterpoleerde jaargemiddelde PM₁₀-concentratie over alle RIO-gridcellen in België 15,1 µg/m³. De grenswaarde van 40 µg/m³ werd op geen enkele plaats overschreden (Figuur 8). In het noorden van Vlaanderen situeren de de concentraties zich rond 21-25 µg/m³, in het zuidelijk deel van Vlaanderen,

Brussel en het noordwesten van Wallonië situeren de concentraties zich rond 16-20 $\mu\text{g}/\text{m}^3$. De laagste jaargemiddelde PM_{10} -concentraties, onder 10 $\mu\text{g}/\text{m}^3$, zijn te vinden ten zuiden van Samber en Maas.

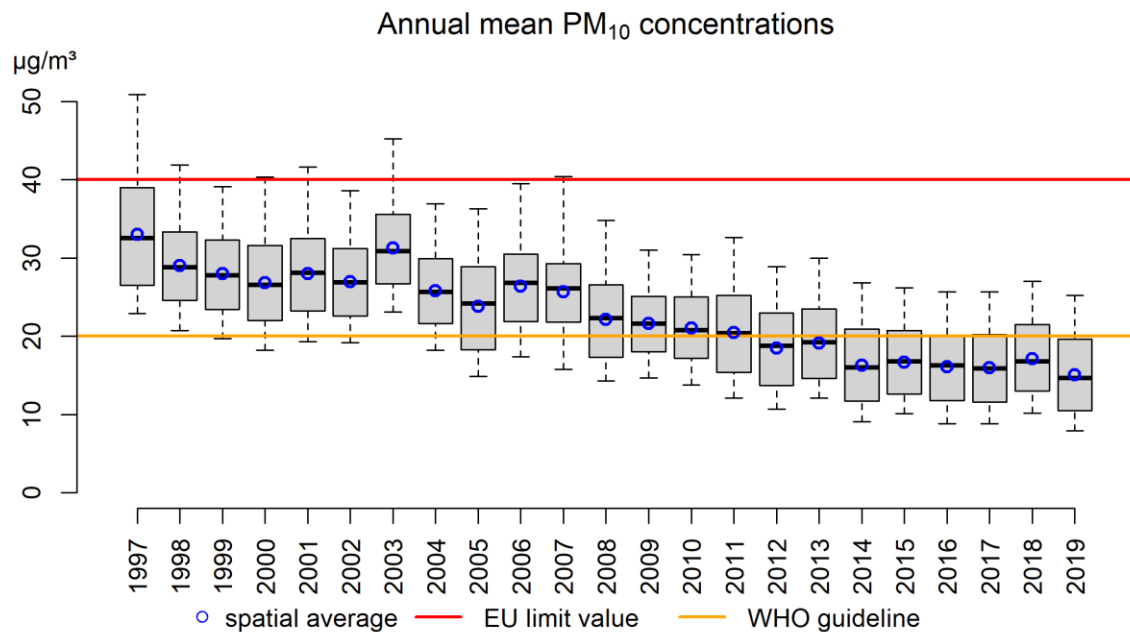
De onzekerheid van de jaargemiddelde concentratiekaart is te vinden in Bijlage D.



Figuur 8: Ruimtelijke spreiding van de jaargemiddelde PM_{10} -concentratie in België in 2019. Alle data werden berekend op basis van de RIO-interpolatietechniek

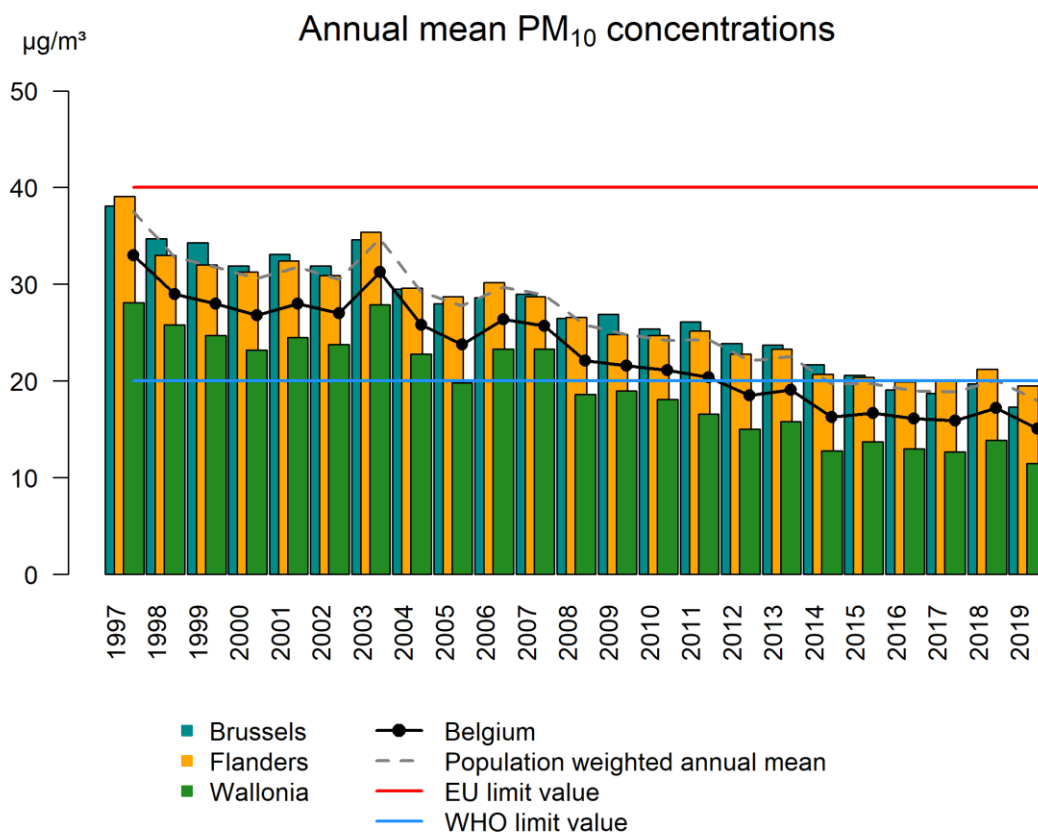
Figuur 9 geeft met boxplots de evolutie weer van het minimum, het 25^e percentiel (P_{25})³, het 50^e percentiel (P_{50}), het 75^e percentiel (P_{75}) en de maximale jaargemiddelde PM_{10} -concentratie in België (zie ook Bijlage C voor meer uitleg rond interpretatie van boxplots). Ook het ruimtelijk gemiddelde over België is weergegeven. Voor al die parameters is de evolutie gelijklopend. De spreiding neemt over de hele periode langzaam af. Vanaf 2003 wordt een dalende trend waargenomen van de jaargemiddelde PM_{10} -concentraties. Sindsdien wordt overal aan de Europese grenswaarde voldaan. Het ruimtelijk gemiddelde ligt sinds 2012 ook onder de WGO-advieswaarde van 20 $\mu\text{g}/\text{m}^3$, maar in 2019 wordt nog steeds 28 % van de bevolking in België blootgesteld aan waarden boven deze drempel.

³ P_{25} of het 25^e percentiel is de waarde waarbij 25 % van alle waarden lager is, 75 % van de waarden is hoger.



Figuur 9: Boxplot van de jaargemiddelde PM₁₀-concentraties (µg/m³) over de periode 1997-2019 in België. Het ruimtelijke gemiddelde wordt door de blauwe cirkels weergegeven. Alle data werden berekend op basis van de RIO-interpolatietechniek.

De jaargemiddelde PM₁₀-concentraties in 2019 voor Brussel, Vlaanderen en Wallonië bedragen respectievelijk 17.3, 19.5 en 11.5 µg/m³ (Figuur 10). De bevolking gewogen concentratie, waarin bij de berekening van het ruimtelijke gemiddelde meer ‘gewicht’ gegeven wordt aan gridcellen met een hogere bevolkingsdichtheid, ligt altijd hoger dan de (niet-gewogen) Belgische jaargemiddelde PM₁₀-concentratie en bedraagt in 2019 18.0 µg/m³. De bevolkingsgewogen jaargemiddelde PM₁₀-concentraties bedraagt in Vlaanderen 20.0 µg/m³ in Brussel 18.3 µg/m³ en in Wallonië 14.0 µg/m³.

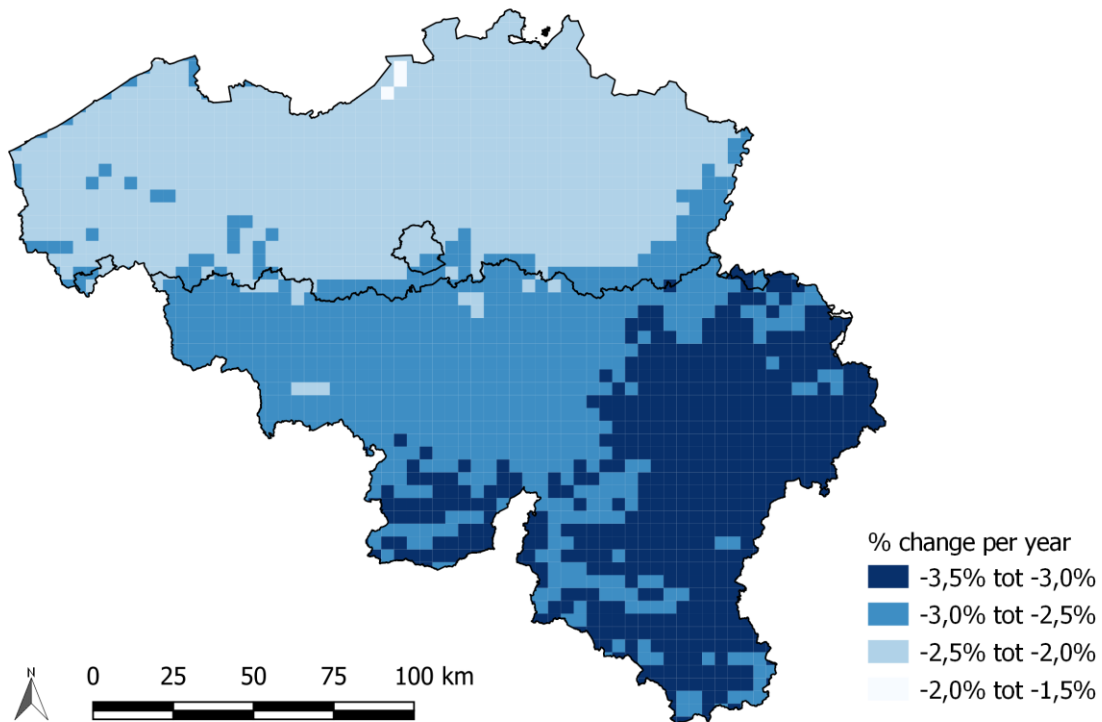


Figuur 10: Evolutie van de ruimtelijk gespreide jaargemiddelde PM₁₀-concentratie in België en de drie gewesten, en het bevolkingsgewogen gemiddelde voor België. Alle data werden berekend op basis van de RIO-interpolatietechniek.

De ruimtelijke trend tussen 2000 en 2019 toont aan dat overall in België de PM₁₀-jaargemiddelde concentraties gedaald zijn in die periode (zie Figuur 11). In Wallonië (tussen -3.5 en -2.5 %/jaar) is de gemiddelde daling tussen 2000 en 2019 iets groter dan in Brussel en Vlaanderen (tussen -2.5 en -2.0 %/jaar). Voor wat betreft 2019 is er een lichte daling van de ruimtelijk gespreide jaargemiddelde PM₁₀-concentratie in de drie gewesten. De ruimtelijk gespreide jaargemiddelde PM₁₀-concentratie blijft in 2019 voor elk van de gewesten onder de jaargemiddelde advieswaarden van 20 µg/m³ voor PM₁₀. Voor wat betreft de daling in Wallonië moet de kanttekening worden gemaakt (zoals ook vermeld in Nota 2) dat er vóór 2008 slechts een beperkt aantal PM₁₀-meetstations operationeel waren, die bovendien voornamelijk in industrieel gebied stonden. Dat kan voor een overschatting van de PM₁₀-concentraties over het Waals Gewest in het begin van de periode zorgen, waardoor de daling vermoedelijk groter lijkt dan ze in werkelijkheid is.

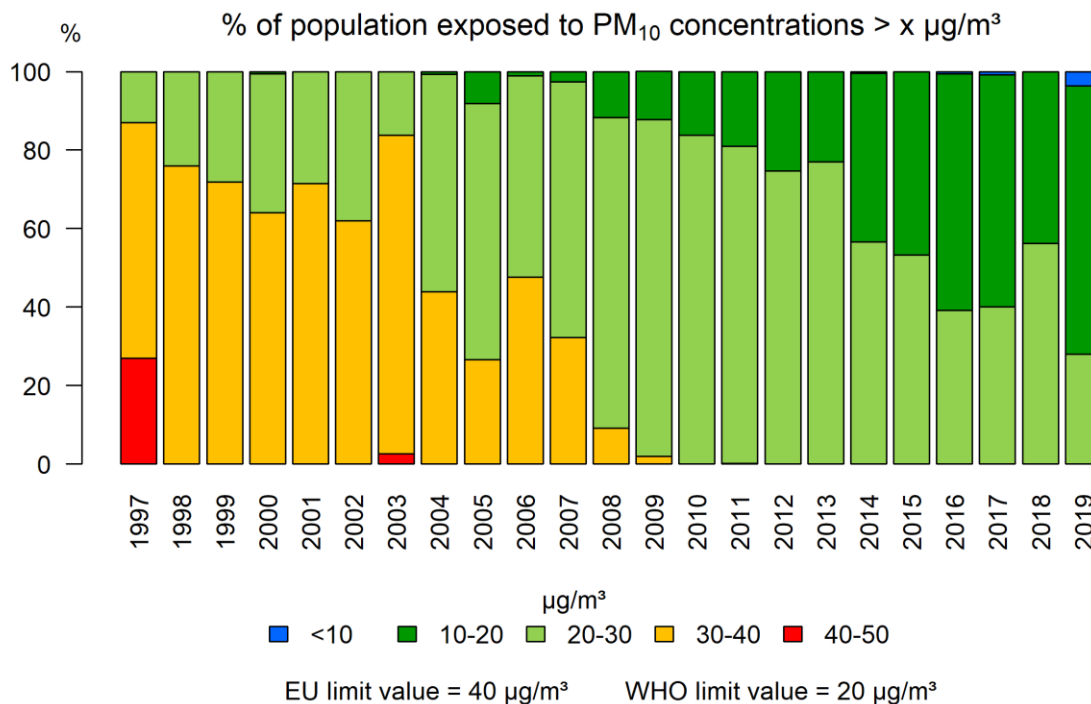
Verder moet worden vermeld dat er voor het meten van fijn stof een Europese referentiemethode bestaat. Indien er andere meettechnieken dan die Europese referentiemethode voor fijn stof gebruikt worden, dan moet er een equivalentie met die Europese referentiemethode worden aangetoond. Indien nodig moet er een kalibratie worden uitgevoerd ($PM_{cal} = A \times PM_{gemeten} + B$). Die kalibratie is afhankelijk van de gebruikte meetmethode en kan evolueren in de tijd. Alle gebruikte meetresultaten voor de RIO-interpolatietechniek zijn gekalibreerde meetresultaten waarvoor dus equivalentie met de Europese referentiemethode aangetoond is.

Trend PM10 annual mean concentration (Belgium, 2000-2019)



Figuur 11: Ruimtelijke trend in jaargemiddelde PM₁₀-concentraties (%jaar). Alle data werden berekend op basis van de RIO-interpolatietechniek.

In 2019 werd niemand van de Belgische bevolking blootgesteld aan jaargemiddelde concentraties boven de Europese grenswaarde van 40 $\mu\text{g}/\text{m}^3$ (Figuur 12). De dalende trend van de bevolkingsblootstelling die de laatste jaren geobserveerd werd, wordt voor 2019, na een kleine stijging voor 2018, weer verdergezet. In 2019 werd 28 % van de bevolking blootgesteld aan PM₁₀-concentraties die hoger zijn dan de WGO-advieswaarde (>20 $\mu\text{g}/\text{m}^3$), terwijl dat in 2017 nog 40 % , in 2011 nog 81 % en in 2006 nog 99 % was.

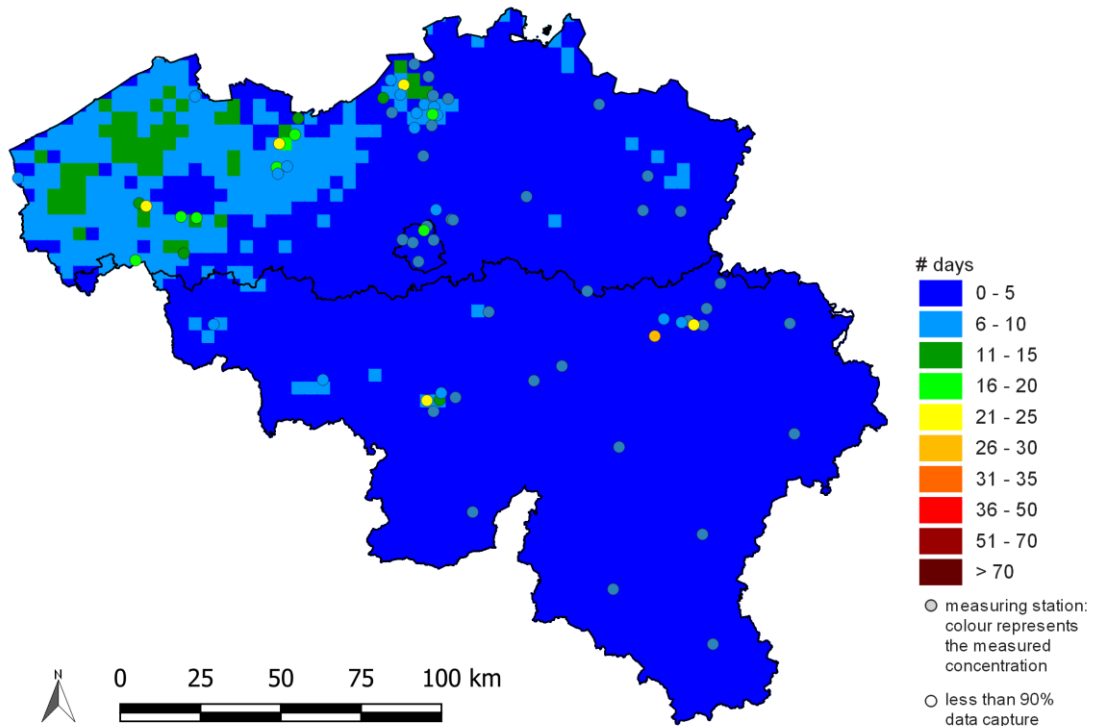


Figuur 12: Evolutie van de blootstelling van de bevolking aan jaargemiddelde PM₁₀-concentraties op basis van de RIO-interpolatietechniek.

3.1.3 PM₁₀-daggemiddelde concentratie

De EU-grenswaarde voor de bescherming van de bevolking tegen de kortdurende blootstelling aan PM₁₀ is een daggemiddelde PM₁₀-concentratie van 50 µg/m³ die niet meer dan 35 keer per jaar mag worden overschreden. In 2019 werd die drempel nergens overschreden (Figuur 13). De WGO-luchtkwaliteitsadvieswaarde voor kortdurende blootstelling, nl. hoogstens 3 dagen waarop de daggemiddelde PM₁₀-concentratie hoger is dan 50 µg/m³, werd gehaald in Wallonië met uitzondering van gebieden rond Charleroi en Mons. Globaal genomen was 2016 het beste jaar sinds het begin van de metingen in 1997 wat betreft het aantal overschrijdingen van de PM₁₀ daggrenswaarde.

Number of days with daily mean PM₁₀ > 50 µg/m³ (Belgium, 2019)

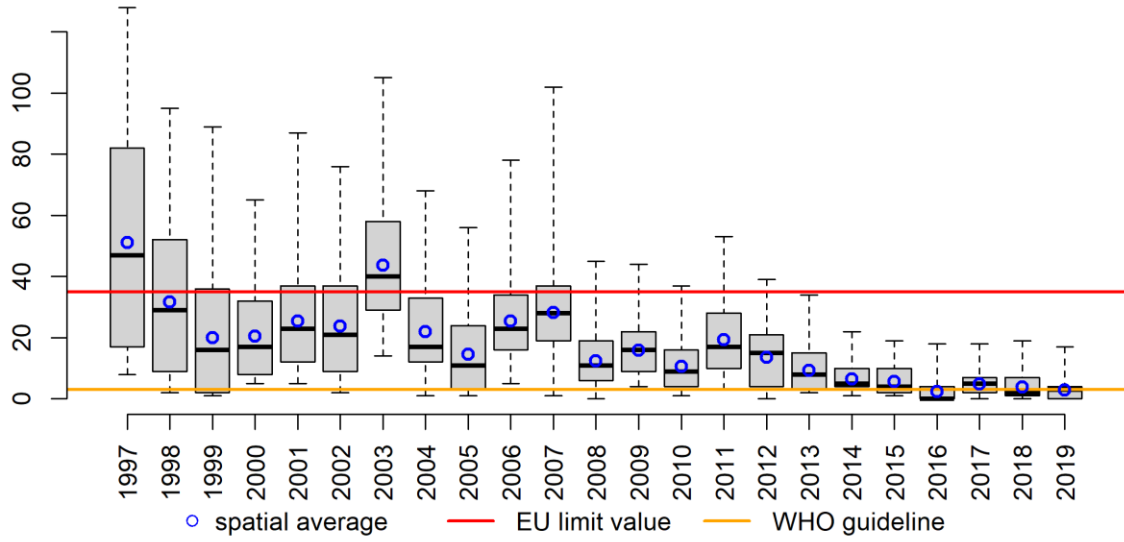


Figuur 13: Ruimtelijke spreiding van het aantal dagen in 2019 waarop de daggemiddelde PM₁₀-concentratie van 50 µg/m³ overschreden werd in België. Alle data werden berekend op basis van de RIO-interpolatietechniek.

Het maximale aantal overschrijdingsdagen (dagen waarop in België de daggemiddelde PM₁₀-concentratie hoger is dan 50 µg/m³ binnen één RIO-rooster cel van 4x4 km²) was 17 dagen. Dat is het laagste maximum sinds het begin van de metingen in 1997. Fluctuaties tussen verschillende jaren kunnen te wijten zijn aan o.a. meteorologische omstandigheden. Toch is er een dalende trend waarneembaar in het aantal overschrijdingsdagen in België sinds 1997 tot 2016 die aangeeft dat ook de vastgestelde daling van de uitstoot van primair fijn stof en fijnstofprecursoren een gunstig effect heeft op het aantal overschrijdingsdagen. Van 2016 tot 2019 is er een stagnatie van het aantal overschrijdingsdagen.

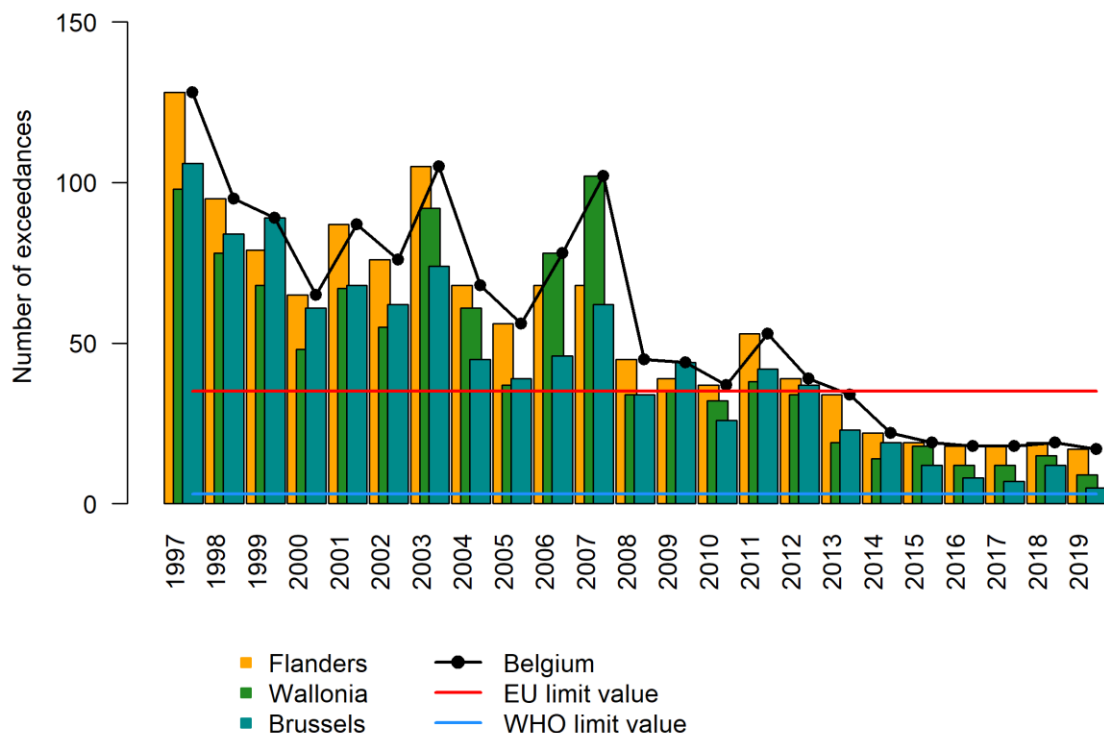
De dalende trend in het aantal overschrijdingsdagen sinds 1997 wordt vastgesteld voor de drie gewesten (Figuur 15). Het maximale aantal dagen waarop in het Vlaams, Waals en Brussels Hoofdstedelijk Gewest de daggemiddelde grenswaarde overschreden werd, bedroeg in 2019 respectievelijk 17, 9 en 5, wat de laagste maxima zijn sinds het begin van de metingen in 1997.

Number of days with daily mean $PM_{10} > 50 \mu g/m^3$



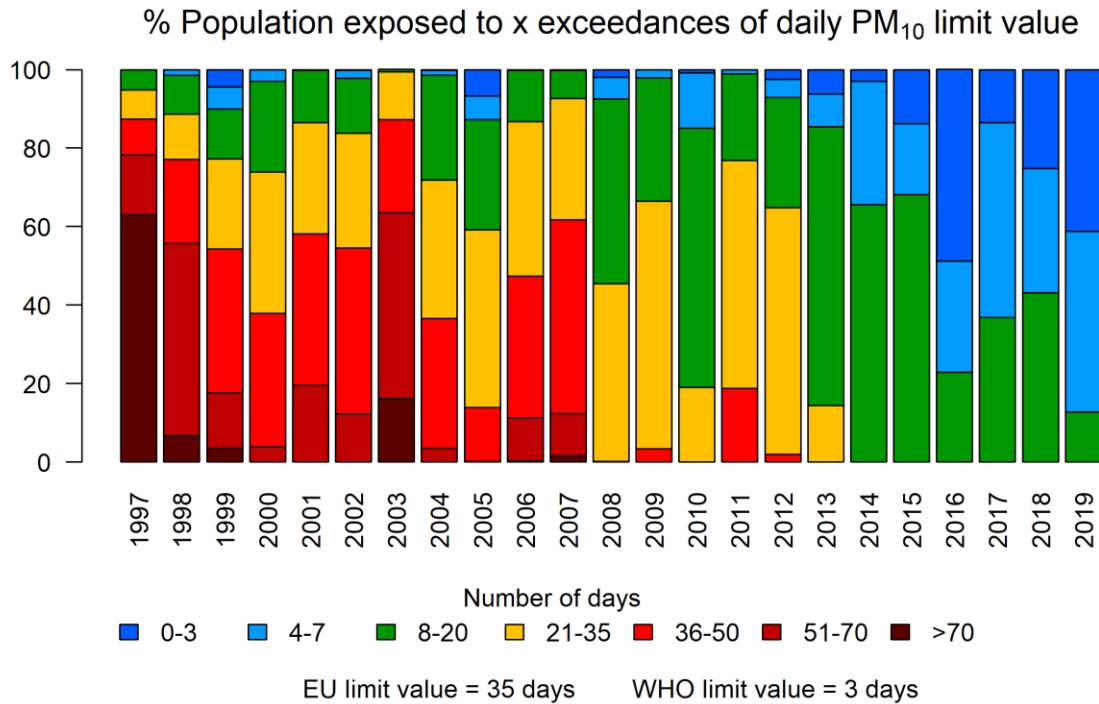
Figuur 14: Boxplot van het aantal dagen per jaar waarop de daggemiddelde PM_{10} -concentraties hoger was dan $50 \mu g/m^3$. Het ruimtelijk gemiddelde wordt weergegeven door de blauwe cirkels. Alle data werden berekend op basis van de RIO-interpolatietechniek.

Maximum number of days with daily mean PM₁₀ > 50 µg/m³



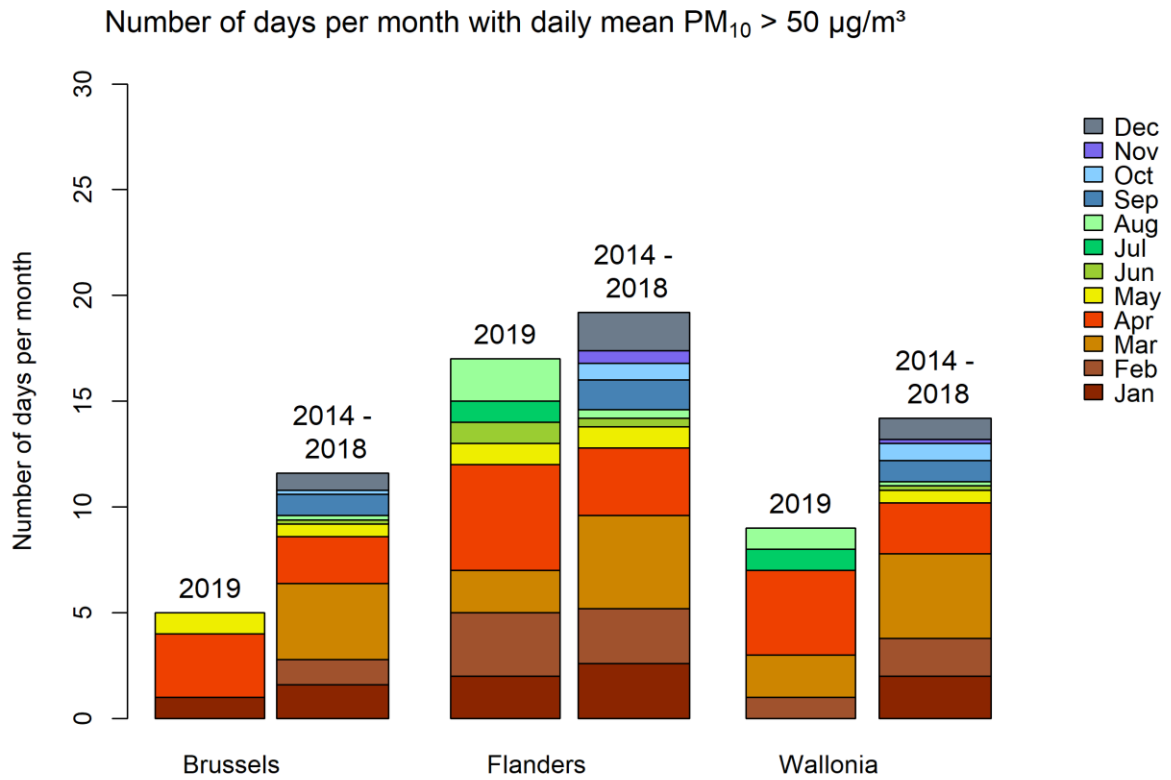
Figuur 15: Evolutie van het maximale aantal dagen per jaar waarop de daggemiddelde PM₁₀-concentratie hoger was dan 50 µg/m³ in België en de drie gewesten. Alle data werden berekend op basis van de RIO-interpolatietechniek.

Er werd niemand in België blootgesteld aan meer dan 35 overschrijdingsdagen (Figuur 16). 87 % van de bevolking werd blootgesteld aan minder dan 8 overschrijdingsdagen, terwijl 13 % tussen 8 en 20 overschrijdingsdagen ondergaat. Desondanks wordt ongeveer 59 % van de bevolking nog steeds blootgesteld aan meer dan 3 overschrijdingsdagen, wat de streefwaarde van de WGO is. Ook hier is het belangrijk rekening te houden met de ruimtelijke resolutie van de RIO-interpolatietechniek.



Figuur 16: Evolutie van de bevolking blootstelling aan dagen waarbij de daggemiddelde PM₁₀-concentratie hoger was dan 50 µg/m³. Alle data werden berekend op basis van de RIO-interpolatietechniek.

Figuur 17 geeft aan hoe het maximale aantal overschrijdingsdagen per gewest verdeeld is over de verschillende maanden van het jaar en dat zowel voor 2019 als uitgemiddeld voor de vijf voorgaande jaren. In 2019 werden vooral overschrijdingen vastgesteld gedurende de eerste 4 maanden van het jaar.

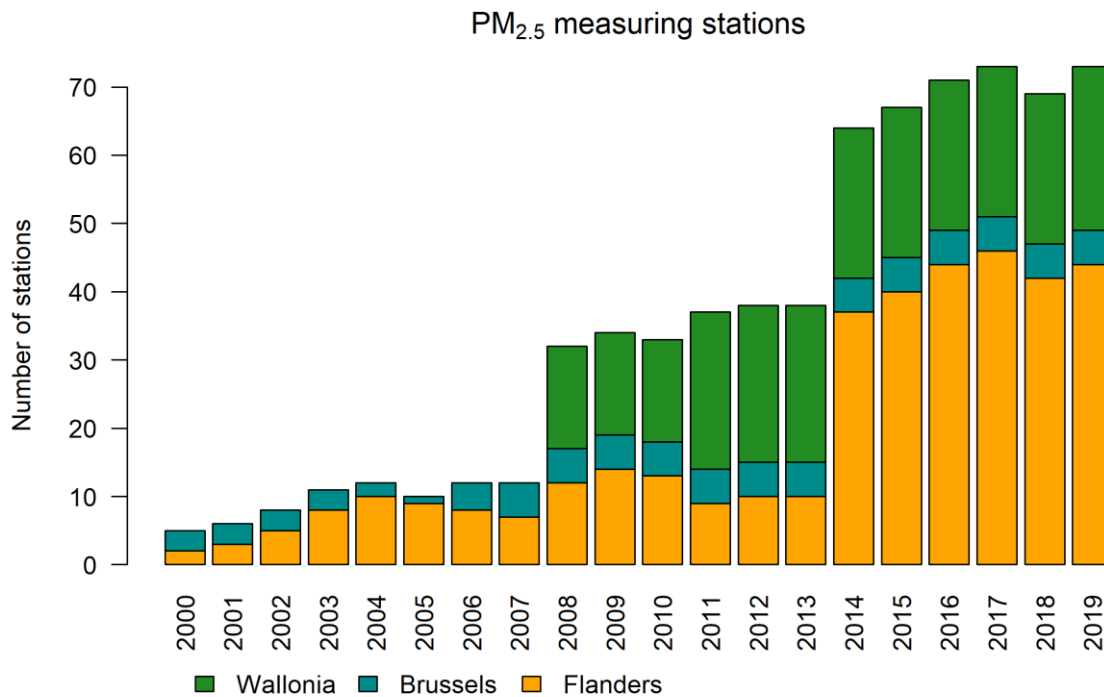


Figuur 17: Hoogste aantal dagen per maand waarop ergens in het Brussels Hoofdstedelijk, het Vlaams en het Waals Gewest de daggemiddelde grenswaarde van $50 \mu\text{g}/\text{m}^3$ overschreden werd in 2019 en de vijf voorgaande jaren. Alle data werden berekend op basis van de RIO-interpolatietechniek.

3.2 PM_{2,5}

3.2.1 PM_{2,5}-meetstations

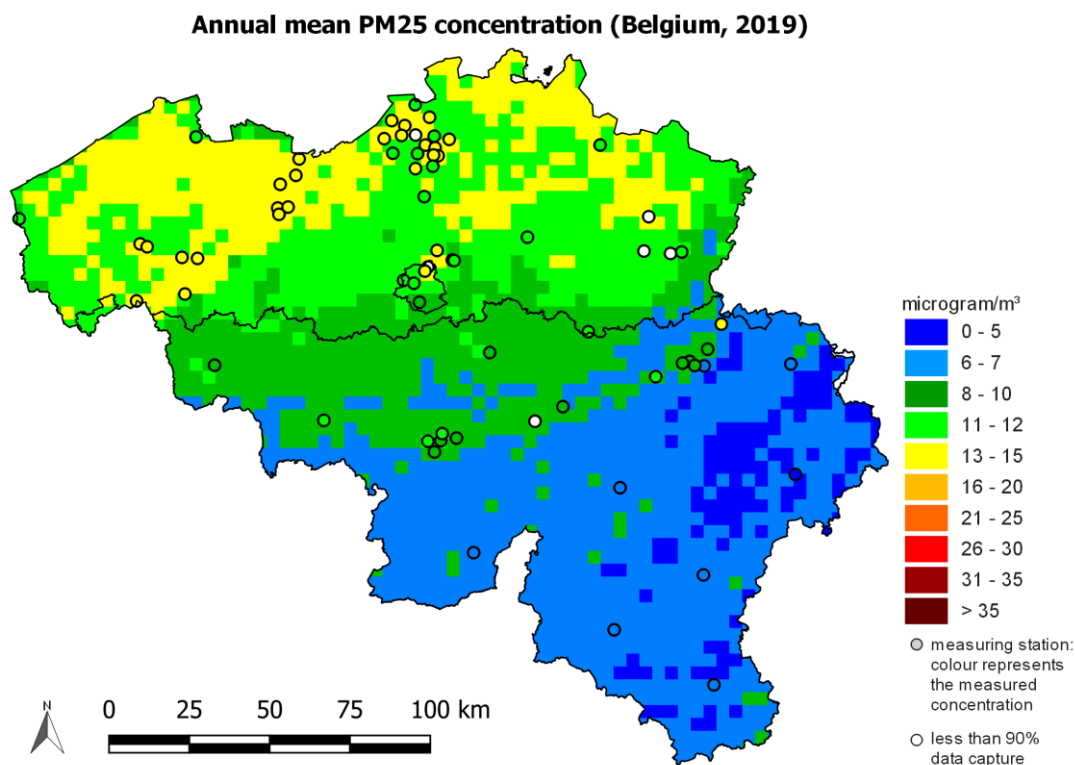
Figuur 18 toont de evolutie van het aantal meetstations waar PM_{2,5} gemeten wordt. De stations omvatten zowel de telemetrische stations als de stations die gebruikt worden in specifieke studies. Het aantal PM_{2,5}-meetstations is gevoelig gestegen van 5 in 2000 tot 73 in 2019. Omdat het aantal meetstations in de eerste jaren aanzienlijk lager lag, is de onzekerheid van de jaargemiddelden groter in die beginjaren. Dat is zeker voor Wallonië het geval aangezien er voor 2008 geen PM_{2,5} gemeten werd.



Figuur 18: Evolutie van het aantal PM_{2,5}-meetstations in België.

3.2.2 PM_{2,5}-jaargemiddelde concentratie

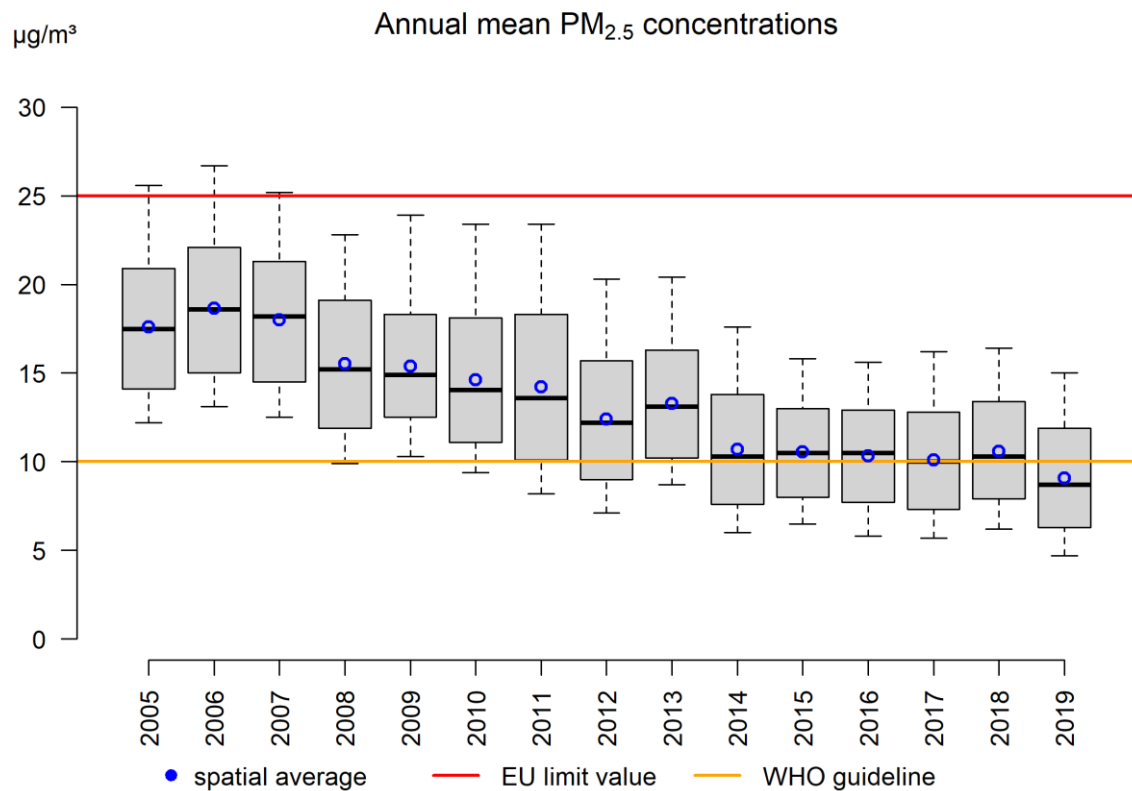
De Europese grenswaarde voor de bescherming van de bevolking tegen langdurige blootstelling aan PM_{2,5} werd vastgelegd op 25 µg/m³ als jaargemiddelde concentratie en is van kracht sinds 2015. In 2019 was de jaargemiddelde PM_{2,5}-concentratie overal in België lager dan 25 µg/m³. De ruimtelijk gemiddelde PM_{2,5}-concentratie over België bedroeg 9.1 µg/m³. De maximum jaargemiddelde concentratie van 15.0 µg/m³ werd berekend in Vlaanderen. De laagste concentraties, onder de WGO-advieswaarde van 10 µg/m³, zijn te vinden in Wallonië.



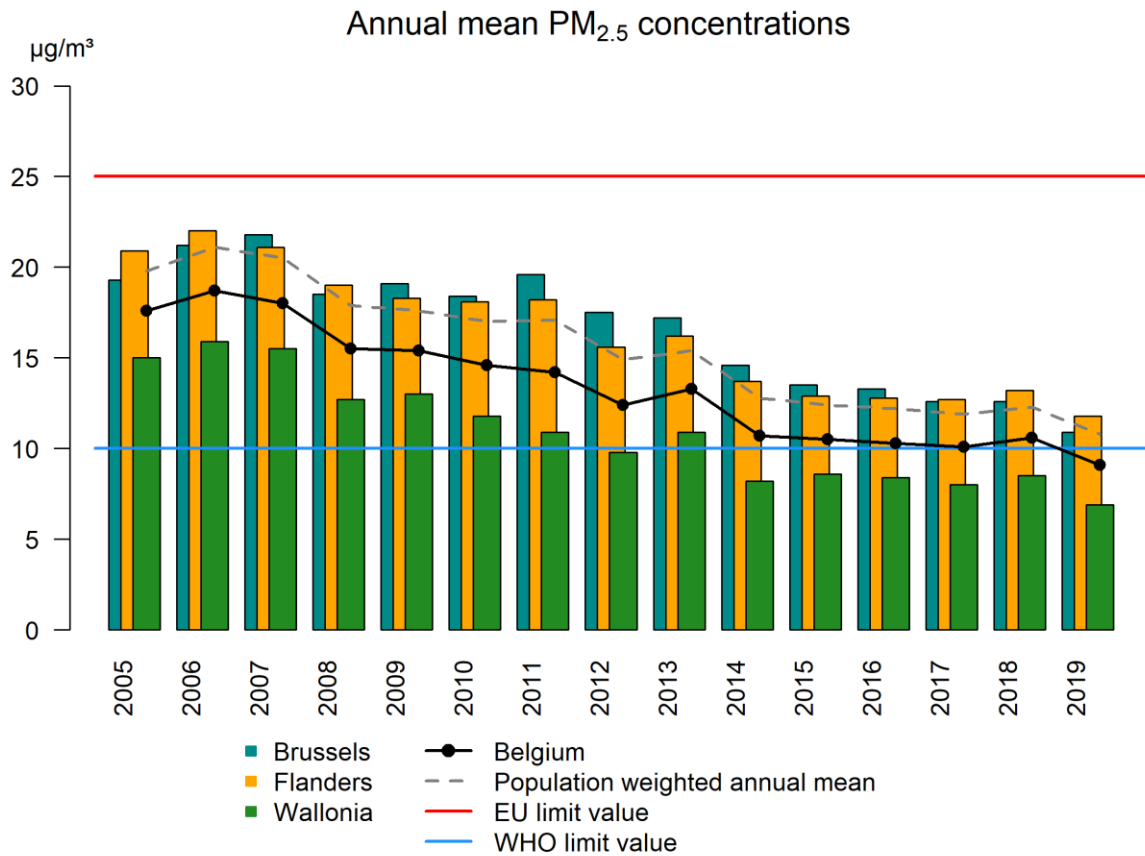
Figuur 19: Ruimtelijke spreiding van de jaargemiddelde PM_{2,5}-concentratie in België in 2019. Alle data werden berekend op basis van de RIO-interpolatietechniek.

De ruimtelijk gemiddelde jaargemiddelde PM_{2,5}-concentraties, en ook de laagste percentielen, vertonen een licht dalende trend tussen 2005 en 2014, gevolgd door een stagnatie tussen 2014 en 2019 (Figuur 20). De ruimtelijk jaargemiddelde concentraties in 2019 bedroegen 11.8 µg/m³ voor Vlaanderen, 6.9 µg/m³ in Wallonië en 10.9 µg/m³ in Brussel. Sinds 2005 dalen de PM_{2,5}-concentraties in alle gewesten, met een stabilisatie vanaf 2014 (Figuur 21).

Als we per seizoen het jaar 2019 vergelijken met de voorbije jaren (2014-2018), dan is er geen verbetering van de PM_{2,5}-concentraties in de winter- en lentemaanden (januari, februari, december en maart, april, mei respectievelijk). Het is eveneens duidelijk dat de PM_{2,5}-concentraties in de zomer lager zijn vergeleken met de concentraties in de andere seizoenen. Dit heeft verschillende redenen: hogere emissies door onder andere gebouwenverwarming in de koudere maanden en ongunstigere meteorologische condities. In 2019 werd de Belgische bevolking niet blootgesteld aan jaargemiddelde PM_{2,5}-concentraties hoger dan 20 µg/m³. Echter, de bevolkingsblootstelling aan concentraties boven de WGO advieswaarde van 10 µg/m³ bedroeg in 2019 62.2 %. (figuur 23).

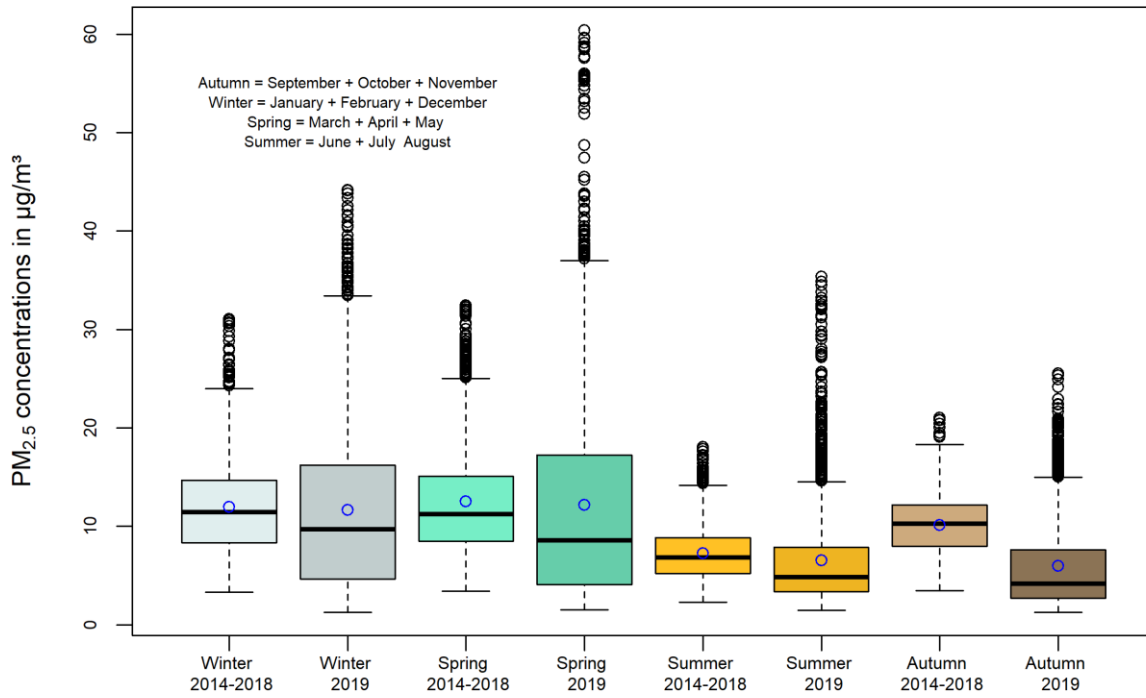


Figuur 20: Boxplot van de jaargemiddelde PM_{2.5}-concentraties (µg/m³) over de periode 2005-2019. Het ruimtelijke gemiddelde wordt door de blauwe cirkels weergegeven. Alle data werden berekend op basis van de RIO-interpolatietechniek.

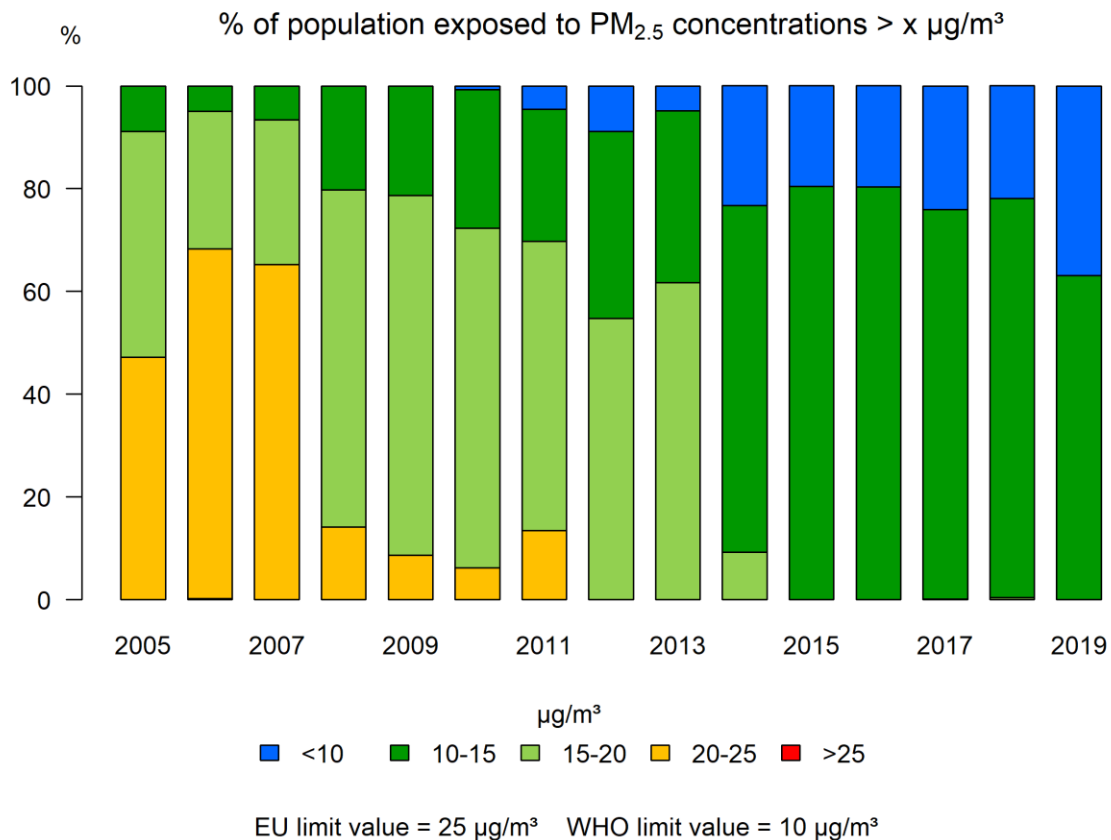


Figuur 21: Evolutie van de ruimtelijk jaargemiddelde PM_{2.5}-concentraties voor de drie gewesten en België, en ook de bevolkingsgewogen jaargemiddelde concentratie voor België. Alle data werden berekend op basis van de RIO-interpolatietechniek.

Spatial average PM_{2.5} concentrations per season

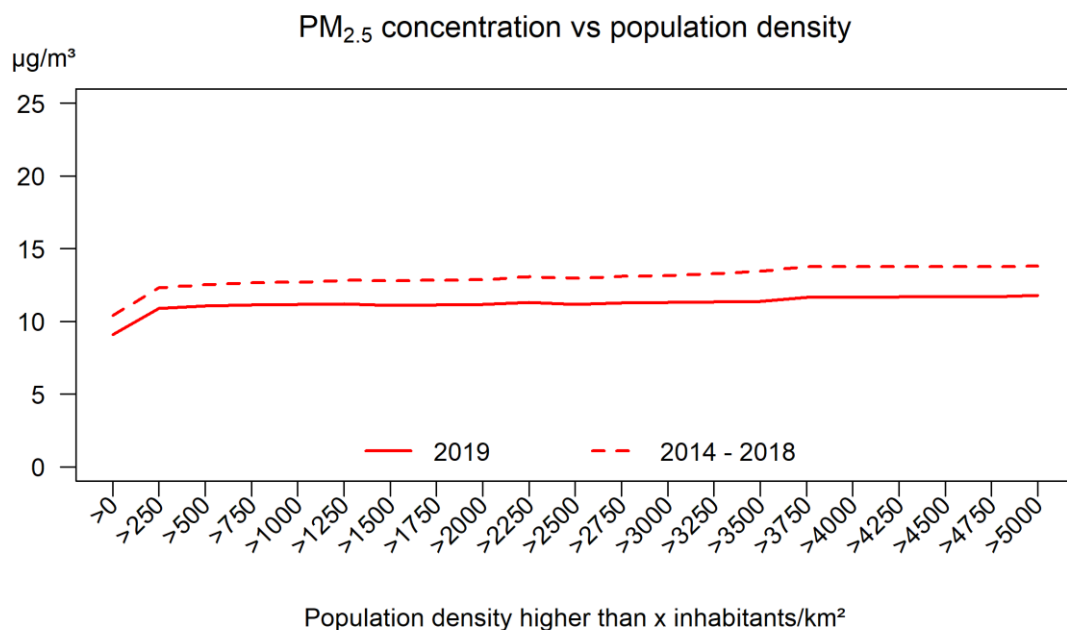


Figuur 22: Boxplot van de ruimtelijke jaargemiddelde PM_{2.5}-concentraties (µg/m³) over de periode 2019 vergeleken met de periode 2014-2018, opgesplitst per seizoen.



Figuur 23: Evolutie van de blootstelling van de bevolking aan jaargemiddelde PM_{2.5}-concentraties op basis van de RIO-interpolatietechniek.

Op basis van de PM_{2.5}-concentraties in de 4x4 km²-gridcellen en het bekende bevolkingsaantal per gridcel kan een relatie opgesteld worden tussen de PM_{2.5}-concentratie en de bevolkingsdichtheid (aantal inwoners per km²) boven een bepaalde waarde (Figuur 24). Uit die relatie blijkt dat naarmate de bevolkingsdichtheid stijgt ook de jaargemiddelde PM_{2.5}-concentraties stijgen.



Figuur 24: Relatie tussen de geïnterpoleerde jaargemiddelde PM_{2.5}-concentraties en de bevolkingsdichtheid (inwoners/km²) boven een bepaalde waarde. Alle data werden berekend op basis van de RIO-interpolatietechniek.

3.2.3 Gemiddelde Blootstellingsindex (GBI)

Om de blootstelling van de bevolking aan PM_{2.5} te verminderen, is in de Europese richtlijn 2008/50/EG de ‘gemiddelde blootstellingsindex’ (GBI) als aanvullende indicator opgenomen. Die GBI is een nationale streefwaarde en wordt berekend als het gemiddelde over drie jaar van de gemeten PM_{2.5}-concentraties in stedelijke achtergrondstations. Stedelijke achtergrondmeetplaatsen zijn meetplaatsen waar de concentraties niet bepaald worden door één dominante bron maar door alle bronnen in de ruime omgeving. Voor die GBI werd een grenswaarde van 20 µg/m³ tegen 2015 vastgelegd samen met een vast reductiepercentage tegen 2020. Dat reductiepercentage⁴ wordt voor België bepaald door de GBI die berekend werd op basis van de jaren 2009, 2010 en 2011 en moet worden gehaald in 2020 op basis van de gemiddelde GBI voor de jaren 2018, 2019 en 2020.

Voor de berekening van de GBI worden enkel stations in rekening gebracht die aan de gegevenskwaliteitsdoelstellingen voldaan hebben, d.w.z. waarvoor minimaal 85 % (90 % - 5 % als vaste waarde voor het ontbreken van data door kalibratie en regulier onderhoud) gevalideerde data beschikbaar zijn. Tabel 6 geeft een overzicht van de stedelijke achtergrondmeetstations die door de drie gewesten vastgelegd werden voor de berekening van de GBI samen met de uiteindelijk berekende (nationale) GBI. Voor België resulteert dat in een GBI van 19,0 µg/m³ voor de periode 2009-2011. Op basis van bijlage XIV van de richtlijn 2008/50/EG valt die GBI in de categorie ‘= 18 - 22 µg/m³’, wat betekent dat België verplicht werd om de GBI met 20 % te reduceren tegen 2020. Dat betekent dat de

⁴ Op basis van bijlage XIV van de Europese richtlijn betreffende de luchtkwaliteit en schonere lucht voor Europa 2008/50/EC.

GBI moet dalen tot 15,2 µg/m³. De uiteindelijke toetsing zal gebeuren op basis van de metingen (in dezelfde stedelijke achtergrondmeetplaatsen) in de periode 2018, 2019 en 2020.

De berekende GBI voor de jaren 2017, 2018 en 2019 bedraagt 12,3 µg/m³ (zie Tabel 7) en ligt dus (ruim) onder de doelstelling voor 2020.

Tabel 6: Overzicht van de PM_{2,5}-concentraties voor 2009, 2010 en 2011 per stedelijk achtergrondstation dat meegenomen werd in de berekening van de gemiddelde blootstellingsindex of GBI.

Stationsnaam	2009	2010	2011
SINT JANS MOLENBEEK	21,81	22,44	25,05
UKKEL	18,63	18,45	18,77
LIEGE	16,41	14,54	14,66
CHARLEROI	16,45	*	14,17
BRUGGE	*	18,91	18,64
GENT	19,95	20,75	20,24
ANTWERPEN	20,16	20,16	19,55
SCHOTEN	19,20	19,27	18,96
Gemiddelde per jaar	18,94	19,22	18,75
Gemiddelde 2009 -2011		18,97	
GBI		19,0	

**voldoen niet aan de gegevenskwaliteitsdoelstellingen waarbij minimaal 90 % gevalideerde data beschikbaar moet zijn.*

Tabel 7: Overzicht van de PM_{2,5}-concentraties voor 2016, 2017 en 2018 per stedelijk achtergrondstation dat meegenomen werd in de berekening van de gemiddelde blootstellingsindex of GBI.

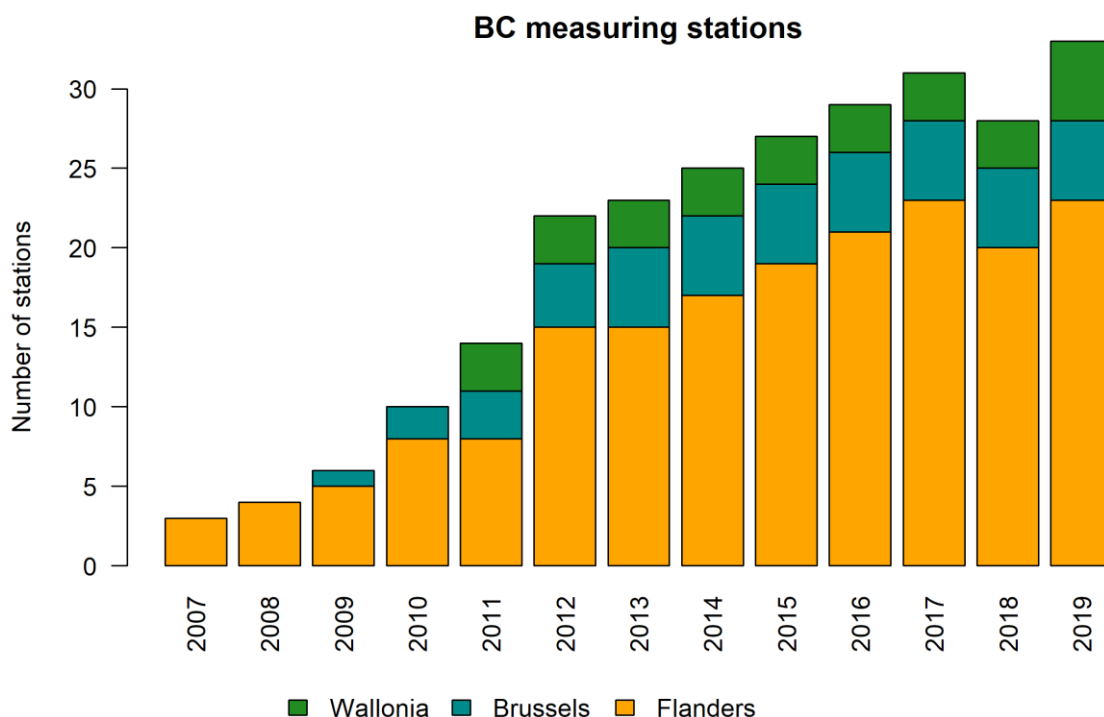
Stationsnaam	2017	2018	2019
SINT JANS MOLENBEEK	13,54	13,47	11,60
UKKEL	12,28	11,25	9,57
LIEGE	9,40	10,44	7,08
CHARLEROI	11,78	12,36	10,42
BRUGGE	13,51	13,29	12,39
GENT	15,12	15,54	13,38
ANTWERPEN	14,32	13,75	12,66

SCHOTEN	13,61	13,27	11,62
Gemiddelde per jaar	12,92	12,92	11,09
Gemiddelde 2017 -2019		12,32	
GBI		12,3	

3.3 Black Carbon (BC)

3.3.1 BC-maatstations

Sinds 2007 wordt er Black Carbon of zwarte koolstof gemeten in het telemetrisch meetnet van Vlaanderen. Brussel begon met BC-metingen in 2009 en Wallonië volgde in 2011 (zie Figuur 25). Het aantal stations nam intussen toe tot 33 in 2019, waarvan 23 in Vlaanderen, 5 in Brussel en 5 in Wallonië.



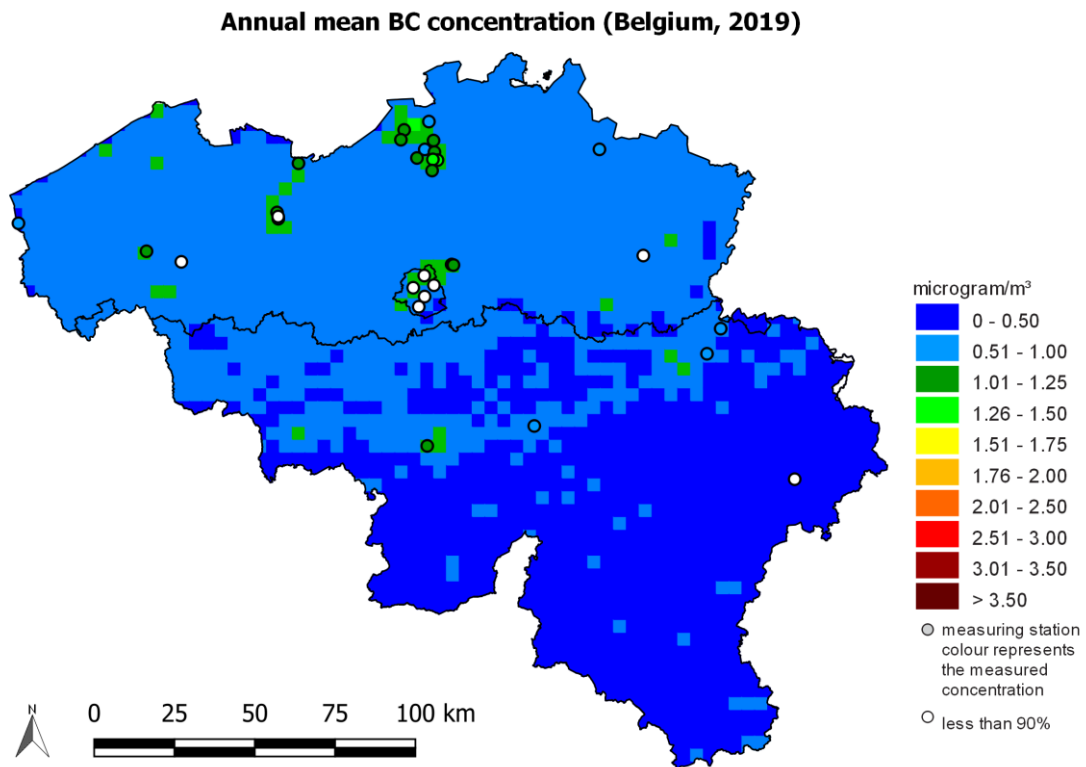
Figuur 25: Evolutie van het aantal BC-maatstations in België.

3.3.2 BC-jaargemiddelde concentratie

BC is een pollutant gerelateerd aan onvolledige verbranding van fossiele brandstoffen, biobrandstoffen en biomassa. De hoogste concentraties komen dan ook voor in verkeersdrukte regio's en op locaties waar biomassa verbrand wordt. Momenteel bestaan geen grens- of streefwaarden waarmee de geïnterpoleerde BC-concentraties kunnen vergeleken worden.

Figuur 26 toont de ruimtelijke spreiding van de jaargemiddelde BC-concentratie voor 2019 in België. Hierbij moet rekening gehouden worden dat enerzijds het aantal stations waar BC wordt gemeten momenteel laag is (vooral in Wallonië) en de stations bovendien erg heterogeen verspreid zijn. De kaart voorgesteld in Figuur 26 is dus louter indicatief.

Door de beperkte tijdreeks (de metingen startten pas in 2007), is een evaluatie van de trend nog niet mogelijk.



Figuur 26: Ruimtelijke spreiding van de jaargemiddelde BC-concentratie in België in 2019. Alle data werden berekend op basis van de RIO-interpolatietechniek.

4 Stikstofoxides

Stikstofoxides (NO_x) is de verzamelnaam voor een mengsel dat voornamelijk bestaat uit stikstofmonoxide (NO) en stikstofdioxide (NO_2). Stikstofoxides worden grotendeels door menselijke activiteiten uitgestoten tijdens verbrandingsprocessen bij hoge temperaturen waarbij luchtstikstof geoxideerd wordt. De belangrijkste bronnen van NO_x zijn (weg)verkeer, energieproductie, industrie (inclusief raffinaderijen) en gebouwenverwarming. In België is ongeveer de helft van de NO_x -emissie afkomstig van het wegtransport. NO_2 is dan ook een goede 'proxy' voor het complexe mengsel van verkeersgerelateerde luchtverontreiniging. NO_x wordt voornamelijk uitgestoten in de vorm van NO en in mindere mate NO_2 (behalve bij dieselwagens, daar kan de verhouding NO_2/NO_x oplopen tot 60 %) (Grice et al., 2009). De levensduur van NO is echter zeer kort (enkele minuten). Door fotochemische reacties met onder andere ozon en vluchtige organische stoffen (VOS) wordt NO omgezet in het in de atmosfeer langer levende NO_2 (enkele uren tot dagen). NO_x wordt niet alleen door antropogene emissies in de atmosfeer gebracht, maar ook door biochemische processen in de bodem, bij bliksems en bosbranden.

Stikstofoxides spelen ook een belangrijke rol bij de vorming van ozon. Tijdens warme zomerdagen met sterke zonnestraling wordt NO_2 door het uv-licht van de zon gedissocieerd in NO en een vrij zuurstofradicaal (O^\cdot). Het laatste zal vervolgens reageren met een zuurstofmolecule (O_2) en zo ozon (O_3) vormen. Ozon is een zeer reactief gas met schadelijke gevolgen voor de bevolking en ecosystemen.

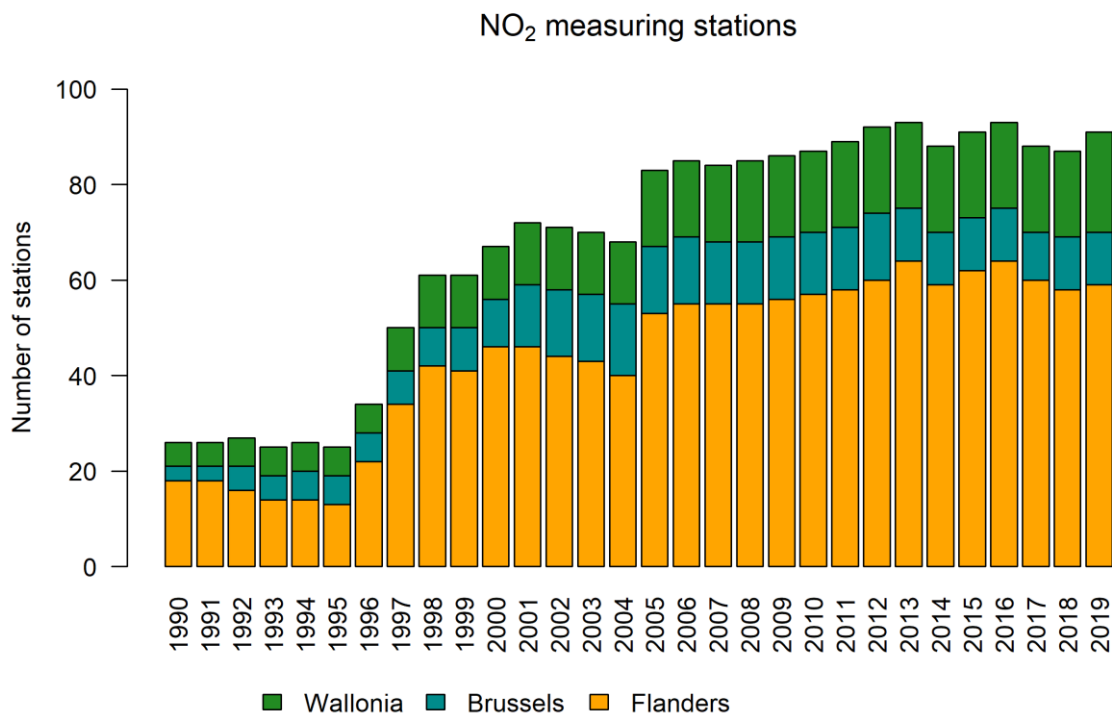
Ook in de vorming van aerosolen spelen stikstofoxides een rol. Door chemische reacties in de atmosfeer is NO_x verantwoordelijk voor de vorming van nitraationen (NO_3^-), die een secundaire component zijn van fijn stof. Door de langere levensduur van NO_2 kan die pollutant over grote afstanden worden getransporteerd en zo ook in meer afgelegen gebieden, met minder of geen bronnen van luchtverontreiniging, schade veroorzaken.

Stikstofoxides zorgen ook voor verzuring en vermisting van het milieu (MIRA, 2011; MIRA, 2006). NO_2 wordt in de atmosfeer omgezet tot salpeterzuur (HNO_3). Droge of natte depositie van onder andere salpeterzuur veroorzaakt verzuring van de bodem en het water, met aantastingen van de ecosystemen tot gevolg. Verzuring wordt omschreven als de gezamenlijke effecten van luchtverontreinigende stoffen die door de atmosfeer aangevoerd worden en waaruit zuren (zoals HNO_3) kunnen worden gevormd (MIRA, 2006). Met vermisting (of eutrofiëring) wordt de ophoping of 'aanrijking' van de bodem of het grondwater bedoeld met nutriënten (waaronder N). Hoge nutriëntconcentraties hebben een versturende werking op ecosystemen (MIRA, 2011).

Blootstelling aan zeer hoge NO_2 -concentraties kan door de toxiciteit van het gas onmiddellijk nadelige gezondheidseffecten veroorzaken. Het effect van langdurige blootstelling aan de huidige NO_2 -concentraties is moeilijk af te zonderen in epidemiologische studies. Er zijn echter wel duidelijk negatieve gezondheidseffecten verbonden aan verkeersmissies en NO_2 is sterk gecorreleerd met het mengsel van de verkeersgerelateerde luchtverontreiniging. Om die reden en omdat NO_2 ook indirect schadelijk is voor mens en milieu hebben de Europese Commissie en de Wereldgezondheidsorganisatie er grenswaarden voor opgesteld. Op basis van de REVIHAAP studie (WHO, 2013) blijkt dat er meer en meer aanwijzingen zijn dat NO_2 ook afzonderlijk, voornamelijk bij kortetermijnblootstelling, schadelijk is. Voor de chronische, langetermijnblootstelling zijn de conclusies minder éénduidig.

4.1 NO₂-meetstations

Figuur 27 toont de evolutie van het aantal meetstations waar NO₂ gemeten wordt en die getoond worden op de RIO-interpolatiekaarten in dit rapport. Ze omvat zowel de telemetrische stations als de stations uit specifieke studies en stations die beheerd worden door de elektriciteitsproducenten en de Belgische Petroleumfederatie in samenwerking met de gewestelijke milieuadministraties. Het aantal NO₂-meetstations is gestegen van 26 in 1990 tot 91 in 2019. Omdat het aantal meetstations in de eerste jaren aanzienlijk lager lag dan recent, is de onzekerheid van de jaargemiddelden groter in die beginjaren.



Figuur 27: Evolutie van het aantal NO₂-meetstations in België.

4.2 NO₂-jaargemiddelde

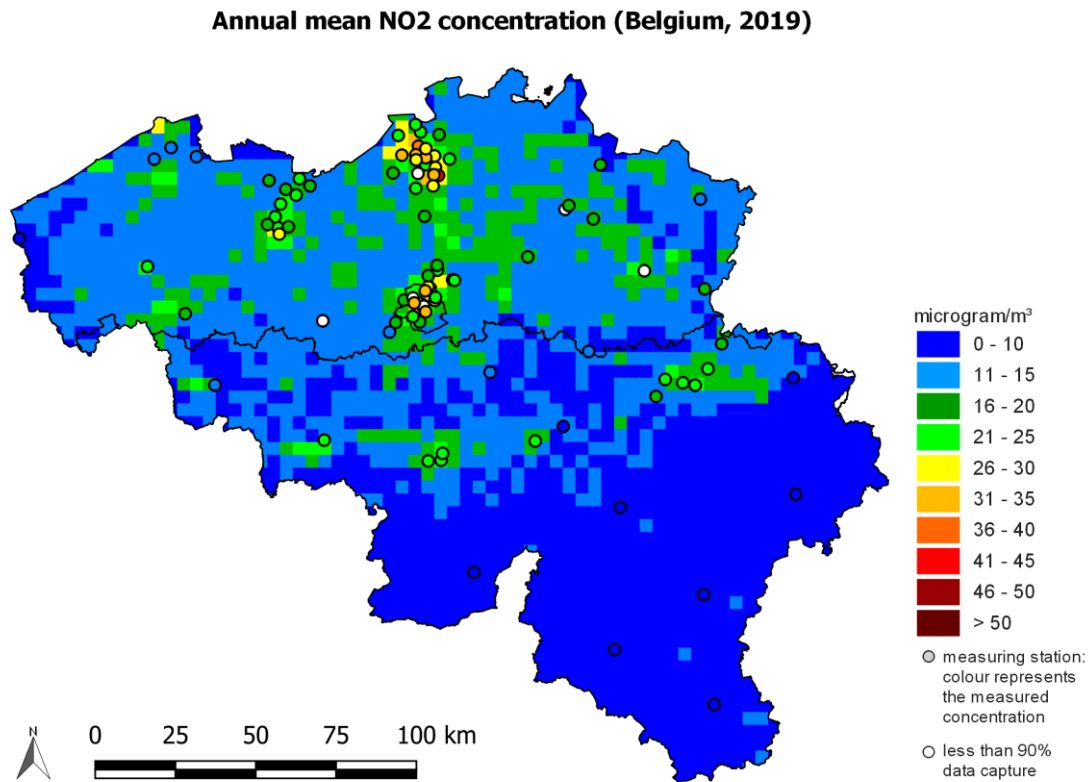
De Europese jaargrenswaarde voor de bescherming van de bevolking bedraagt 40 µg/m³. Die grenswaarde geldt vanaf 2010⁵ voor het hele Belgische grondgebied. Uit Figuur 28 blijkt duidelijk dat de hoogste jaargemiddelden gemeten worden in de stedelijke gebieden. Dat is niet verwonderlijk gezien het sterke verkeersgerelateerde karakter van NO₂. Op één verkeersdrukke plaats in Antwerpen en één in Brussel worden jaargemiddelden boven 40 µg/m³ gemeten. Door de beperkte ruimtelijke resolutie (4x4 km²) van het RIO-interpolatiemodel, zijn lokale overschrijdingen van de NO₂-grenswaarde niet altijd zichtbaar op de interpolatiekaarten.

Het hoogste NO₂-jaargemiddelde van alle Belgische gridcellen bedraagt 33.4 µg/m³. Gemiddeld over Vlaanderen is het jaargemiddelde 14.1 µg/m³, gemiddeld over Brussel 22.4 µg/m³ en gemiddeld over Wallonië 8.2 µg/m³. Het ruimtelijk gemiddelde in België, rekening houdend met het aantal inwoners per gridcel (het bevolkingsgewogen gemiddelde), bedraagt 16.7 µg/m³. Dat ligt aanzienlijk hoger dan het niet-bevolkingsgewogen gemiddelde over België (10.9 µg/m³), wat weerspiegelt dat de gridcellen met de hoogste bevolkingsdichtheid (stedelijke gebieden), ook de gridcellen zijn met hogere NO₂-

⁵ Voor de luchtkwaliteitszones “Antwerpse Haven” en “Antwerpse Agglomeratie geldt de grenswaarde vanaf 2015”

jaargemiddelde concentraties. Dat wordt ook duidelijk in Figuur 29 waarin de relatie tussen de jaargemiddelde NO₂-concentratie en de bevolkingsdichtheid weergegeven wordt. Vanaf een bevolkingsaantal van circa 1000 inwoners/km² is de jaargemiddelde NO₂-concentratie in 2019 hoger dan 20 µg/m³. Voor de periode 2014-2018 lag dat nog iets hoger.

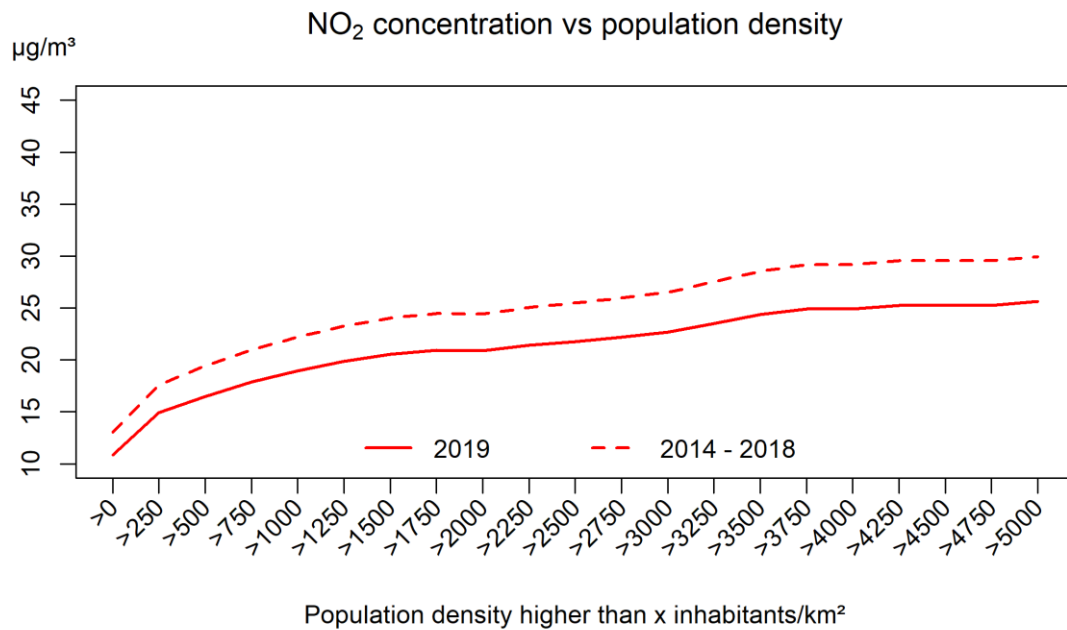
De onzekerheid op de berekende jaargemiddelde NO₂-concentraties is te vinden in Bijlage D.



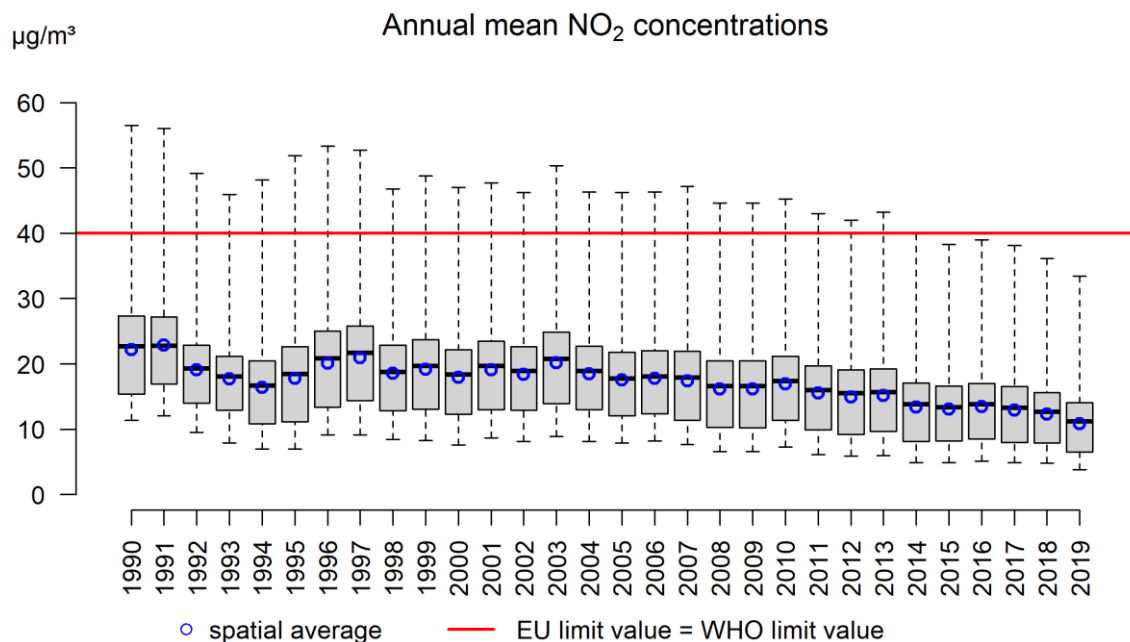
Figuur 28: Ruimtelijke spreiding van het NO₂-jaargemiddelde in 2019. Alle data werden berekend op basis van de RIO-interpolatietechniek.

De evolutie van het minimale, het 25^e percentiel (P25)⁶, het 50^e percentiel (P50), het 75^e percentiel (P75) en het maximale NO₂-jaargemiddelde in België wordt weergegeven in Figuur 30. Ook het ruimtelijk gemiddelde over België is weergegeven.

⁶ P25 of het 25^e percentiel is de waarde waarbij 25 % van alle waarden lager is dan P25, 75 % van de waarden is hoger.



Figuur 29: Relatie tussen de geïnterpoleerde jaargemiddelde NO₂-concentraties en de bevolkingsdichtheid (inwoners/km²) boven een bepaalde waarde. Alle data werden berekend op basis van de RIO-interpolatietechniek.



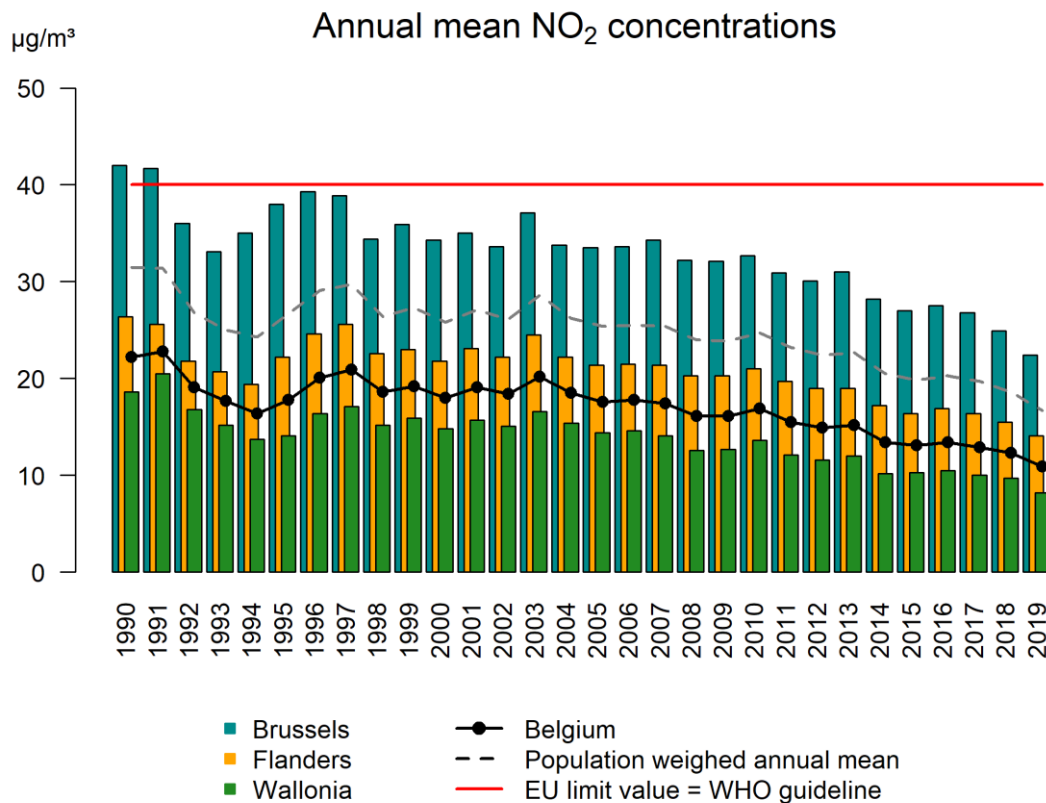
Figuur 30: Boxplots van de jaargemiddelde NO₂-concentraties (µg/m³) voor de periode 1990-2019. Het ruimtelijke gemiddelde wordt door de blauwe cirkels weergegeven. Alle data werden berekend op basis van de RIO-interpolatietechniek.

Figuur 31 geeft de evolutie weer van de jaargemiddelde NO₂-concentraties in België en per gewest. Ook hier komen de hogere jaargemiddelden in het stedelijke Brussel duidelijk naar voren. Vanaf 2007 dalen de jaargemiddelde NO₂-concentraties lichtjes in alle gewesten. In de jaren vóór 1997 is de onzekerheid op het berekende jaargemiddelde groter door het lagere aantal meetstations.

Figuur 32 toont de jaargemiddelde NO₂-concentraties per seizoen voor 2019 ten opzichte van het gemiddelde van 2014-2018. De winter van 2019 vertoont een opvallende ruimtelijke spreiding.

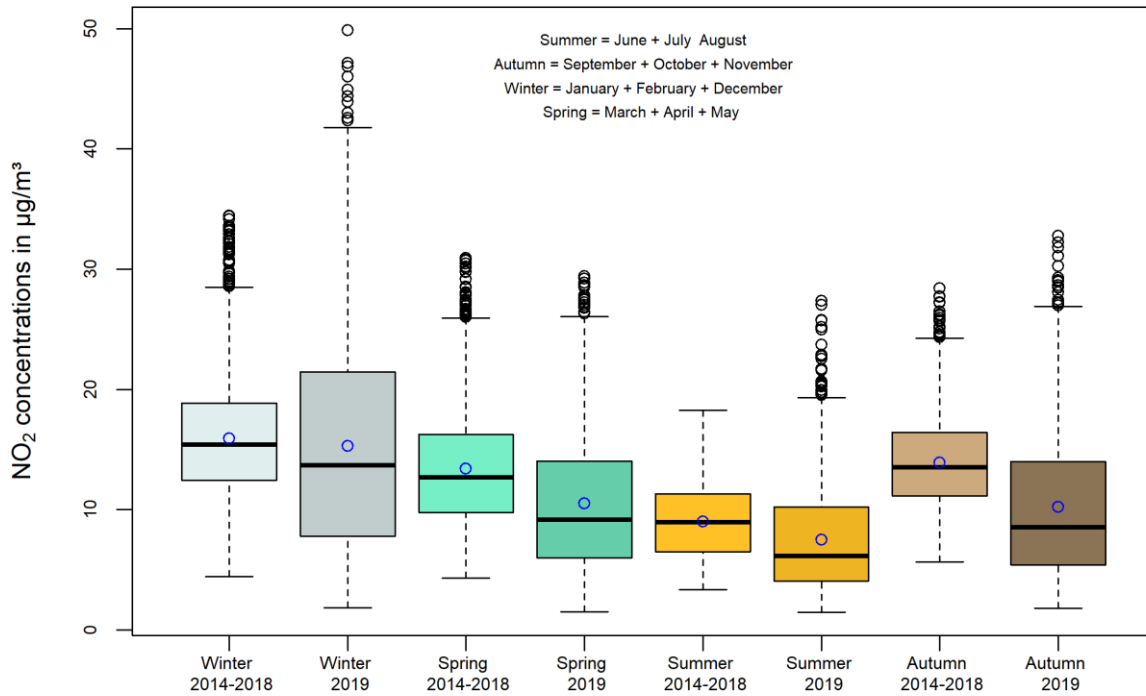
Figuur 33 geeft aan dat de concentraties beduidend hoger zijn tijdens de spitsuren (en in de avond ook de uren die volgen op de spitsuren) vergeleken met de rest van de dag. Als we het jaar 2019 vergelijken met de voorgaande jaren (2014-2018), dan blijkt de daling in NO₂-concentraties vrij homogeen over de verschillende uren.

De daling van de jaargemiddelde NO₂-concentraties in België in de periode 1990-2019 is eerder beperkt (Figuur 34). De sterkste neerwaartse trend doet zich voor in het zuiden van België. In Vlaanderen is de daling niet sterker dan 1,5 % per jaar.

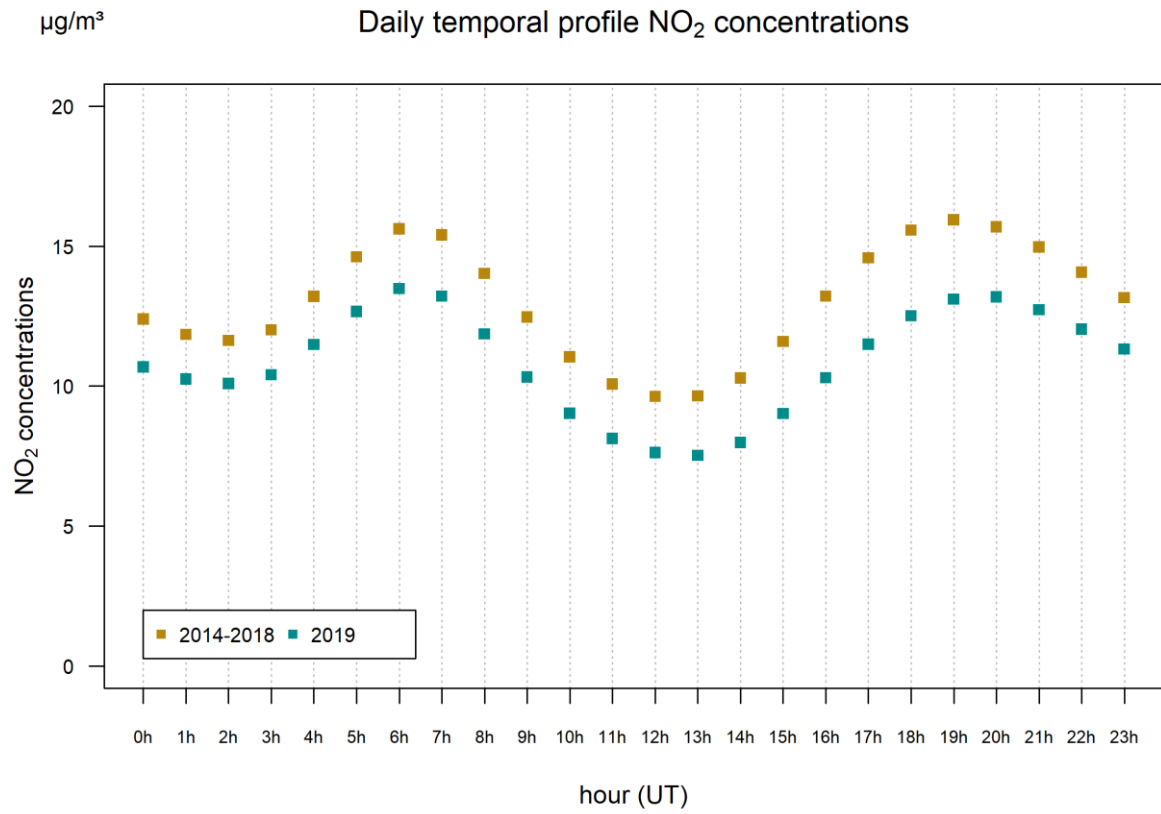


Figuur 31: Evolutie van het NO₂-jaargemiddelde in België op basis van de RIO-interpolatietechniek.

Spatial average NO₂ concentrations per season

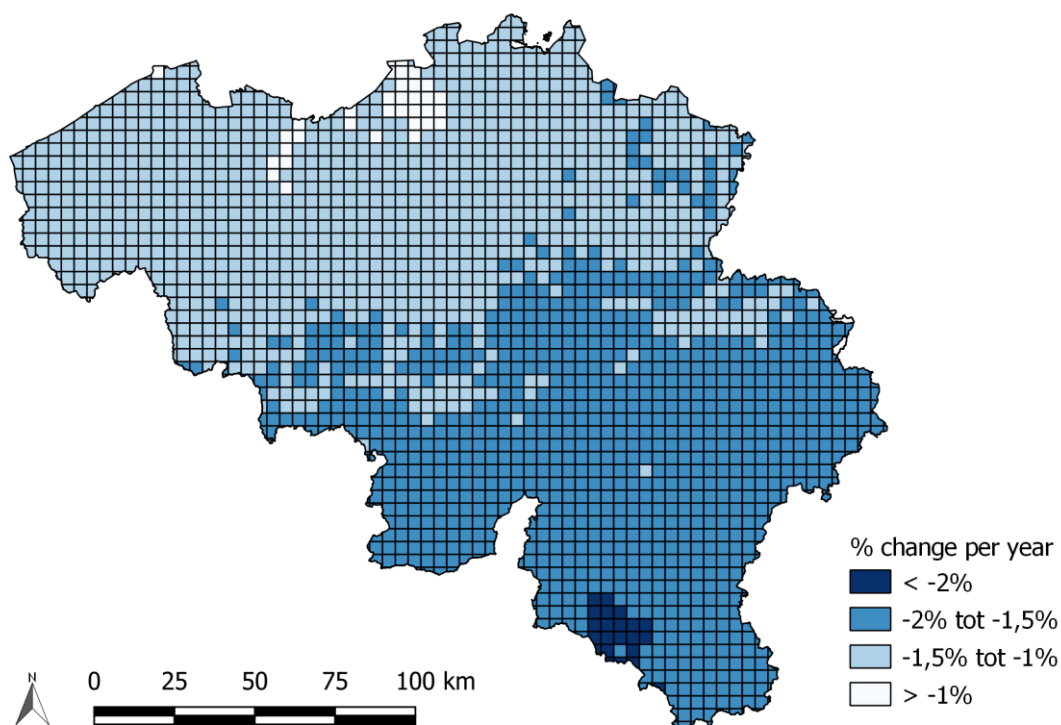


Figuur 32: Boxplot van de ruimtelijke jaargemiddelde PM_{2,5}-concentraties (µg/m³) over de periode 2019 vergeleken met de periode 2014-2018, opgesplitst per seizoen.



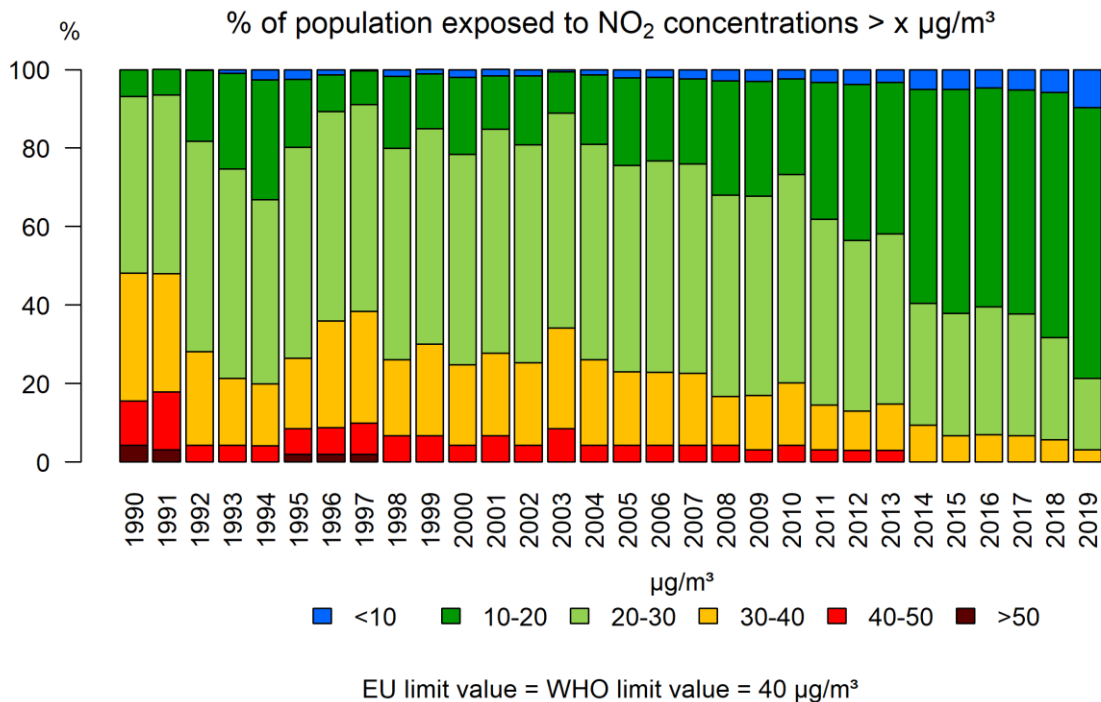
Figuur 33: Evolutie van de NO_2 -concentraties opgesplitst per uur.

Trend annual mean NO₂ concentrations (Belgium, 1990-2019)



Figuur 34: Trend (%/jaar) van de jaargemiddelde NO₂-concentraties in de periode 1990-2019. Alle data werden berekend op basis van de RIO-interpolatietechniek.

Sinds 2003 worden meer mensen aan steeds lagere jaargemiddelde NO₂-concentraties blootgesteld (Figuur 35). Vanaf 1998 schommelt het percentage van de Belgische bevolking dat potentieel blootgesteld is aan jaargemiddelde concentraties boven de EU-grenswaarde rond 7 %. In 2013 was dat afgenomen tot 3 % en sindsdien is er volgens de berekeningen niemand meer blootgesteld aan jaargemiddelde concentraties boven de EU-grenswaarde. De resultaten dienen wel met de nodige voorzichtigheid geïnterpreteerd te worden. De blootstelling van de bevolking wordt ingeschat op basis van een ruimtelijke interpolatie van de metingen en de bevolkingsaantallen per gridcel van 4x4 km². Zoals al eerder vermeld is dit een onderschatting. Vooral langs wegen met veel verkeer en in streetcanyons zullen de NO₂-concentraties hoger zijn dan de waarden berekend met de RIO-interpolatiemethode voor een gridcel van 4x4 km². Het is daarom dat, hoewel Figuur 35 geen blootstelling aan verhoogde concentraties (> 40 µg/m³) vertoont, er lokaal toch personen kunnen blootgesteld zijn aan concentraties boven 40 µg/m³.



Figuur 35: Percentage van de Belgische bevolking blootgesteld aan jaargemiddelde NO₂-concentraties. Alle data werden berekend op basis van de RIO-interpolatietechniek.

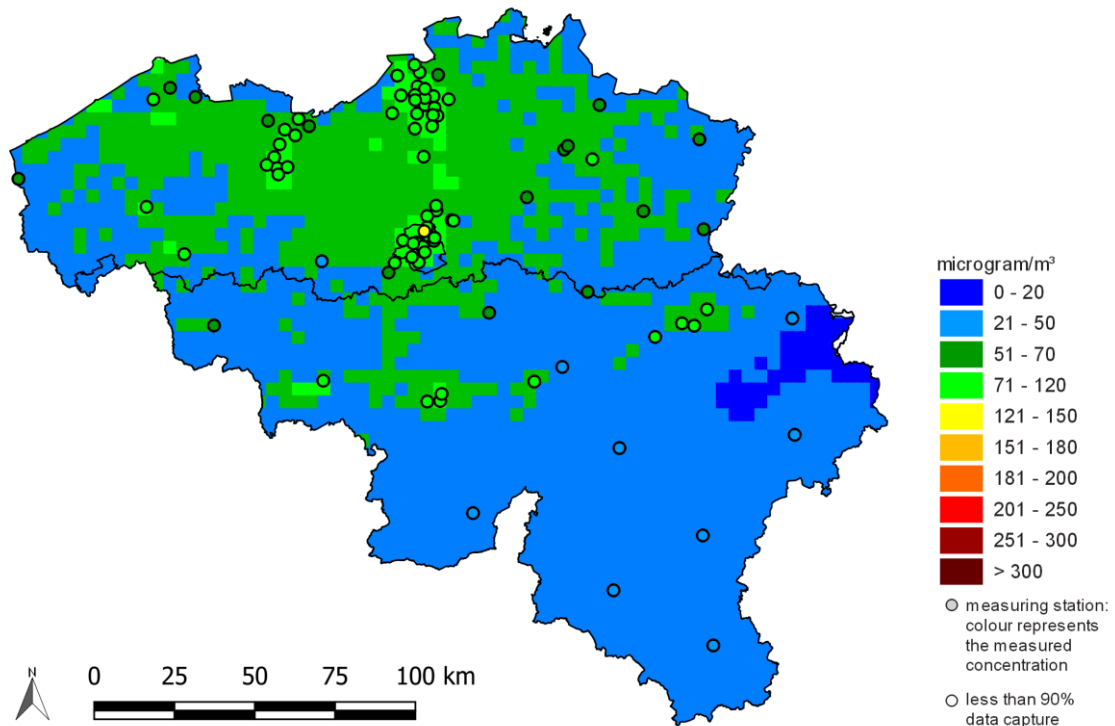
Ter bescherming van de vegetatie en natuurlijke ecosystemen wordt in de Europese richtlijn ook een kritiek niveau opgelegd van 30 µg/m³ jaargemiddeld. Die grenswaarde moet worden gehaald op meetstations die representatief zijn voor een gebied van minimaal 1000 km², en die gelegen zijn op ten minste 20 km van een agglomeratie en op ten minste 5 km van een drukke weg, bebouwing, industrie enzovoort. Omdat België geen locaties heeft die aan al die criteria voldoen, is deze richtlijn niet van toepassing, maar in de stations die ze het dichtste benaderen zijn er gedurende de laatste 5 jaar geen overschrijdingen van deze norm waargenomen.

4.3 NO₂-uurwaarden

Voor de bescherming van de bevolking tegen NO₂-piekconcentraties op korte termijn legt de Europese wetgeving een uur grenswaarde op van 200 µg/m³. Die uurgrens mag per jaar maximaal 18 keer (uren) overschreden worden. In België wordt die jaargrenswaarde ruimschoots gerespecteerd. Het is niet geheel uitgesloten dat zeer lokaal, in verkeersdrukke straten, de 200 µg/m³ enkele uren per jaar overschreden wordt, maar het is erg onwaarschijnlijk dat de dit meer dan de limiet van 18 uren is. Door de lage resolutie van de RIO-interpolatiemethode zijn lokale overschrijdingen echter niet zichtbaar. De 19^e hoogste uurwaarde in België in 2019 wordt voorgesteld in Figuur 36 (dat komt overeen met het 99.8^{ste} percentiel van alle uurgemiddelde concentraties in een jaar). Het maximum van de 19^e hoogste uurwaarde in België, representatief op 4x4 km², bedraagt 100,61 µg/m³, wat ruim onder de Europese limiet van 200 µg/m³ ligt en werd geobserveerd in Brussel. De WGO-advieswaarde bedraagt eveneens 200 µg/m³, maar mag geen enkele keer worden overschreden. Ook daaraan wordt dus overal in België voldaan.

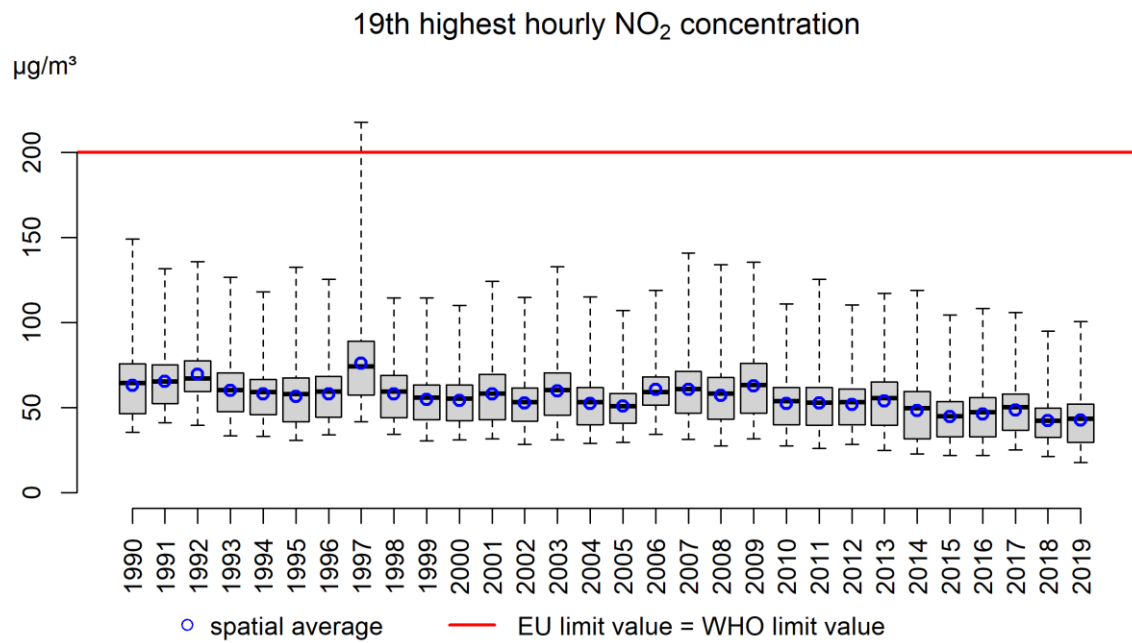
De hoogste uurgemiddelde NO₂-concentratie, representatief voor een zone van 4x4 km², bedroeg 125 µg/m³ in 2019.

19th highest hourly mean NO₂ concentration (Belgium, 2019)

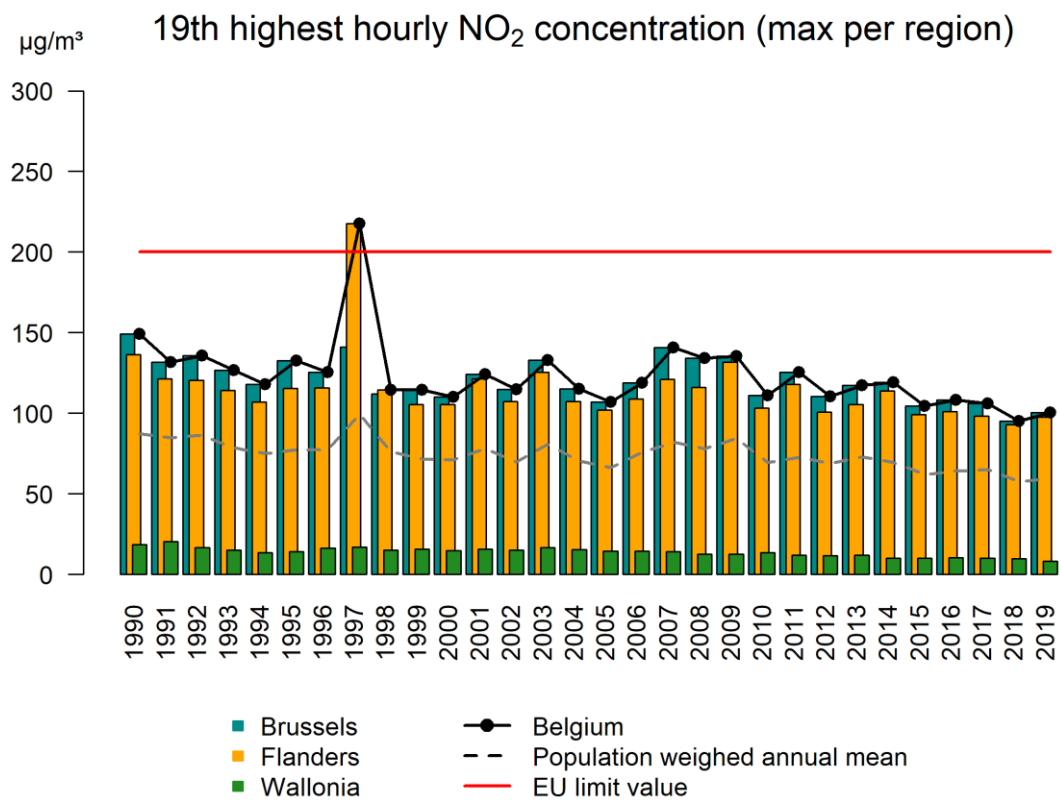


Figuur 36: Ruimtelijke spreiding van de 19e hoogste uurgemiddelde NO₂-concentratie in België, 2019. Alle data werden berekend op basis van de RIO-interpolatietechniek.

Sinds 1990 is er weinig variatie in het ruimtelijke gemiddelde, minimum en maximum van de 19^{de} hoogste NO₂-uurwaarde (Figuur 37). Dat betekent dat de piekconcentraties van NO₂ nauwelijks of niet veranderd zijn in de laatste 20 jaar, zowel in het Vlaams, het Brussels Hoofdstedelijk als het Waals Gewest (Figuur 38). Een uitzondering daarop vormt 1997, toen er in januari heel hoge concentraties werden gemeten in de stations van de Belgische Petroleumfederatie in Antwerpen.



Figuur 37: Boxplot van de 19^{de} hoogste uurgemiddelde NO₂-concentratie (µg/m³) over de periode 1990-2019. Het ruimtelijke gemiddelde wordt door de blauwe cirkels weergegeven. Alle data werden berekend op basis van de RIO-interpolatietechniek.



Figuur 38: Evolutie van het maximum van de 19de hoogste NO₂-uurwaarde in de drie gewesten en België op basis van de RIO-interpolatietechniek.

5 Ozon

Ozon (O_3) is een zeer reactief gas dat gevormd wordt tijdens verschillende fotochemische reacties in de atmosfeer (troposfeer). Ozon wordt dus niet rechtstreeks uitgestoten en is een secundaire pollutant. Door inwerking van uv-licht op de aanwezige luchtverontreiniging op warme zomerdagen wordt ozon op leefniveau gevormd. De ozonvoorlopers of ozonprecursoren zijn NO_x , VOC en CO. In België wordt ongeveer de helft van de NO_x door het verkeer uitgestoten. Andere belangrijke bronnen van NO_x zijn de gebouwenverwarming en de industrie. VOC worden vooral uitgestoten door het verkeer en door gebruik van solventen (verven, schoonmaakproducten, ...) in de industrie maar ook in de huishoudens. Naast de ozon die op warme dagen geproduceerd wordt, is er altijd een globale achtergrondconcentratie aanwezig.

De uitstoot van NO_x (= molaire som van $NO + NO_2$) heeft een dubbel effect op ozon. Enerzijds zorgt NO ervoor dat O_3 afgebroken wordt waarbij NO_2 ontstaat, anderzijds zorgt NO_2 weer voor de vorming van O_3 . In de atmosfeer stelt er zich altijd een chemisch evenwicht in tussen die pollutanten. NO is kortlevend in de atmosfeer, waardoor er dus vooral ozon afgebroken wordt op plaatsen waar veel NO uitgestoten wordt. Tijdens die reactie wordt NO_2 gevormd, dat een langere levensduur in de atmosfeer heeft. Die ozonvormende stof kan dus over langere afstanden getransporteerd worden, om dan ozon te vormen op verderafgelegen plaatsen. Dat is de reden waarom de ozonconcentraties over het algemeen hoger zijn in landelijke gebieden dan in een stedelijke omgeving met veel NO_x -bronnen.

Door zijn sterk oxiderend vermogen kan ozon schadelijke effecten hebben op mensen, dieren, planten en materialen. Blootstelling aan hoge ozonconcentraties kan zorgen voor acute gezondheidsklachten zoals irritaties aan de ogen, neus en keel, prikkelende hoest en overgevoeligheid van de longen. Iedereen (ook gezonde mensen!) die in de buitenlucht inspanningen levert, ondervindt bij hoge ozonwaarden een longfunctievermindering en loopt het risico van ontstekingsreacties aan de luchtwegen. Het effect van ozon is zeer verschillend per persoon en ook mensen zonder luchtwegaandoeningen kunnen extra gevoelig reageren op ozon. Personen met longproblemen en mensen die buitenshuis langdurige fysieke inspanningen leveren kunnen het meest hinder ondervinden, maar door de al verminderde longwerking lopen mensen met longaandoeningen het meeste risico. Eventuele gezondheidsklachten kunnen worden vermeden of verminderd door niet te sporten of geen zware fysieke inspanningen te doen in de buitenlucht tussen 12 u en 22 u of door binnen te blijven. Binnenshuis liggen de ozonconcentraties namelijk gemiddeld de helft lager dan in de buitenlucht.

Het effect van langdurige blootstelling aan lage ozonconcentraties is minder bekend. Een studie heeft wel het oorzakelijk verband aangetoond tussen de chronische blootstelling aan ozonverontreiniging en sterfte door longaandoeningen (Jerret et al, 2009).

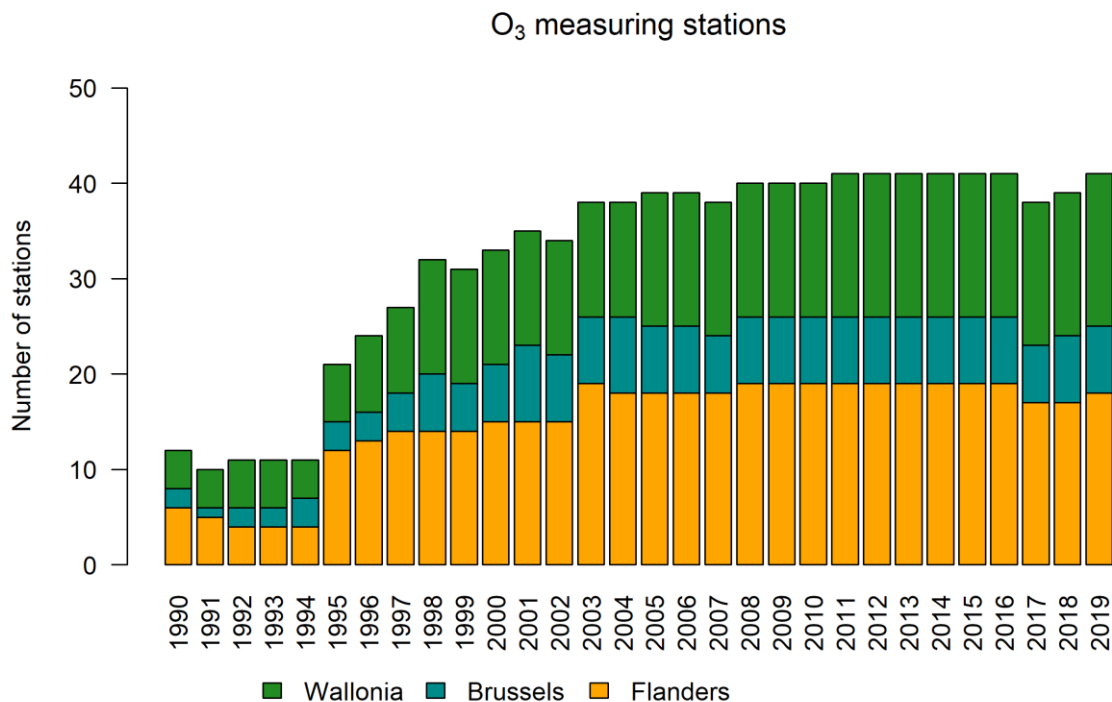
Ozon brengt ook schade toe aan planten. Zichtbare effecten zijn spikkels of verbleking van het blad. Onzichtbare effecten zijn verminderde weerstand en aantasting van de cellen. Daardoor gaat er meer energie naar het herstellen van plantweefsel, ten nadele van de groei. Voor gewassen leidt dat tot opbrengstvermindering, voor bossen tot minder biomassa-productie en een vermindering van de biodiversiteit. Chronische blootstelling aan lagere ozonconcentraties heeft een grotere impact op vegetatie dan acute blootstelling aan hoge concentraties. Langdurige blootstelling aan ozon zorgt ook voor de verwerking van materialen zoals rubber en kunststoffen.

De impact van ozon beperkt zich niet tot de schadelijke effecten voor de volksgezondheid, vegetatie of materialen. Na koolstofdioxide en methaan is ozon het belangrijkste antropogene broeikasgas. Indirect draagt ozon nog sterker bij tot het broeikas-effect doordat de schade aan de vegetatie leidt tot minder opname van CO_2 .

De ozonproblematiek is een mondiale problematiek en vereist een globale aanpak. Kortetermijnmaatregelen zoals snelheidsbeperkingen tijdens ozonsmog hebben in onze regio geen effect omdat een daling van de NO_x-emissies in eerste instantie leidt tot een afname van de ozonafbraak met net hogere ozonconcentraties tot gevolg. Om een effectieve daling van de ozonconcentraties te realiseren, zijn duurzame maatregelen nodig op Europese en zelfs mondiale schaal die de emissies van VOC, NO_x en methaan drastisch naar beneden halen (strengere emissienormen, schonere brandstoffen, minder verkeer, ...)

5.1 Ozonmeetstations

Figuur 39 toont de evolutie van het aantal meetstations waar ozon gemeten wordt. De stations omvatten zowel de telemetrische stations als de stations die gebruikt worden in specifieke studies. Het aantal ozonmeetstations is gestegen van 12 in 1990 tot 41 in 2011 en is niet gewijzigd tot 2016. In 2019 waren er opnieuw 41 meetstations in België. Omdat het aantal meetstations initieel aanzienlijk lager lag dan in latere jaren is de onzekerheid van de geïnterpoleerde jaargemiddelden groter in die beginjaren.



Figuur 39: Evolutie van het aantal O₃-meetstations in België.

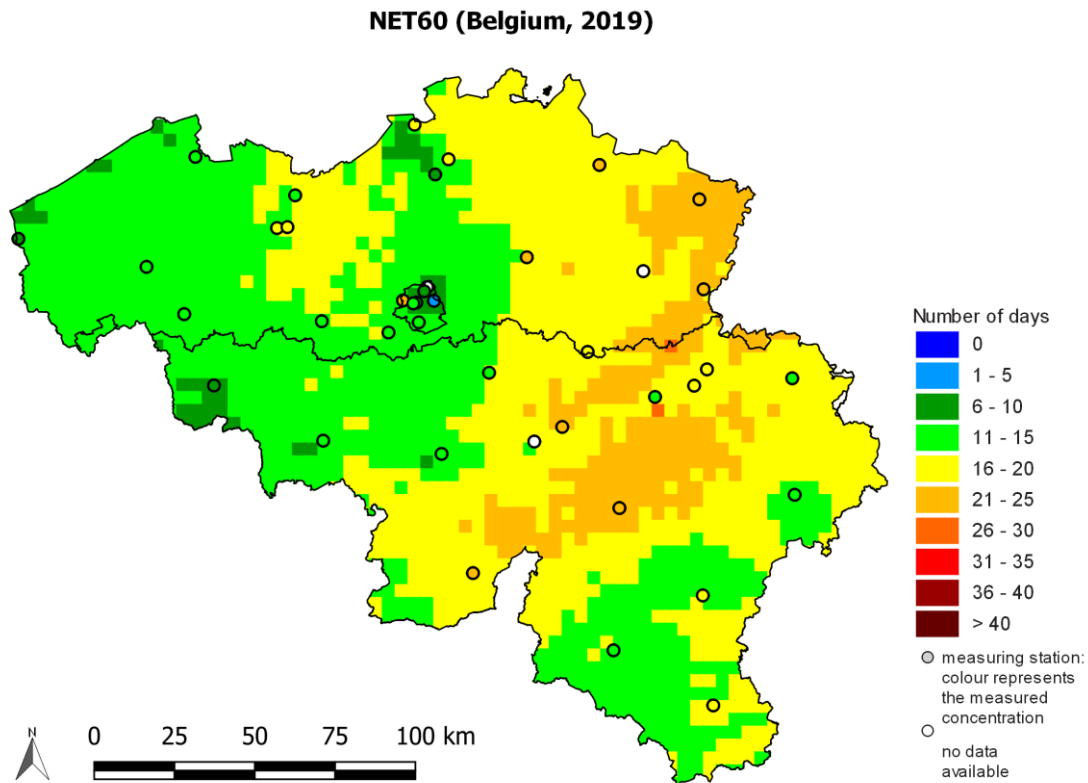
5.2 Ozon en impact op de gezondheid

5.2.1 NET60

De Europese streefwaarde voor de bescherming van de bevolking is gebaseerd op de dagelijkse hoogste 8-uurgemiddelde ozonconcentratie. Gemiddeld over 3 jaar, mag die dagelijkse hoogste 8-uurgemiddelde waarde niet meer dan 25 keer per jaar hoger zijn dan 120 µg/m³. Die Europese streefwaarde is een middellangetermijndoelstelling (MLTD) en geldt vanaf 2010 (gemiddelde 2010-2012). De langetermijndoelstelling (LTD) is geen enkele dag meer met hoogste 8-uurgemiddelden boven 120

$\mu\text{g}/\text{m}^3$. Het aantal dagen per jaar waarop het hoogste 8-uurgemiddelde $120 \mu\text{g}/\text{m}^3$ overschrijdt, wordt de NET60-indicator genoemd⁷.

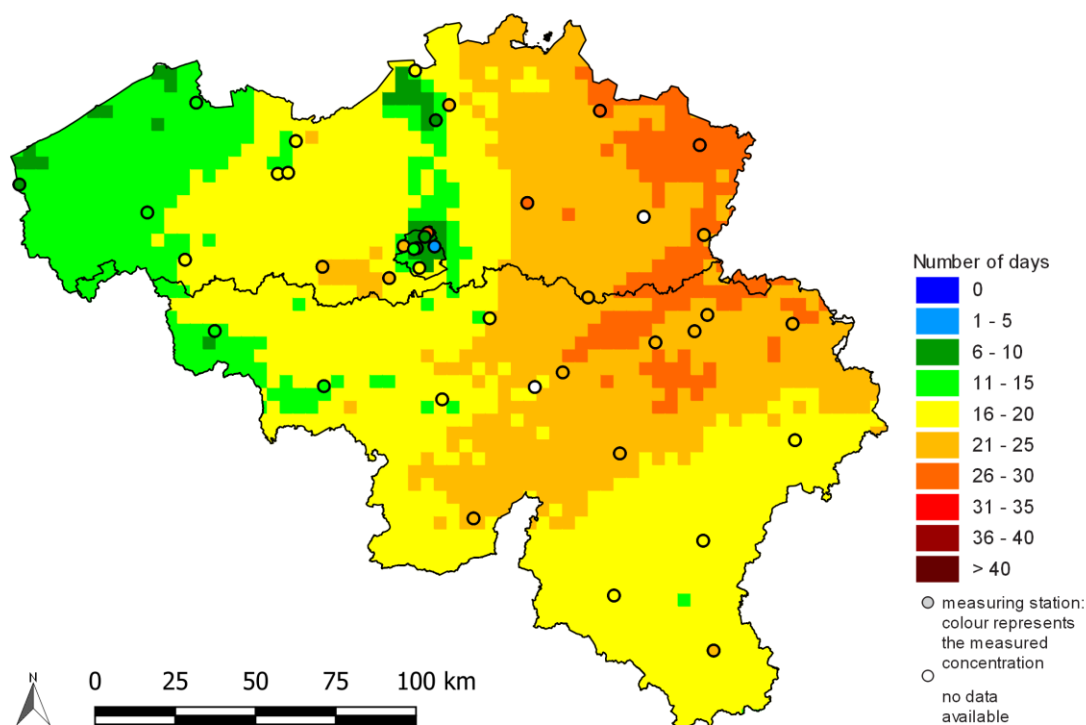
In 2019 is de hoogste NET60-waarde die werd waargenomen in België 27 dagen. De hoogste waarden deed zich voor in het oosten van Vlaanderen, in de omgeving van Luik en centraal in Wallonië. (zie Figuur 40). Ondanks het relatief gunstige ozonjaar 2017 wordt het 3-jaargemiddelde onder 25 dagen, waaraan volgens de Europese streefwaarde moet worden getoetst, op verschillende plaatsen overschreden (Figuur 41). De langetermijndoelstelling, namelijk geen enkele overschrijdingsdag meer, werd nergens in België bereikt.



Figuur 40: Ruimtelijke spreiding van het aantal dagen met hoogste 8-uurgemiddelde ozonconcentratie $> 120 \mu\text{g}/\text{m}^3$ in 2019. 'No data available' betekent dat de data niet voldoen aan de criteria uit richtlijn 2008/50/EG annex VII voor het aggregeren van de meetgegevens. Alle data werden berekend op basis van de RIO-interpolatietechniek.

⁷ NET60: Number of Exceedances above a Threshold of 60 ppb ($=120 \mu\text{g}/\text{m}^3$).

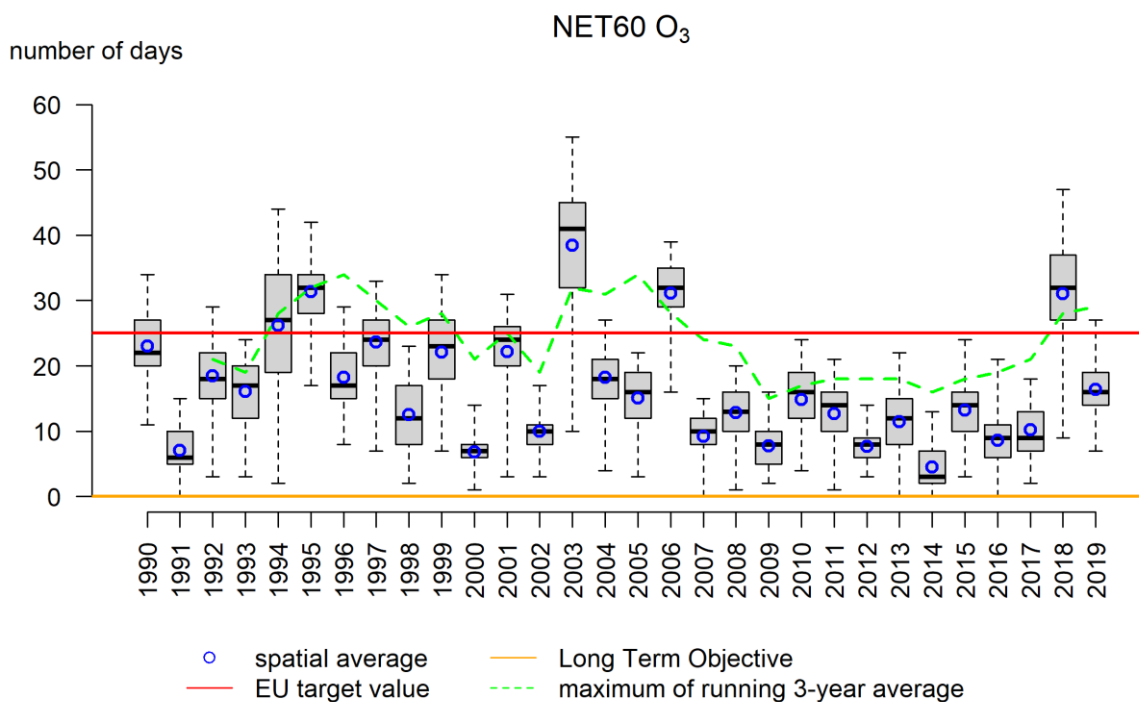
NET60 (Belgium, 2017-2019)



Figuur 41: Ruimtelijke spreiding van aantal dagen met hoogste 8-uurgemiddelde > 120 µg/m³, gemiddeld over 2017, 2018 en 2019. ‘No data available’ betekent dat de data niet voldoen aan de criteria uit richtlijn 2008/50/EG annex VII voor het aggregeren van de meetgegevens. Alle data werden berekend op basis van de RIO-interpolatietechniek.

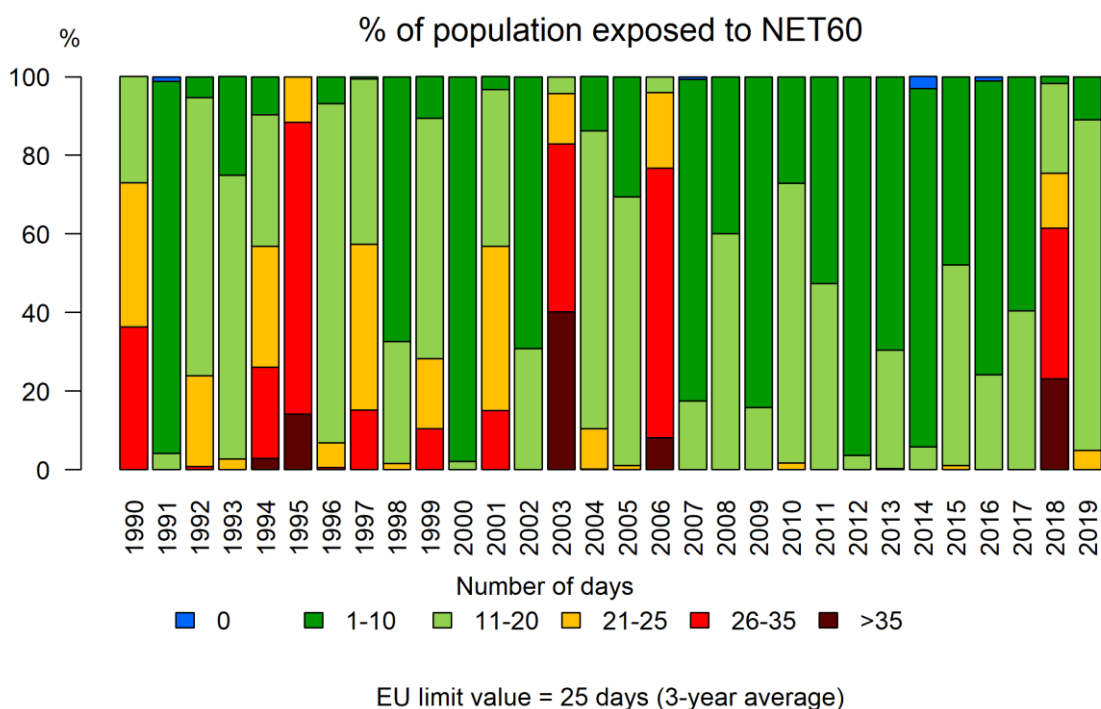
Figuur 40 en Figuur 41 tonen de ruimtelijke spreiding van het aantal overschrijdingsdagen respectievelijk in 2019 en gemiddeld over 2017, 2018 en 2019. Er is een duidelijke oost-westgradiënt zichtbaar. De hoogste waarden zijn voor de Kempen en de Oostkantons. Het maximum van 29 dagen per jaar, gemiddeld over drie jaar, vond plaats in het oosten van België op de grens tussen Wallonië en Vlaanderen. De minste overschrijdingsdagen komen voor in de stedelijke omgevingen en aan de kust. Ten slotte bedraagt het ruimtelijk gemiddelde van de NET60 (gemiddeld over 2017-2019) in België 19 dagen.

De evolutie van het aantal dagen met de hoogste 8-uurgemiddelde ozonconcentratie boven 120 µg/m³ vertoont een sterke variatie van jaar tot jaar, afhankelijk van de weersomstandigheden tijdens de zomer (zie Figuur 42). Er is geen duidelijke trend zichtbaar in het ruimtelijke gemiddelde. Het meest ongunstige ozonjaar sinds 1990 was 2003, met een maximum van 60 overschrijdingsdagen in België. Ook 2018 behoorde tot de top 5 van ongunstige ozonjaren sinds 1990, waardoor het 3-jaargemiddelde de Europese streefwaarde van 25 dagen nog steeds overschrijft.



Figuur 42: Boxplots van aantal dagen met hoogste 8-uurgemiddelde ozonconcentraties > 120 µg/m³ in België in de periode 1990-2019. Het ruimtelijke gemiddelde wordt weergegeven door de blauwe cirkels. De groene stippellijn geeft het maximum van het 3-jaargemiddelde aantal overschrijdingsdagen in België weer. Alle data werden berekend op basis van de RIO-interpolatietechniek.

Uit de evolutie van het percentage van de bevolking dat blootgesteld wordt aan dagelijkse hoogste 8-uurgemiddelde ozonconcentraties boven 120 µg/m³ is het duidelijk dat 2018 een zeer ongunstig ozonjaar was. Ten opzichte van 2007-2017 werden in 2019 grotere delen van de bevolking vaker aan hoge ozonconcentraties blootgesteld (zie Figuur 43). Doch, in 2019 werd de grens van 25 dagen blootstelling aan hoogste 8-uurgemiddelde ozonconcentraties groter dan 120 µg/m³ slechts voor 0,03 % van de bevolking overschreden. De jaren 1990, 1995, 2003 en 2006 waren zeer ongunstig voor de blootstelling van de bevolking aan te hoge ozonconcentraties. In die jaren werd het grootste deel van de bevolking (meer dan 80 %) op meer dan 25 dagen blootgesteld aan hoogste 8-uurgemiddelde concentraties > 120 µg/m³.



Figuur 43: Evolutie van blootstelling van de bevolking op aantal dagen met hoogste 8-uurgemiddelde > 120 $\mu\text{g}/\text{m}^3$ op basis van de RIO-interpolatietechniek.

De WGO legt de drempel waaronder geen significante gezondheidseffecten optreden op 100 $\mu\text{g}/\text{m}^3$ als hoogste 8-uurgemiddelde ozonconcentratie van een enkele dag. Aangezien de WGO-advieswaarde strenger is dan de Europese langetermijndoelstelling en die laatste nergens in België gerespecteerd werd in 2019, werd ook de WGO-advieswaarde overal overschreden in België.

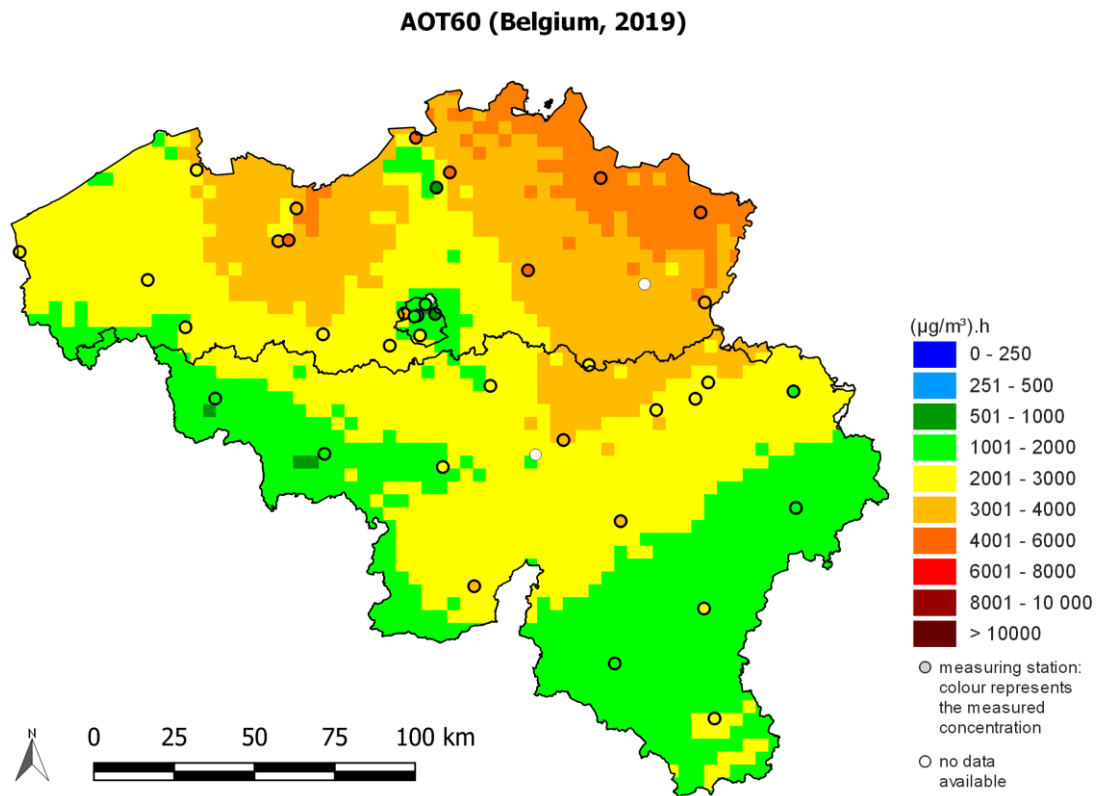
5.2.2 AOT60

Een andere indicator om de gevolgen van ozon voor de bevolking te schatten is de AOT60⁸. De AOT60 telt het verschil op tussen 120 $\mu\text{g}/\text{m}^3$ en de concentraties boven deze drempel van de dagelijkse hoogste 8-uurgemiddelde concentraties. In tegenstelling tot de NET60-indicator, houdt de AOT60 rekening met de grootte en de duur van de overschrijding en men kan de AOT60 dus zien als een soort van “overdosis” aan ozon. In de voorbereiding van de eerste Ozonrichtlijn (2002/3/EG) en van de Nationale Emissieplafondsrichtlijn, werd 5800 ($\mu\text{g}/\text{m}^3$).uren vooropgesteld als middellangetermijndoelstelling (MLTD) voor 2010, wat ongeveer overeenkomt met een NET60 gelijk aan 25 dagen. De langetermijndoelstelling is 0 ($\mu\text{g}/\text{m}^3$).uren. De overlastindicator AOT60 werd niet behouden in de huidige Europese Luchtkwaliteitsrichtlijn, maar is een betere indicator om de overlast voor de bevolking te kwantificeren omdat ook rekening gehouden wordt met de intensiteit van de overschrijding.

Figuur 44 toont de ruimtelijke spreiding over België van de AOT60 in 2019. Het is duidelijk dat de ozonoverlast in 2019 zich vooral in Oost-Vlaanderen en de Kempen voordeed. De hoogste waarde, 4568

⁸ AOT60: Accumulated Ozone Exposure above a Threshold of 60 ppb (=120 $\mu\text{g}/\text{m}^3$) by the maximum daily 8-hour mean.

($\mu\text{g}/\text{m}^3$).u, werd in Limburg bereikt. De langetermijndoelstelling van 0 ($\mu\text{g}/\text{m}^3$).u werd in 2017 nergens in België gehaald.



Figuur 44: Ruimtelijke spreiding van de ozonoverlast (AOT60) in 2019. ‘No data available’ betekent dat de data niet voldoen aan de criteria uit richtlijn 2008/50/EG annex VII voor het aggregeren van de meetgegevens. Alle data werden berekend op basis van de RIO-interpolatietechniek.

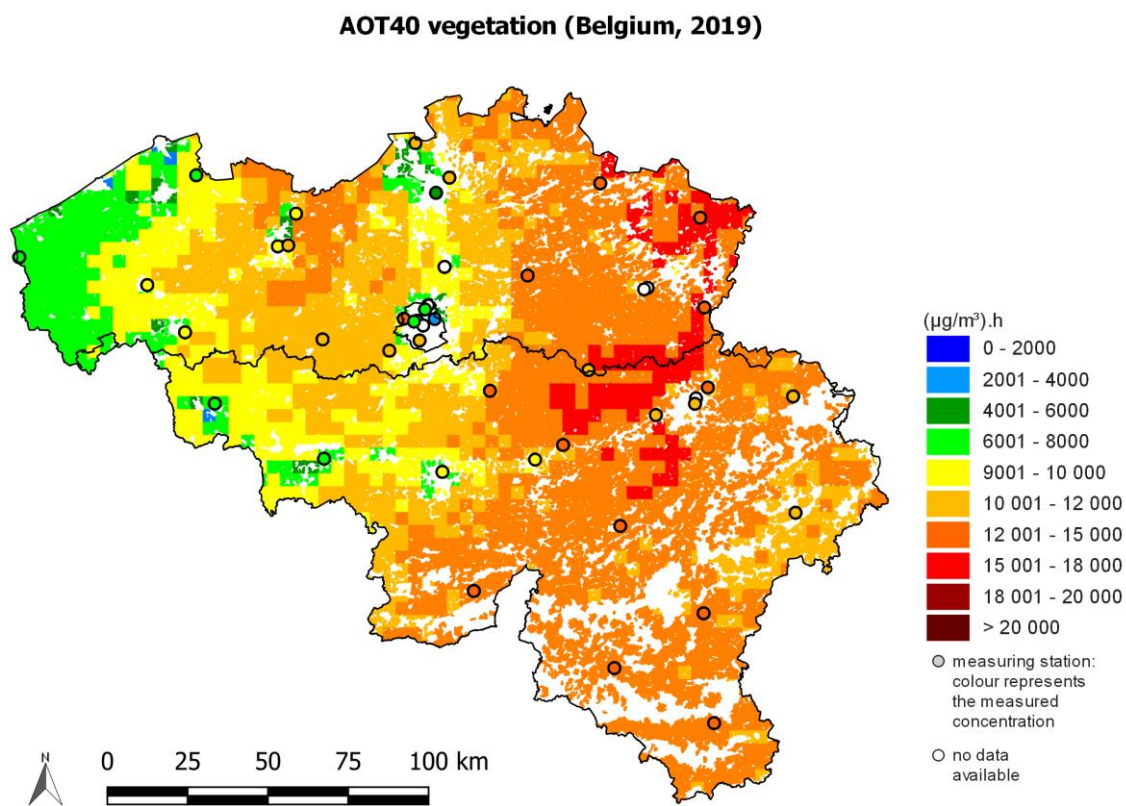
5.3 Ozon en vegetatie

Voor vegetatie is de blootstelling aan ozon op langere termijn belangrijker dan acute blootstelling. Het kwantificeren van de mogelijke schade aan planten door ozonverontreiniging is moeilijk. Ozon brengt immers voornamelijk schade toe wanneer het wordt opgenomen door de plant. De ozonconcentraties in de lucht zijn echter geen directe maat voor de opname van ozon in de plant. Veel andere parameters spelen daarbij een rol: de vochtigheidsgraad, de bodemtoestand, de groeifase van de plant enzovoort. De Europese Unie heeft ter bescherming van de vegetatie een overlastindicator gedefinieerd. De AOT40 voor vegetatie telt alle overschotten boven $80 \mu\text{g}/\text{m}^3$ op van alle uurwaarden tussen 8 u en 20 u MET (Midden Europese Tijd = Universele Tijd (UT) + 1) in de maanden mei, juni, juli (= groeiseizoen). Die indicator is bedoeld ter bescherming van de gewassen en (semi-)natuurlijke vegetatie. Aanvullend is er ook de overlastindicator ter bescherming van de bossen. De AOT40 voor bossen wordt op dezelfde manier berekend, maar loopt over de periode april-september. Die indicatoren kwantificeren enkel de blootstelling aan ozon en dus niet de daadwerkelijke ozonopname (en dus schade) van de vegetatie.

5.3.1 AOT40 voor vegetatie

In 2019 lag de AOT40 voor vegetatie onder de Europese streefwaarde van 18 000 ($\mu\text{g}/\text{m}^3$).u. Het vegetatiegewogen⁹ gemiddelde over België bedroeg 11 581 ($\mu\text{g}/\text{m}^3$).u. De maximumwaarde 17 128 ($\mu\text{g}/\text{m}^3$).u werd berekend voor het oosten van het land. De vegetatie in West-Vlaanderen ondervond het minst overlast. 99 % van de oppervlakte met vegetatie (excl. bossen) in België werd in 2019 blootgesteld aan waarden boven de langetermijndoelstelling van 6000 ($\mu\text{g}/\text{m}^3$).u.

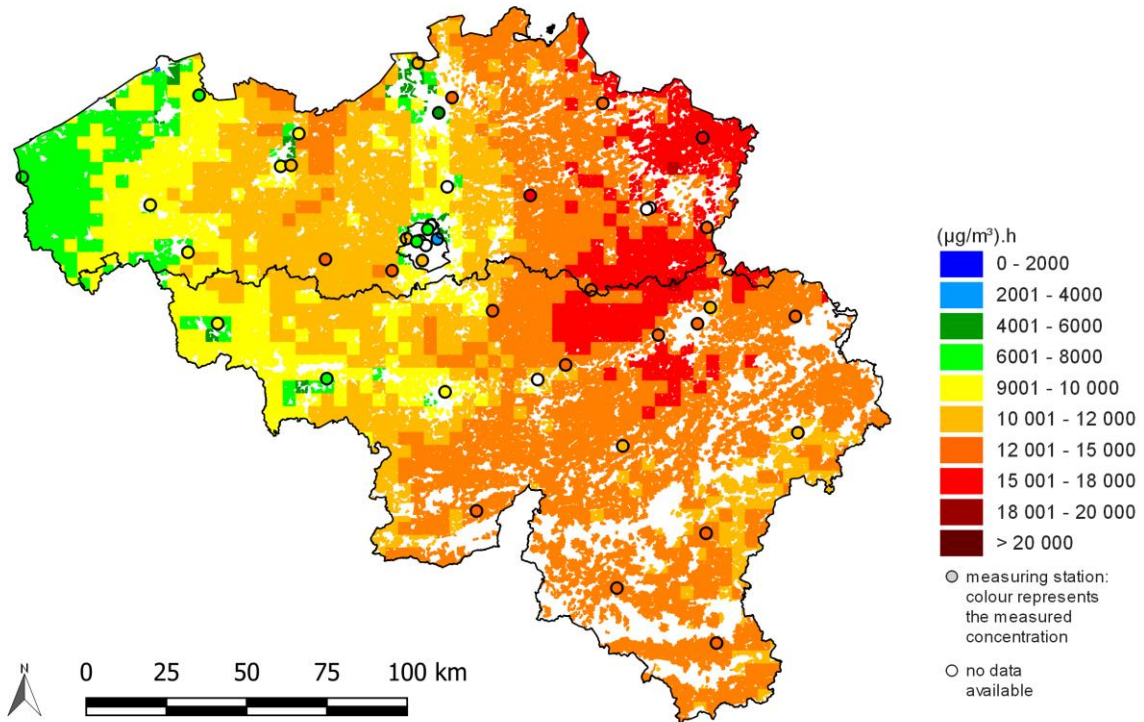
Figuur 45 en Figuur 46 tonen de ruimtelijke spreiding van de overlast voor de vegetatie, respectievelijk in 2019 en het 5-jaargemiddelde in de periode 2015-2019. Op de kaarten zijn enkel de gebieden met vegetatie (exclusief bossen) aangeduid. De ruimtelijke spreiding is soortgelijk aan die van de overlast voor de bevolking. De hoogste overlast op basis van het 5-jaargemiddelde, wordt aangetroffen in het oosten van het land. De Europese streefwaarde van 18 000 ($\mu\text{g}/\text{m}^3$).u gemiddeld over 5 jaar wordt voor 99.8 % van de oppervlakte met vegetatie (excl. bossen) gehaald.



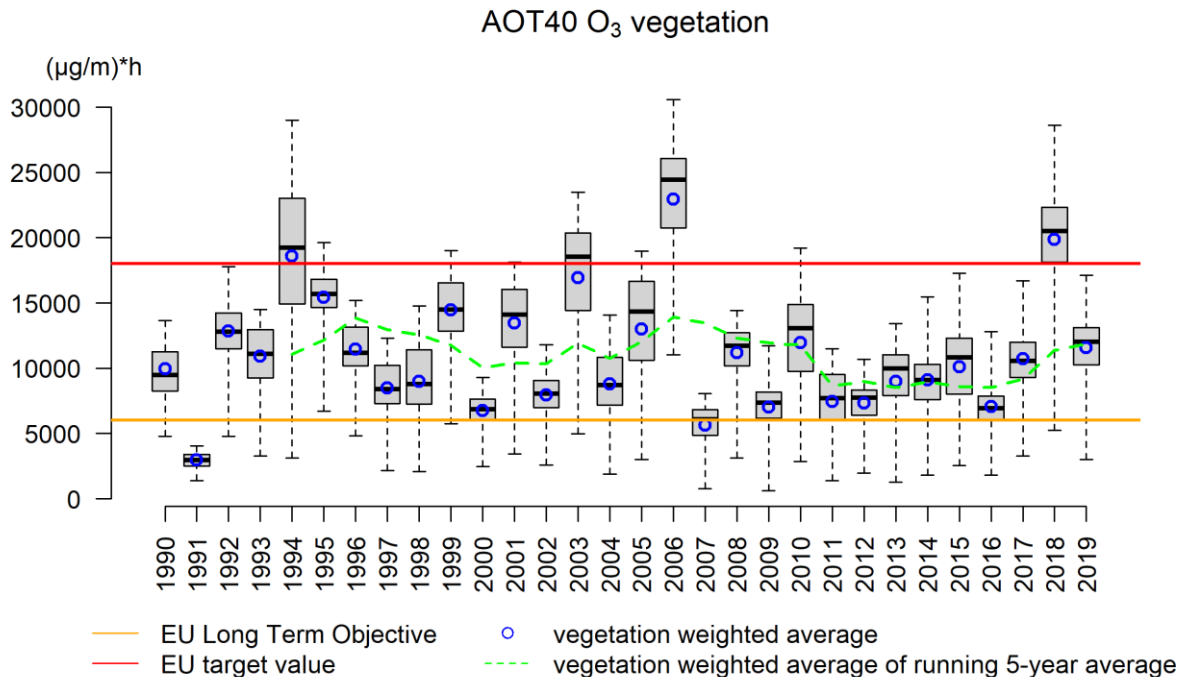
Figuur 45: Ruimtelijke spreiding van de overlast voor de vegetatie (AOT40 voor vegetatie) in 2019. ‘No data available’ betekent dat de data niet voldoen aan de criteria uit richtlijn 2008/50/EG annex VII voor het aggregeren van de meetgegevens. Alle data werden berekend op basis van de RIO-interpolatietechniek.

⁹ De AOT40-vegetatie waarde per gridcel wordt gewogen met de fractie van de vegetatie aanwezig in die gridcel. Op die manier wordt meer gewicht gegeven in het gemiddelde aan gridcellen met meer vegetatie.

AOT40 vegetation (Belgium, 2015-2019)



Figuur 46: Ruimtelijke spreiding van de overlast voor de vegetatie (AOT40 voor vegetatie), 5-jaargemiddelde 2015-2019. 'No data available' betekent dat de data niet voldoen aan de criteria uit richtlijn 2008/50/EG annex VII voor het aggregeren van de meetgegevens. Alle data werden berekend op basis van de RIO-interpolatietechniek.



Figuur 47: Boxplots van de overlast voor de vegetatie (AOT40) in België (1991-2019). De vegetatiegewogen gemiddelden voor België worden weergegeven door de blauwe cirkels. De groene stippellijn geeft het vegetatiegewogen gemiddelde weer van de 5-jaargemiddelde AOT40. Alle data werden berekend op basis van de RIO-interpolatietechniek.

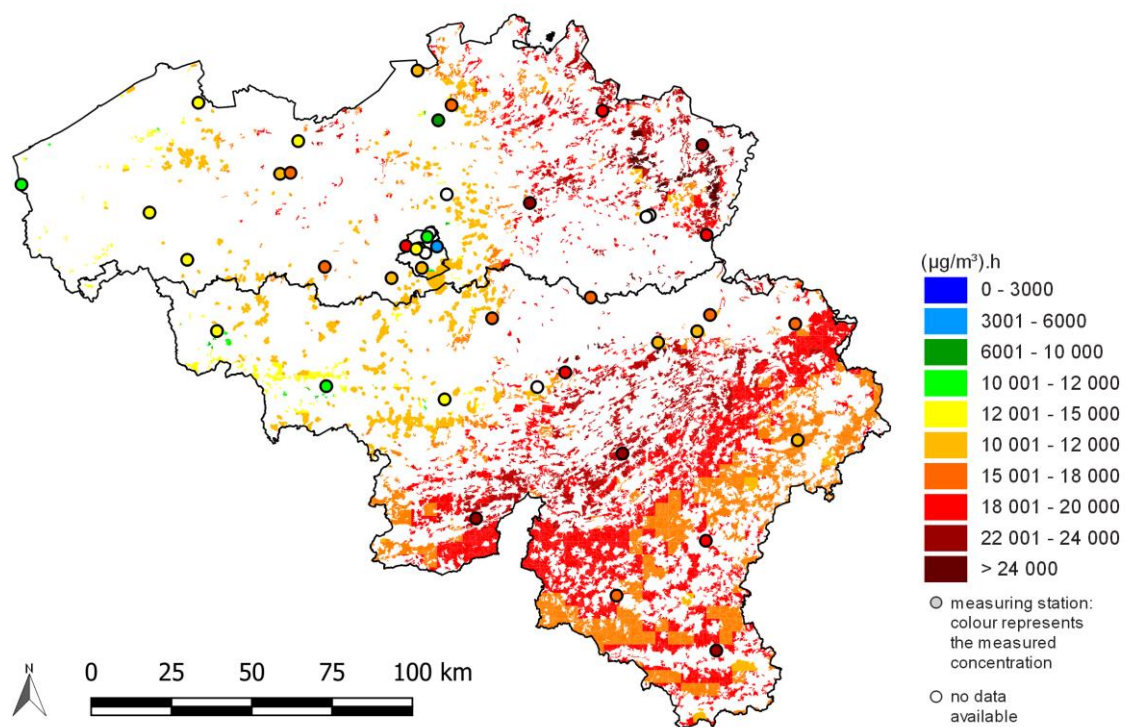
Figuur 47 toont de evolutie van de ozonoverlast voor de vegetatie in België sinds 1990. De jaren 1995, 2003, 2006 en 2018 springen meteen in het oog als ongunstige ozonjaren voor de vegetatie. Gedurende deze jaren wordt de Europese streefwaarde van 18 000 (µg/m³).u overschreden. De andere jaren blijft de gemiddelde ozonoverlast voor de vegetatie in België, gemiddeld over 5 jaar, onder de Europese streefwaarde van 18 000 (µg/m³).u. De langetermijndoelstelling van 6000 (µg/m³).u wordt echter elk jaar in grote delen van België overschreden.

5.3.2 AOT40 voor bossen

De overlast voor de bossen wordt op dezelfde manier berekend als de overlast voor de vegetatie, met het verschil dat er een langere periode in rekening gebracht wordt, nl. van april tot september. Voor de overlast van de bossen zijn er in de Europese luchtkwaliteitsrichtlijn 2008/50 geen doelstellingen opgenomen. In de voorafgaande ozonrichtlijn werd wel een referentiewaarde van 20 000 (µg/m³).u vooropgesteld. Die referentiewaarde is strenger dan de streefwaarde van 18 000 (µg/m³).u ter bescherming van de vegetatie. In de laatste Mapping Manual van het UNECE werd ook een kritische waarde van 10 000 (µg/m³).u gehanteerd. Dat is een niveau waarboven directe ongunstige effecten kunnen worden vastgesteld.

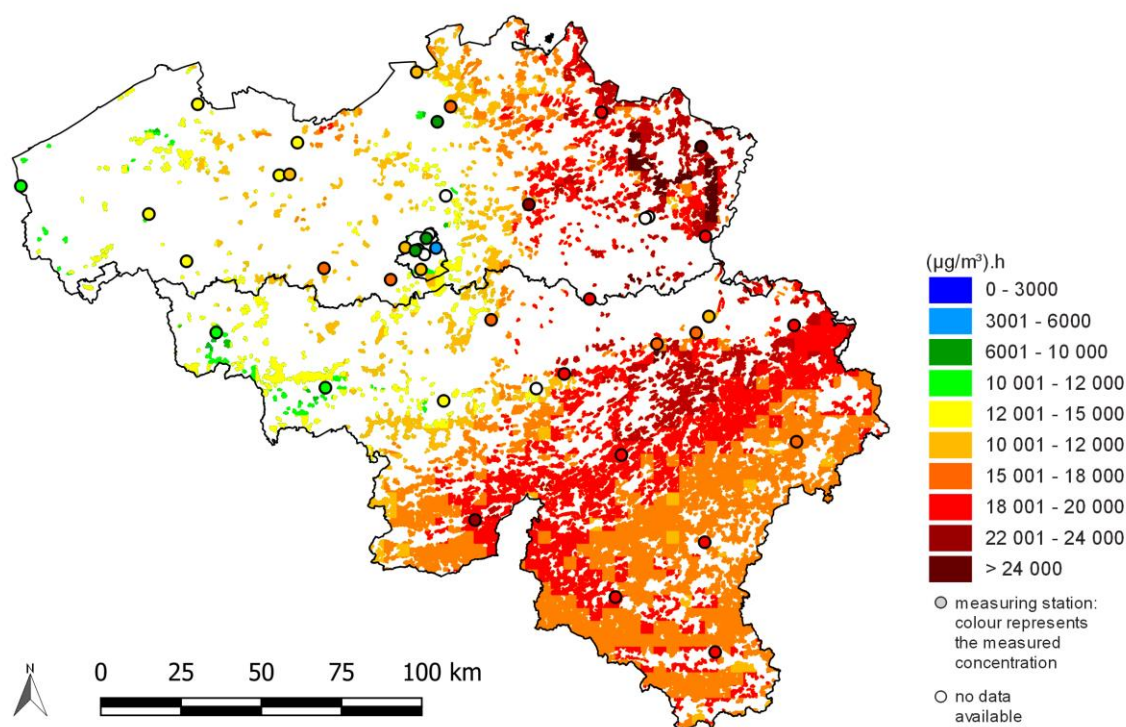
De grootste overlast voor bossen was te vinden in het oostelijke en zuidelijke deel van het land (Figuur 48). Een groot deel van de Belgische bossen (60 %) ondervond een overlast hoger dan de referentiewaarde van 20 000 (µg/m³).u. In 100 % van de bosbestanden lag de ozonoverlast boven het kritische UNECE-niveau van 10 000 (µg/m³).u.

AOT40 forest (Belgium, 2019)



Figuur 48: Ruimtelijke spreiding van de ozonoverlast voor bossen (AOT40 voor bossen), 2019. ‘No data available’ betekent dat de data niet voldoen aan de criteria uit richtlijn 2008/50/EG annex VII voor het aggregeren van de meetgegevens. Alle data werden berekend op basis van de RIO-interpolatietechniek.

AOT40 forest (Belgium, 2015-2019)



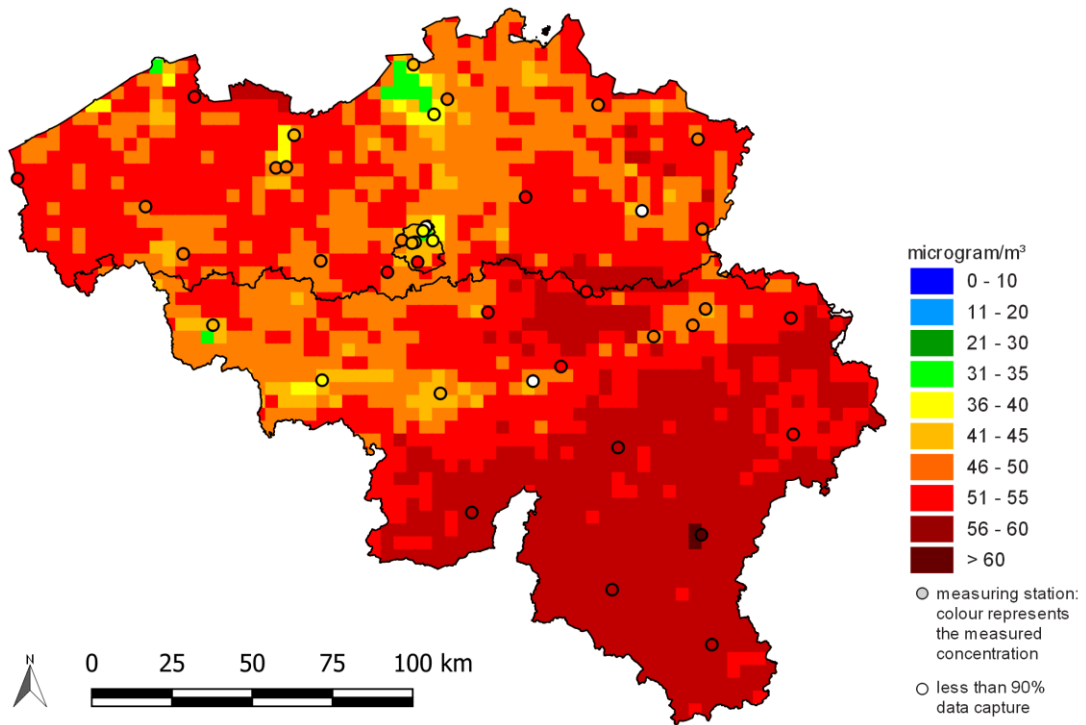
Figuur 49: Ruimtelijke spreiding van de ozonoverlast voor bossen (AOT40 voor bossen), 5-jaargemiddelde 2015 – 2019 ‘No data available’ betekent dat de data niet voldoen aan de criteria uit 2008/50/EG annex VII voor het aggregeren van de meetgegevens. Alle data werden berekend op basis van de RIO-interpolatietechniek.

5.4 O₃-jaargemiddelde

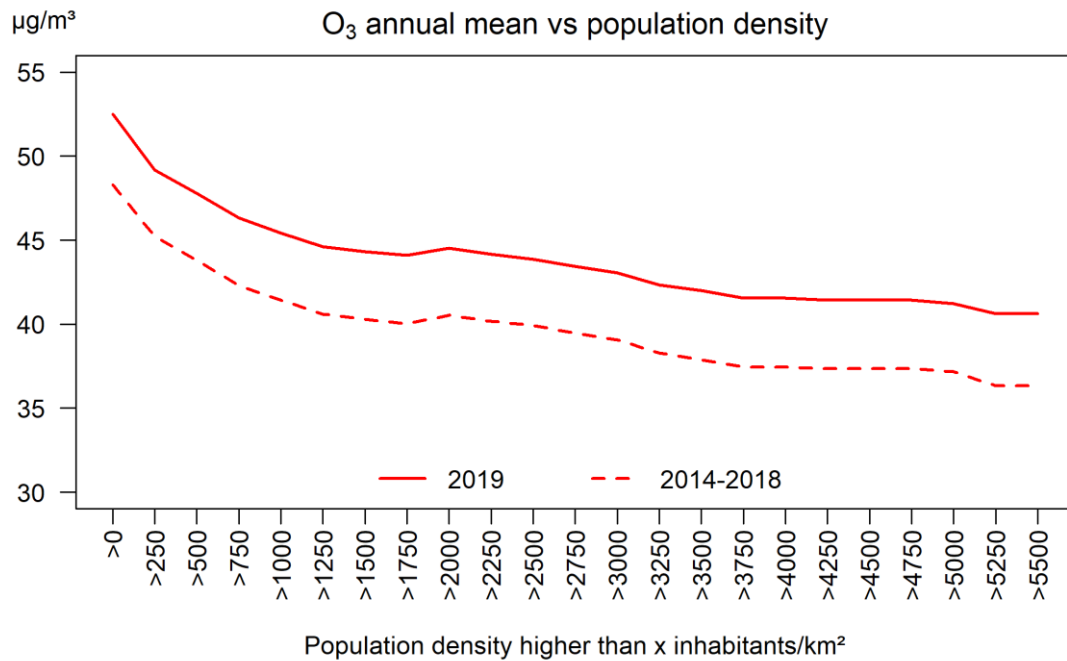
De jaargemiddelde ozonconcentratie is een maat voor de achtergrondconcentratie in België. Figuur 50 toont de ruimtelijke spreiding van de jaargemiddelde ozonconcentraties in 2019. Voor de onzekerheid op de kaart verwijzen we naar Bijlage D. Het is duidelijk dat de ozonwaarden over het algemeen hoger liggen in het landelijke Wallonië dan in Vlaanderen en het stedelijke Brussel. Dat komt omdat er in de laatste twee regio's meer ozon wordt afgebroken door NO als gevolg van de hogere NO_x-uitstoot. Verder windafwaarts van de NO_x-emissies wordt dan weer minder ozon afgebroken. De relatie tussen de jaargemiddelde ozonconcentraties en de bevolkingsdichtheid is dus omgekeerd aan die voor PM of NO₂. In de gridcellen met de hoogste bevolkingsdichtheid zijn de jaargemiddelde ozonconcentraties het laagst. Een vergelijking tussen 2019 en de periode 2014-2018 levert een gelijkaardig verloop met hogere jaargemiddeldes voor 2019.

De jaargemiddelde concentraties voor Brussel, Vlaanderen en Wallonië in 2019 bedragen respectievelijk 43.2 µg/m³, 50.4 µg/m³ en 54.3 µg/m³. Het gemiddelde in België is 52.5 µg/m³. De bevolkingsgewogen jaargemiddelde ozonconcentratie in België bedraagt 47.8 µg/m³.

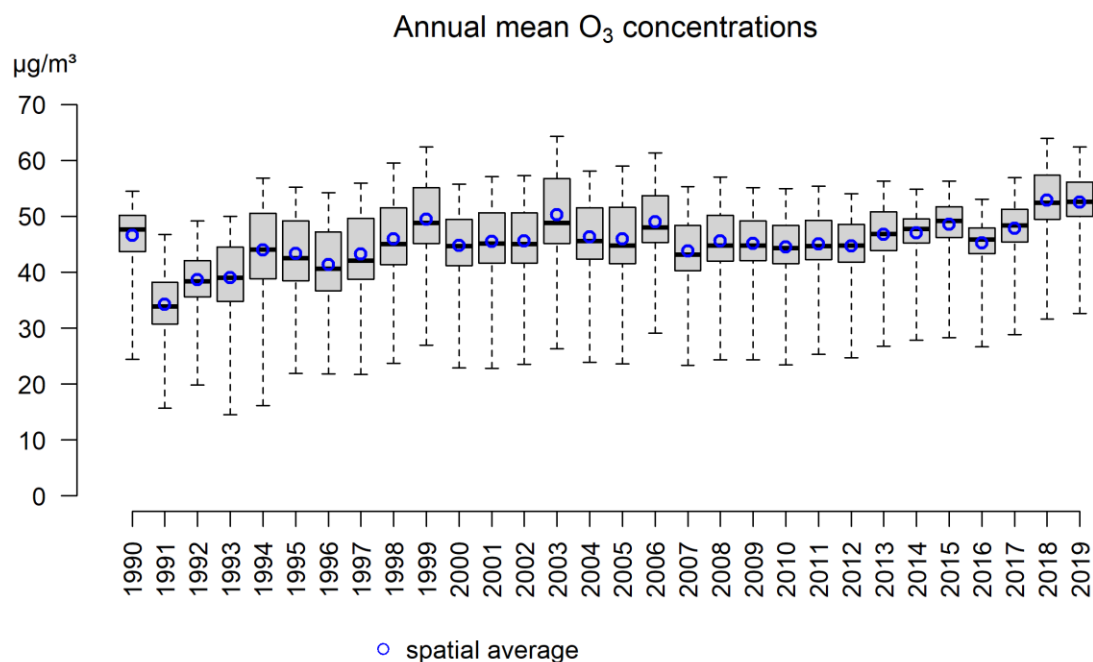
Annual mean O3 concentration (Belgium, 2019)



Figuur 50: Ruimtelijke spreiding van de O₃-jaargemiddelde concentraties in België, 2019. Alle data werden berekend op basis van de RIO-interpolatietechniek.

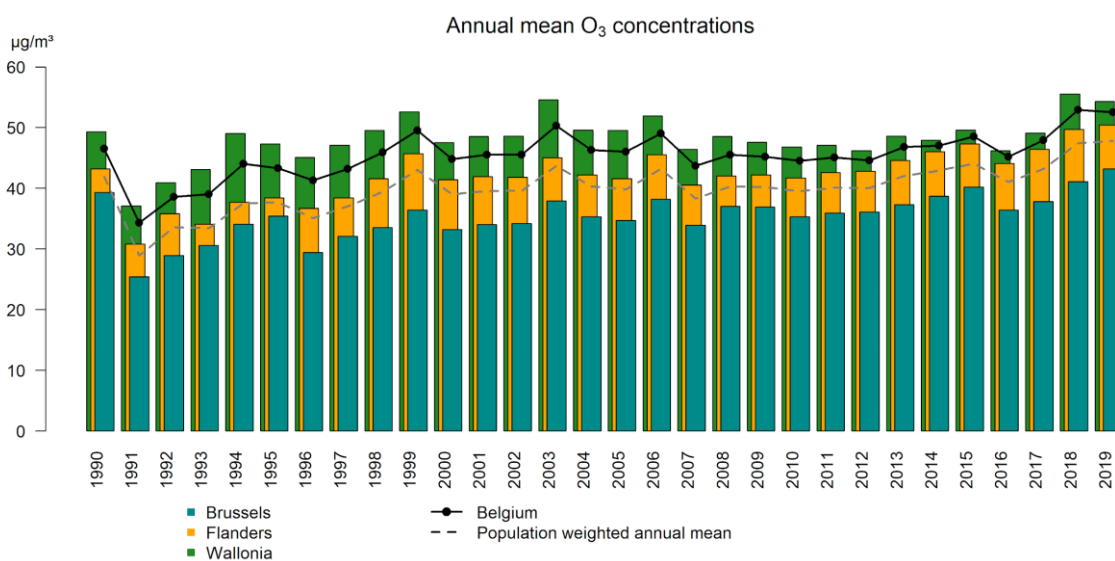


Figuur 51: Relatie tussen de geïnterpoleerde jaargemiddelde O₃-concentraties op basis van de RIO-interpolatietechniek en de bevolkingsdichtheid (inwoners/km²).



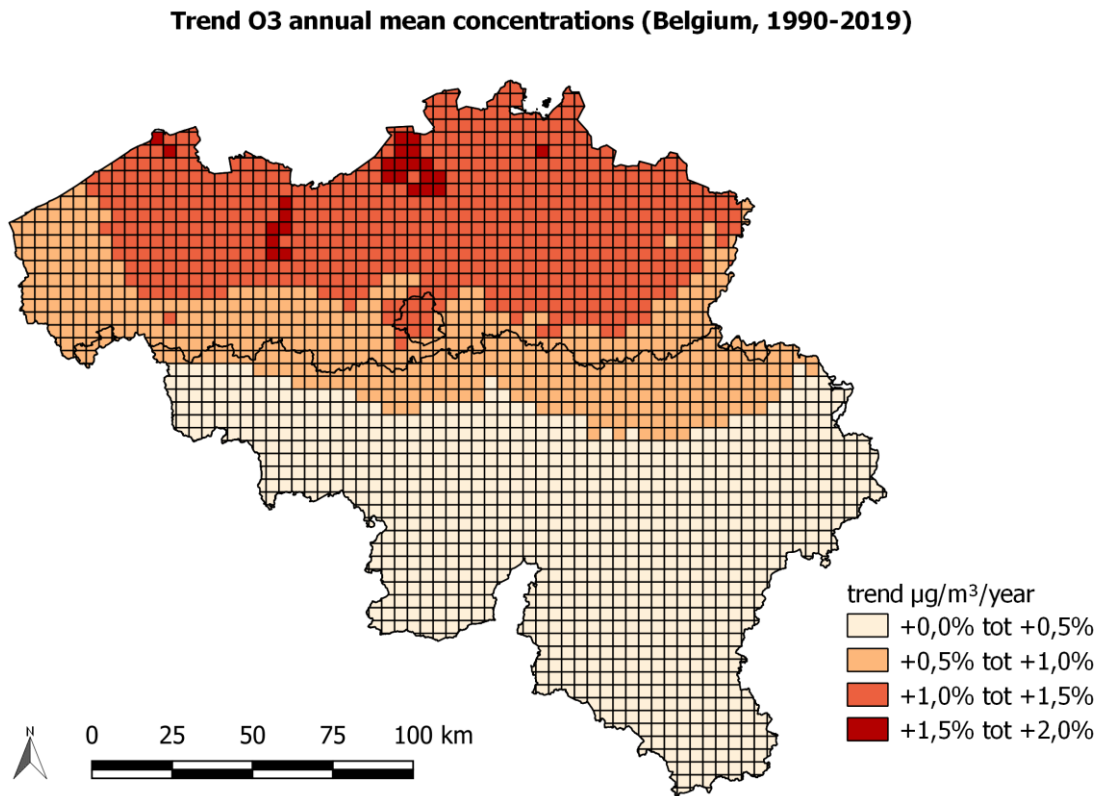
Figuur 52: Boxplot van jaargemiddelde O₃-concentraties over de periode 1990-2019. Het ruimtelijk gemiddelde wordt weergegeven door de blauwe cirkels. Alle data werden berekend op basis van de RIO-interpolatietechniek.

In Figuur 53 wordt de evolutie van de jaargemiddelden getoond voor België en de drie gewesten afzonderlijk. Tussen 1990 en 2000 is er een stijgende trend waarneembaar van de jaargemiddelde ozonconcentraties. Tussen 2000 en 2012 blijft het verloop eerder constant met gemiddelde waarden van 36 µg/m³, 42 µg/m³ en 49 µg/m³ respectievelijk in Brussel, Vlaanderen en Wallonië. Sinds 2013 is opnieuw een stijging waarneembaar.



Figuur 53: Evolutie van de jaargemiddelde ozonconcentratie in België en de drie gewesten op basis van de RIO-interpolatietechniek.

De ruimtelijke spreiding van de stijging in het O₃-jaargemiddelde over de periode 1990-2019 wordt weergegeven in Figuur 54. In Vlaanderen en Brussel zien we een stijgende trend, met toenames van 0,6 tot meer dan 1,5 %/jaar, terwijl in Wallonië de veranderingen beperkter zijn, met veranderingen van maximum 1 %/jaar in het het gewest.



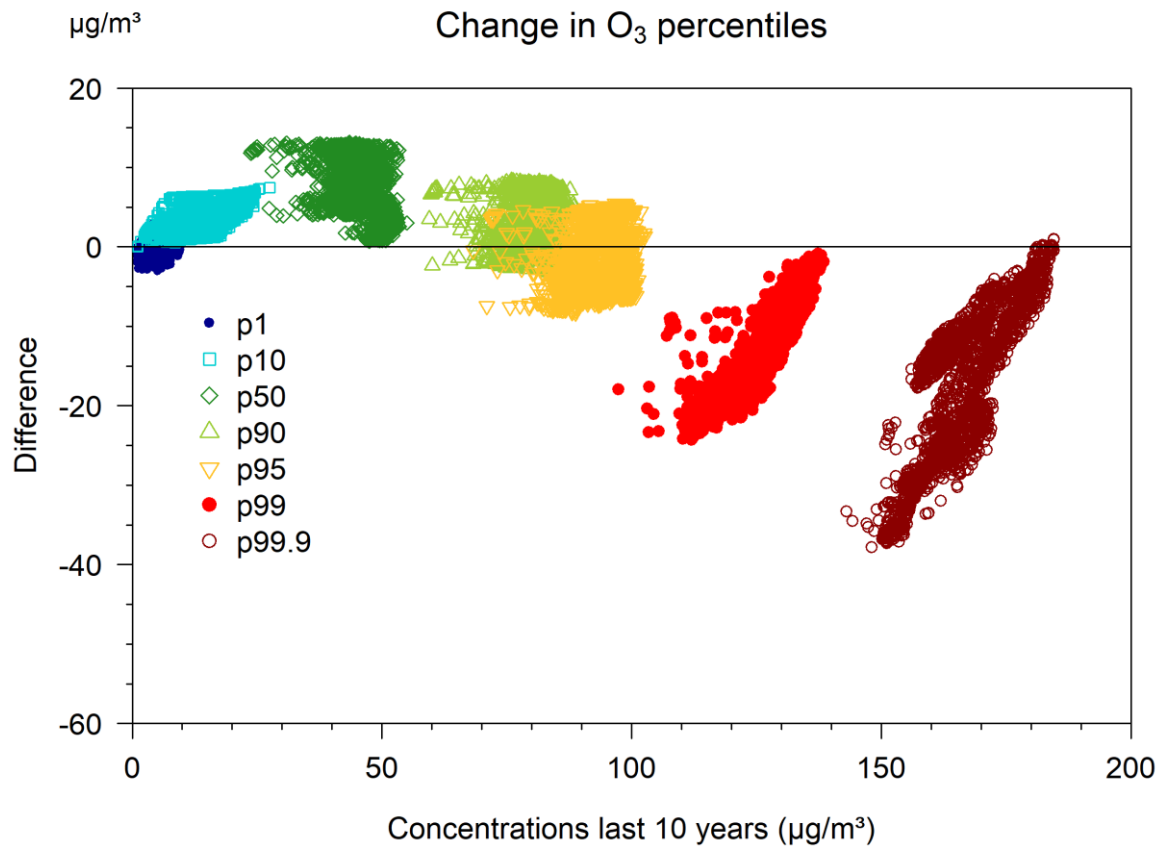
Figuur 54: Ruimtelijke trend in jaargemiddelde O₃-concentratie ($\mu\text{g}/\text{m}^3/\text{jaar}$) over de periode 1990-2019. De data voor de trendanalyse werden gegenereerd op basis van de RIO-interpolatietechniek.

5.5 Evolutie in O₃-concentratieklassen

Om de langetermijntrend van de ozonconcentraties na te gaan, is het belangrijk een onderscheid te maken in de verschillende concentratieklassen of percentielwaarden. Concentratieklassen rond 40-50 $\mu\text{g}/\text{m}^3$, die ongeveer overeenkomen met het 50^{ste} percentiel, zijn in België representatief voor de ozonachtergrondconcentratie. Piekoncentraties van rond en boven 180 $\mu\text{g}/\text{m}^3$ worden getoond door het 99,9^{ste} percentiel. De evolutie van beide percentielen kan heel verschillend zijn.

Om de langetermijntrend na te gaan, werd voor elke RIO-gridcel het 1^{ste}, 10^{de}, 50^{ste}, 90^{ste}, 95^{ste}, 99^{ste} en 99,9^{ste} percentiel berekend van alle uurgemiddelde ozonconcentraties voor de periodes 1990-1999 en 2010-2019. Vervolgens werd het verschil in de percentielen tussen die twee periodes berekend. Figuur 55 toont die verandering in functie van de percentielen in de periode 2010-2019. Daaruit blijkt duidelijk dat de ozonachtergrondconcentraties, weergegeven door het 50^{ste} en 90^{ste} percentiel, lichtjes gestegen zijn in de periode 2010-2019 t.o.v. de periode 1990-1999, tot meer dan 10 $\mu\text{g}/\text{m}^3$. De hogere ozonconcentraties echter, weergegeven door het 99^{ste} en 99,9^{ste} percentiel, zijn op heel wat plaatsen gedaald, tot zelfs -40 $\mu\text{g}/\text{m}^3$. De trend, een stijging van de lagere percentielen en een daling van de

hogere, is vergelijkbaar met de geobserveerde trends in het netwerk van het Europese Monitorings- en Evaluatieprogramma (EMEP; Torseth et al., 2012).



Figuur 55: Verandering in O₃-percentielen tussen de periode 1990-1999 en 2010-2019 in functie van de ozonconcentraties in de periode 2010-2019 voor alle RIO-gridcellen. De data (uurgemiddelde ozonconcentraties) werden gegenereerd op basis van de RIO-interpolatietechniek. De verschillende kleuren geven de verschillende percentielwaarden aan.

6 Zwaveldioxide

Zwaveldioxide (SO₂) is een kleurloos gas met een karakteristieke irriterende geur en smaak bij hoge concentraties (vanaf 1000 µg/m³). SO₂ wordt voornamelijk in de lucht uitgestoten bij de verbranding van zwavelhoudende fossiele brandstoffen zoals steenkool en aardolie. De belangrijkste bronnen van SO₂ zijn de industrie en raffinaderijen, gevolgd door gebouwenverwarming en verkeer. Een natuurlijke bron van SO₂ zijn vulkaanuitbarstingen.

SO₂ is schadelijk voor mens, dier en plant. Inademing van SO₂-concentraties kan al bij lage concentraties irritatie van de luchtwegen veroorzaken. Kortdurende blootstelling aan hoge concentraties leidt tot een verminderde longfunctie en ademhalingsproblemen, vooral bij astmapatiënten en mensen met longaandoeningen.

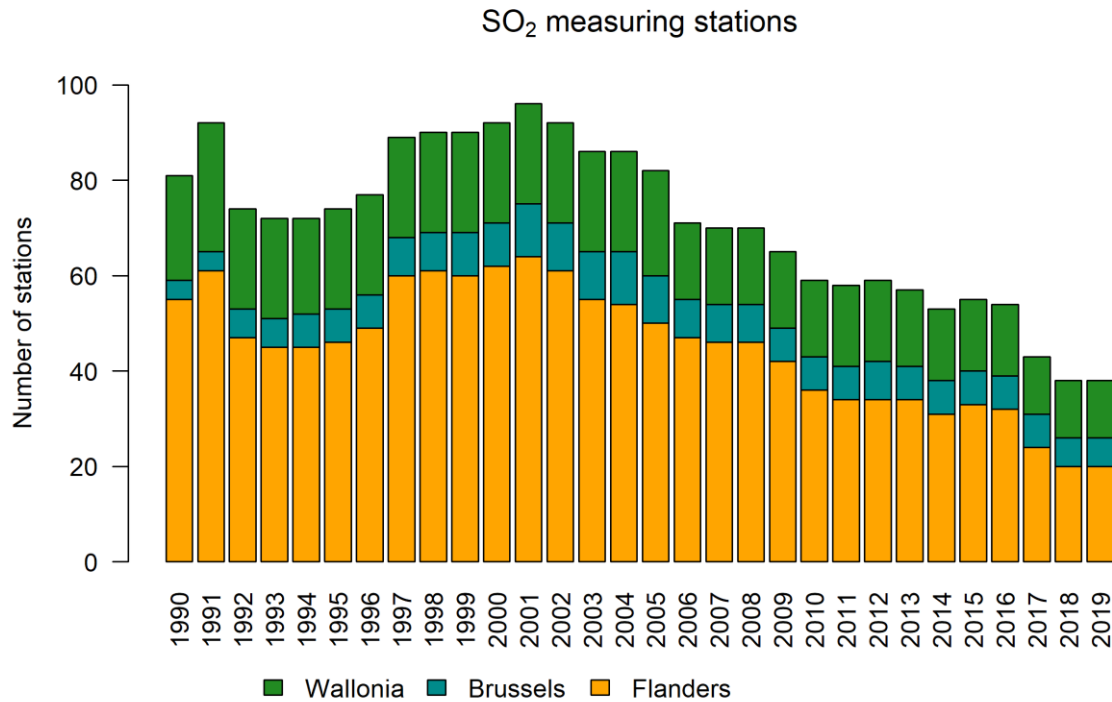
SO₂ is zeer wateroplosbaar en daarbij wordt er gemakkelijk zwavelzuur (H₂SO₄) gevormd. Droge of natte depositie van dat zwavelzuur veroorzaakt verzuring van de bodem en het water, met aantastingen van de ecosystemen als gevolg (MIRA, 2006). Daarnaast zorgt SO₂ in belangrijke mate voor de versnelde verwerking van historische gebouwen (en steen in het algemeen) en voor metaalcorrosie.

SO₂ is tevens een voorloper voor de vorming van aerosolen. Door chemische reacties in de atmosfeer is SO₂ verantwoordelijk voor de vorming van sulfaationen (SO₄²⁻), een component van secundair fijn stof.

SO₂ kan over grote afstanden worden getransporteerd en zo ook in meer afgelegen gebieden schade veroorzaken.

6.1 SO₂-meetstations

Figuur 56 toont de evolutie van het aantal meetstations waar SO₂ gemeten wordt en die getoond worden op de RIO-interpolatiekaarten in dit rapport. Ze omvat zowel de telemetrische stations als de stations die gebruikt worden in specifieke studies en stations die beheerd worden door de elektriciteitsproducenten en de Belgische Petroleumfederatie in samenwerking met de gewestelijke milieuadministraties. Het aantal SO₂-meetstations is gedaald van 81 in 1990 tot 38 in 2019. In de jaren dat er minder meetstations zijn, hebben de geïnterpoleerde waarden een grotere onzekerheid.



Figuur 56: Evolutie van het aantal SO₂-meetstations in België.

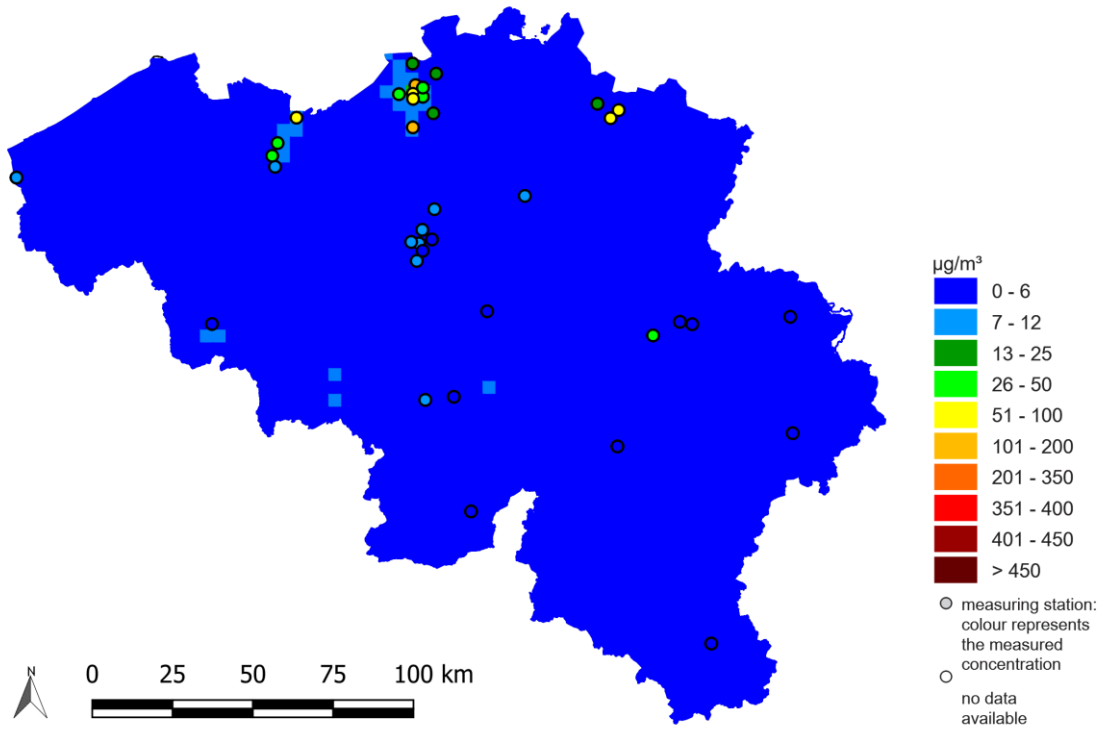
6.2 SO₂-uurgemiddelden

De Europese Luchtkwaliteitsrichtlijn legt een grenswaarde van 350 µg/m³ op voor de uurgemiddelde SO₂-concentratie. Die uurgrenswaarde mag niet vaker dan 24 keer per jaar worden overschreden.

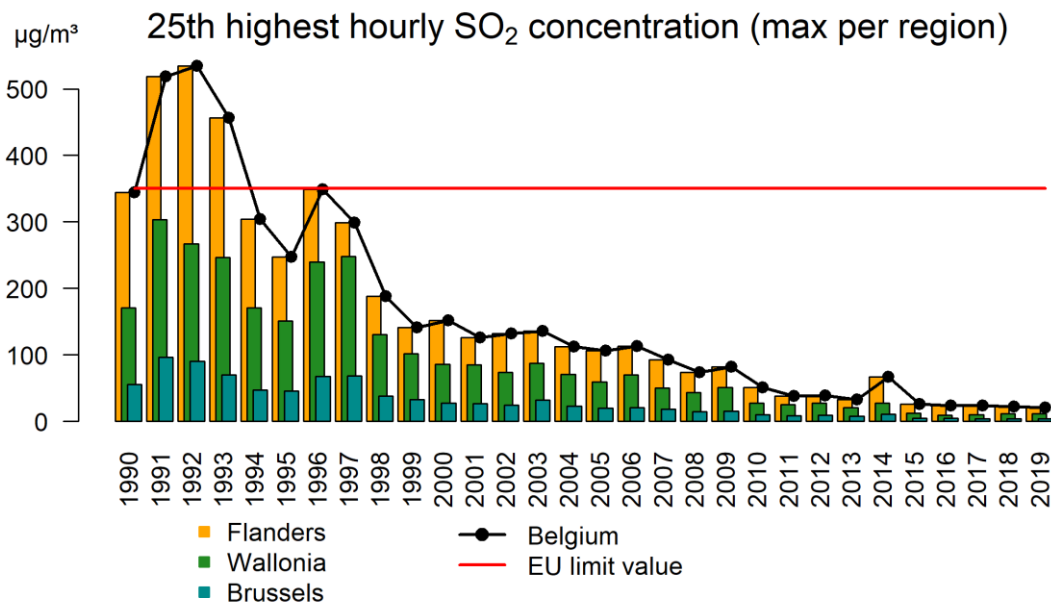
De SO₂-vervuiling vertoont een uiterst lokaal karakter, met grote ruimtelijke variaties en is zeer brongericht. Door de resolutie van de RIO-interpolatiemethode zijn lokale overschrijdingen niet noodzakelijk zichtbaar. In ieder geval wordt in België de uurgrenswaarde ruimschoots gerespecteerd (Figuur 57, Figuur 58, Figuur 59). De hoogste waarden komen voor in de buurt van SO₂-bronnen (in industriële gebieden). Het maximum van de 25^e hoogste uurwaarde in België in 2019, representatief voor een gebied van 4x4 km², bedraagt 20.8 µg/m³, wat ruim onder de Europese grenswaarde van 350 µg/m³ ligt.

De evolutiegrafiek van de 25^e hoogste uurgemiddelde concentratie geeft duidelijk een dalende trend weer. Sinds 1997 zijn de SO₂-piekconcentraties systematisch en fors gedaald. De laatste 4 jaren (2016, 2017, 2018 en 2019) zijn de SO₂-piekconcentraties gestagneerd en nagenoeg constant.

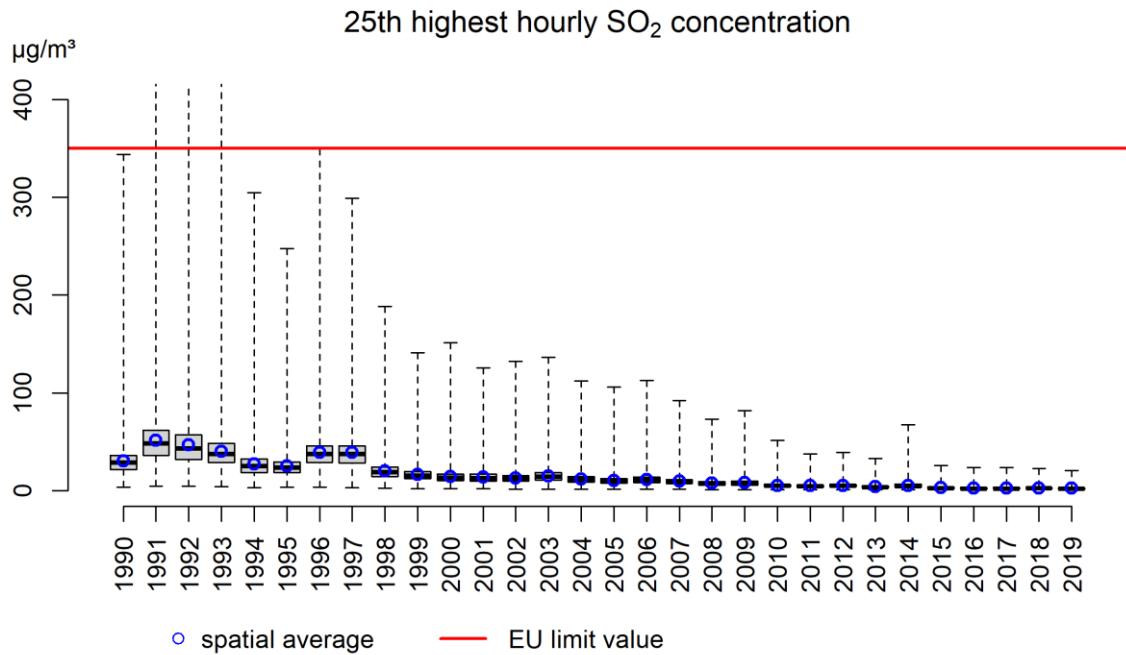
25th highest hourly mean SO₂ (Belgium, 2019)



Figuur 57: 25e hoogste uurgemiddelde SO₂-concentratie in 2019. Alle data werden berekend op basis van de RIO-interpolatietechniek.



Figuur 58: Evolutie van de maximale 25e hoogste uurgemiddelde SO₂-concentratie per gewest en voor België op basis van de RIO-interpolatietechniek.

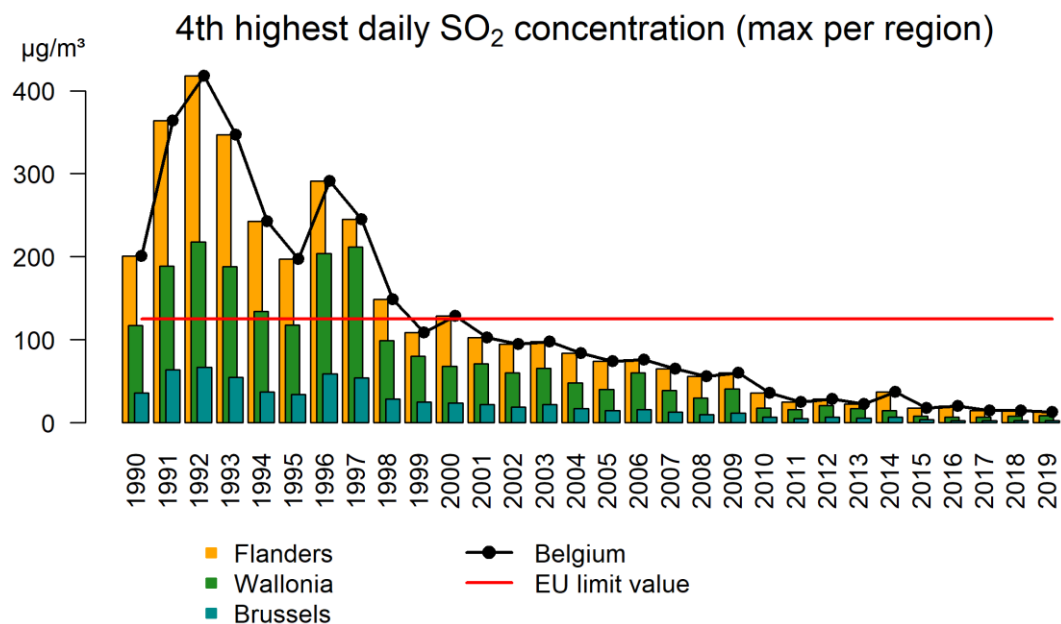


Figuur 59: Boxplot van de 25e hoogste uurgemiddelde SO₂-concentratie over de periode 1990-2019 in België op basis van de RIO-interpolatietechniek.

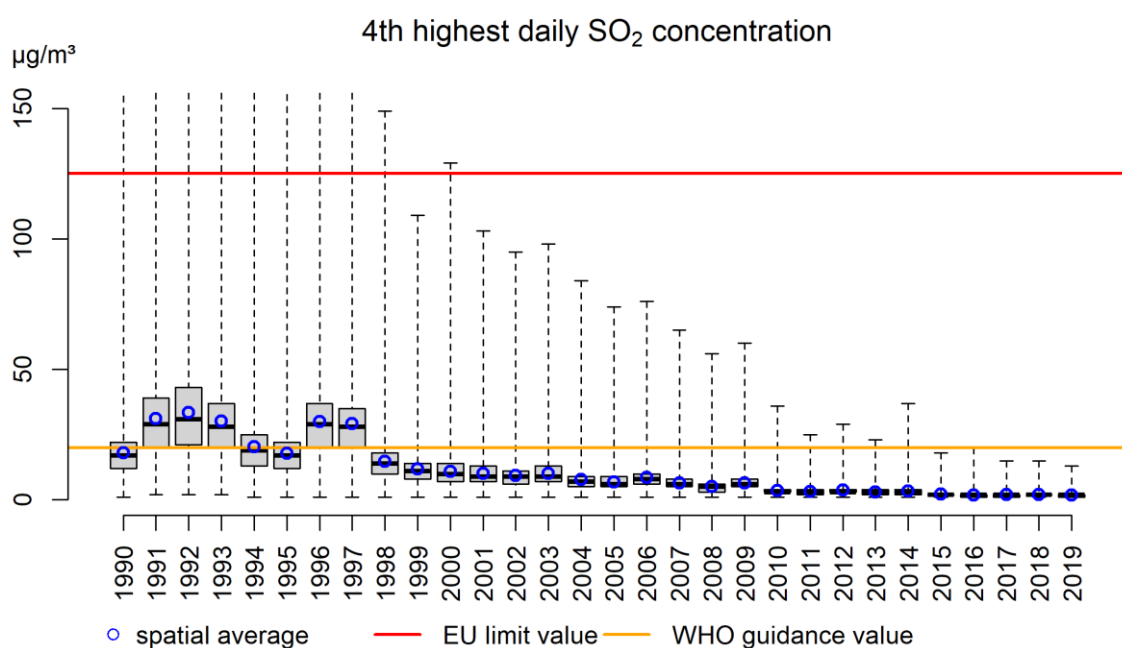
6.3 SO₂-daggemiddelden

Voor de bescherming van de bevolking tegen de kortetermijneffecten van SO₂ wordt door de Europese richtlijn ook een grenswaarde voor de daggemiddelde SO₂-concentratie opgelegd. Die daggrenswaarde van 125 µg/m³ mag maximaal driemaal per jaar worden overschreden. De WGO-advieswaarde is sinds 2006 verstrengd tot 20 µg/m³. De EU-grenswaarde wordt overal ruimschoots gerespecteerd. De WGO-advieswaarde werd voor het laatst overschreden in 2014, in industriële zones.

Net zoals voor de SO₂-uurgemiddelden, vertoont ook de evolutie van de 4^e hoogste daggemiddelden een continu dalende trend (Figuur 60 en Figuur 61). De laatste 4 jaren zijn deze 4^e hoogste dag-gemiddelden nagenoeg constant.



Figuur 60: Evolutie van de maximale 4e hoogste daggemiddelde SO₂-concentratie per gewest en in België op basis van de RIO-interpolatietechniek



Figuur 61: Boxplot van de 4e hoogste daggemiddelde SO₂-concentratie over de periode 1990-2019 in België op basis van de RIO-interpolatietechniek

6.4 SO₂-jaargemiddelden

Ter bescherming van de vegetatie en natuurlijke ecosystemen wordt in de Europese richtlijn ook een kritiek niveau opgelegd van 20 µg/m³ als jaargemiddelde concentratie en een gemiddelde over het winterseizoen. Die grenswaarde moet worden gehaald op meetstations die representatief zijn voor een gebied van minimaal 1000 km², en gelegen zijn op ten minste 20 km van een agglomeratie en op ten minste 5 km van een drukke weg, bebouwing, industrie, ... Omdat België geen locaties heeft die aan die criteria voldoen, is die grenswaarde niet van toepassing.

Besluit

Dit jaarrapport geeft een overzicht van de luchtkwaliteit in België in het jaar 2019, met speciale aandacht voor de ruimtelijke verdeling van de concentraties van de vier belangrijkste polluenten (PM, NO₂, O₃ en SO₂) en ook een bespreking van de evolutie van de verschillende indicatoren doorheen de tijd. Algemeen geldt dat de concentraties en het aantal overschrijdingen dalen sinds het begin van de metingen, met de jaargemiddelde ozonconcentratie als opvallende uitzondering. Zoals blijkt uit Tabel 1 en 2 in de samenvatting, liggen het minimum, gemiddelde en maximum van bijna alle indicatoren in 2019 lager of in de buurt van de gemiddelde waarden van de voorbije 10 jaar, behalve voor ozon waarvoor de meeste indicatoren slechter scoren.

Op basis van een analyse van de langetermijntrend blijkt dat de concentraties van de meeste polluenten zijn afgenomen. In 2019 waren de jaargemiddelde fijnstofconcentraties het laagst sinds de start van de fijnstofmetingen. Ook de ruimtelijke gemiddelde NO₂-concentraties waren lager dan de voorbije jaren. De weliswaar al zeer lage jaargemiddelde SO₂-concentraties stagneren.

Een uitzondering op de daling zijn de jaargemiddelde ozonconcentraties die de laatste decennia zijn toegenomen. Er worden in België ook nog overschrijdingen van de Europese streefwaarde vastgesteld voor het aantal dagen met een hoogste 8-uurgemiddelde ozonconcentratie > 120 µg/m³ (en het geaccumuleerde overschot of AOT60). Voor ozon wordt ook de langetermijndoelstelling ter bescherming van de volksgezondheid en de AOT40 voor vegetatie en bossen overschreden.

Wanneer we vergelijken met de strengere en gezondheidsgerelateerde WGO-advieswaarden, blijkt dat er nog voor bijna alle polluenten, behalve voor NO₂ en SO₂, (en bijbehorende indicatoren), overschrijdingen zijn.

Uit dit jaarrapport kan dus worden geconcludeerd dat de luchtkwaliteit in België de laatste decennia significant verbeterd is, maar dat het gros van de Belgische bevolking nog altijd blootgesteld wordt aan te veel luchtvervuiling. Dit zorgt voor een blijvende en aanzienlijke impact op de volksgezondheid. Ook de impact op ecosystemen blijft ongunstig. Het is in die zin zeker van belang te benadrukken dat de resultaten vermeld in dit rapport gebaseerd zijn op berekeningen met de RIO-interpolatietechniek, met een ruimtelijke resolutie van 4x4 km². De resultaten in dit rapport zijn dan ook representatief voor gebieden met een oppervlakte van 4x4 km². In de nabijheid van belangrijke emissiebronnen (verkeerswegen, industriezones, ...) kunnen de concentraties hoger zijn. Lokale gevalstudies moeten worden uitgevoerd teneinde de meer specifieke effecten te onderscheiden, maar dat valt buiten het kader van dit rapport, dat tot doel heeft een overzicht van de problematiek te geven en de luchtkwaliteit op Belgisch niveau in kaart te brengen.

Referenties

- Amann M., Bertok I., Cabala R., Cofala J., Heyes C., Gyarmas F., Klimont Z., Schöpp W. & Wagner F. (2005) A final set of scenarios for the Clean Air For Europe (CAFE) programme. Studie in opdracht van de Europese Commissie. Final Report, International Institute for Applied Systems Analysis (IIASA), Austria.
- Brunekreef B. & Forsberg B. (2005) Epidemiological evidence of effects of coarse airborne particles on health. *European Respiratory Journal* 26: 309-318.
- Buekers J., Torfs R., Deutsch F., Lefebvre W. & Bossuyt M. (2012) Inschatting ziektelast en externe kosten veroorzaakt door verschillende milieufactoren in Vlaanderen, studie uitgevoerd in opdracht van de Vlaamse Milieumaatschappij, MIRA, MIRA/2012/06, VITO, 2012/MRG/R/187.
- David C. & Ropkins K. (2012) Openair: Open-source tools for the analysis of air pollution data. R package version 0.6-0.
- EU (1996) Directive 96/62/EC on ambient air quality assessment and management.
- EU (2001) Directive 2001/81/EC of the European Parliament and of the Council of 23 October 2001 on national emission ceilings for certain atmospheric pollutants.
- EU (2008) Directive 2008/50/EC of the European Parliament and of the Council of 21 May 2008 on ambient air quality and cleaner air for Europe.
- EU (2011) Uitvoeringsbesluit 2011/850/EU van de commissie houdende uitvoeringsbepalingen van Richtlijnen 2004/107/EG en 2008/50/EG van het Europees Parlement en de Raad met betrekking tot de onderlinge uitwisseling van informatie en de verslaglegging over de luchtkwaliteit.
- Grice S., Stedman J., Kent A., Hobson M., Norris J., Abott J. & Cooke S. (2009) Recent trends and projections of primary NO₂ emissions in Europe. *Atmospheric Environment* 43: 2154-2167.
- Hooyberghs J., Mensink C., Dumont G. & Fierens F. (2006) Spatial interpolation of ambient ozone concentrations from sparse monitoring points in Belgium. *Journal of Environmental Monitoring* 8: 1129-1135.
- Janssen S., Dumont G., Fierens F. & Mensink C (2008) Spatial interpolation of air pollution measurements using CORINE land cover data. *Atmospheric Environment* 42: 4884-4903.
- Jerret M., Burnett R.T., Pope A., Ito K., Thurston G, Krewski D, Shi Y., Calle E. & Thun M. (2009) Long-term ozone exposure and mortality. *New England Journal of Medicine* 360-11: 1085-1095.
- Lefebvre W., Degrawe G., Beckx C., Vanhuelel M., Kochan B., Bellemans T., Janssens D., Wets G., Janssen S., de Vlioger I., Int Panis L. & Dhondt S. (2013) Presentation and evaluation of an integrated model chain to respond to traffic and health –related policy questions. *Environmental Modelling and Software* 40: 160-170.
- LNE (2012) Luchtkwaliteitsplan in het kader van de uitstelaanvraag voor de normen van NO₂, Joke Schauvliege, Vlaams minister van Leefmilieu, Natuur en Cultuur, <https://omgeving.vlaanderen.be/luchtverontreiniging-actieplannen>.
- LNE (Euronormen voor voertuigen), <http://www.lne.be/themas/milieu-en-mobiliteit/milieuvriendelijke-voertuigen/ecoscore-en-euronormen/euronormen-voor-voertuigen>
- MIRA (2006) Milieu Vlaanderen, Achtergronddocument 2006 Verzuring, Van Avermaet P., Van Hooste H. & Overloop S., Vlaamse Milieumaatschappij, <http://www.milieurapport.be>

MIRA (2011) Milieurapport Vlaanderen, Achtergronddocument 2011 Vermesting. Overloop S., Bossuyt M., Claeys D., D'hooghe J., Elsen A., Eppinger R. & Wustenberghs H., Vlaamse Milieumaatschappij, www.milieurapport.be

Quantum GIS Development Team (2012) Quantum GIS Geographic Information System. Open Source Geospatial Foundation Project. <http://qgis.osgeo.org>

R Core Team (2017) R: A language and environment for statistical computing. R Foundation for Statistical Computing, Vienna, Austria, URL <http://www.R-project.org/>

Sen P.K. (1986) Estimates of regression coefficient based on Kendall's tau. *Journal of the American Statistical Association* 63 (324).

Theil H. (1950) A rank invariant method of linear and polynomial regression analysis. *Proceedings of the Koninklijke Nederlandse Akademie Wetenschappen, Series A- Mathematical Sciences* 53: 386-392, 521-525, 1397-1412.

Torseth K., Aas W., Breivik K., Fjaeraa A.M., Fiebig M., Hjellbrekke A.G., Lund Myhre C., Solberg S. & Yttri K.E. (2012) Introduction to the European Monitoring and Evaluation Programme (EMEP) and observed atmospheric composition change during 1972-2009. *Atmospheric Chemistry and Physics* 12, 5447-5481.

VMM (2009) Chemkar PM₁₀: Chemische karakterisatie van fijn stof in Vlaanderen, 2006-2007

VMM (2010) Chemkar PM₁₀ 'hotspots': Chemische karakterisatie van fijn stof in Vlaanderen, 2008-2009

WHO (2006) *Air quality guidelines — global update 2005*, World Health Organization Regional Office for Europe, Copenhagen.

WHO (2012), http://www.iarc.fr/en/media-centre/pr/2012/pdfs/pr213_E.pdf

WHO (2013), Review of evidence on health aspects of air pollution (REVIHAAP): <http://www.euro.who.int/en/health-topics/environment-and-health/air-quality/publications/2013/review-of-evidence-on-health-aspects-of-air-pollution-revihaap-project-final-technical-report>

Bijlage A: Meetstations

De onderstaande tabel geeft een overzicht van de meetstations waarvan de metingen te zien zijn op de geografische kaarten in dit rapport. De vetgedrukte kruisjes geven per pollutant aan welke stations gebruikt zijn in de berekeningen met de RIO-interpolatietechniek.

Stations-code	Locatie	PM ₁₀	PM _{2,5}	O ₃	NO ₂	BC	SO ₂
40AL01	ANTWERPEN-LINKEROEVER	X	X			X	
40AL02	DOEL (ENGELSESTEENWEG)	X	X				
40AL03	BEVEREN	X	X				
40AL04	BEVEREN	X	X			X	
40AL05	KALLO (SLUIS KALLO)	X	X			X	
40GK06	DIEPENBEEK	X	X				
40GK09	GENK				X		X
40GK11	GENK	X	X				
40HB23	HOBOKEN	X	X		X		X
40HH08	HOUTHALEN- HELCHTEREN	X	X				
40LD01	LAAKDAL-GEEL				X		
40LD02	LAAKDAL - GEEL				X		
40MN01	MENEN	X	X				
40OB01	OOSTROZEBEKE	X	X				
40OB02	WIELSBEKE	X	X				
40R833	STABROEK				X		
40RL01	ROESELARE (BRUGSESTEENWEG)	X	X				
40SA04	HOEVENEN	X	X			X	

40SZ01	STEENOKKERZEEL	X	X		X	X	
40SZ02	STEENOKKERZEEL	X	X		X	X	
40TS21	TESSENDERLO						X
40WZ02	MOL (WEZEL)						X
41B004	BRUSSEL (SINT-KATELIJNE)			X	X		
41B006	BRUSSEL (EU-PARLEMENT)			X	X		
41B008	BRUSSEL (BELLIARD)				X		X
41B011	SINT-AGATHA-BERCHEM	X	X	X	X		
41MEU1	MUEDON	X	X		X		X
41N043	HAREN	X	X	X	X	X	X
41R001	SINT-JANS-MOLENBEEK	X	X	X	X	X	X
41R002	ELSENE				X	X	X
41R012	UKKEL	X	X	X	X	X	X
41W011	SINT-LAMBRECHTS-WOLUWE	X		X	X	X	X
42M802	ANTWERPEN LUCHTBAL	X	X		X	X	X
42N016	DESSEL	X	X	X	X	X	X
42N027	BREE			X	X		
42N035	AARSCHOT	X	X	X	X		X
42N040	SINT-PIETERS-LEEUEW			X	X		
42N046	GELLIK			X	X		
42N047	HASSELT	X	X			X	
42N054	LANDEN	X	X	X	X		
42R010	SINT-STEVENS-WOLUWE				X		
42R020	VILVOORDE	X	X		X		X

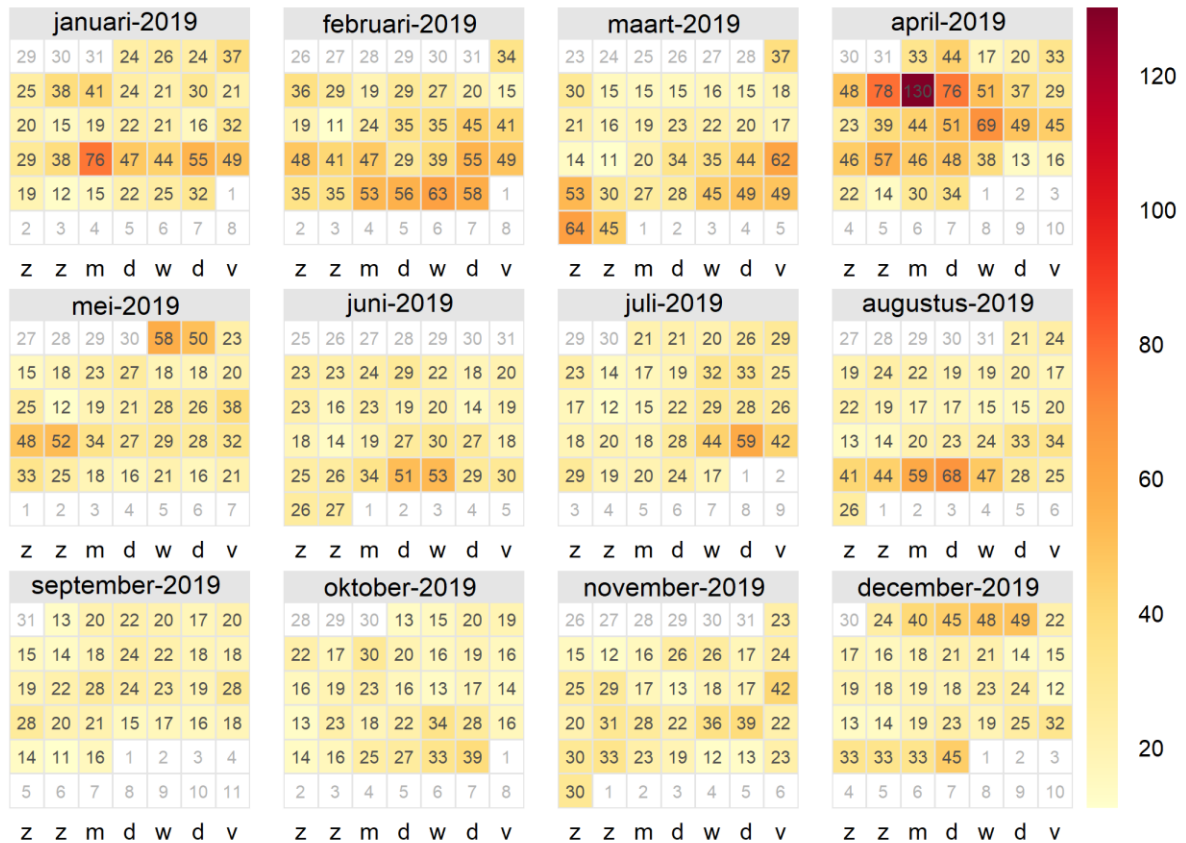
42R801	ANTWERPEN	X	X	X	X	X	X
42R802	ANTWERPEN	X	X		X	X	
42R803	ANTWERPEN	X	X		X	X	
42R804	BORGERHOUT (RING)	X	X		X	X	
42R805	ANTWERPEN	X	X		X	X	
42R811	SCHOTEN	X	X	X	X		
42R817	ANTWERPEN	X	X		X	X	
42R818	ANTWERPEN	X	X			X	
42R820	KAPellen				X		X
42R822	ANTWERPEN				X		X
42R823	BEVEREN-WAAS	X	X				
42R830	DOEL				X		X
42R831	BERENDRECHT	X	X	X	X		X
42R834	BOOM	X	X		X		
42R891	ANTWERPEN				X		X
42R892	KALLO				X		X
42R893	ANTWERPEN				X		X
42R897	ANTWERPEN				X		X
43H201	SAINT NICOLAS	X	X				X
43M204	ANGLEUR	X	X				
43N060	HAVINNES	X	X	X	X		X
43N063	CORROY LE GRAND	X	X	X	X		X
43N066	EUPEN			X	X		X
43N067	MEMBACH	X	X				
43N070	MONS	X	X	X	X		X
43N073	VEZIN	X	X	X	X		

43N085	VIELSALM	X	X	X	X	X	X
43N093	SINSIN	X	X	X	X		X
43N100	DOURBES	X	X	X	X		X
43N113	SAINT-ODE	X	X	X	X		
43N121	OFFAGNE	X	X	X	X		
43N132	HABAY-LA-NEUVE	X	X	X	X		X
43R221	LUIK	X	X			X	X
43R222	LUIK	X	X	X	X		X
43R223	JEMEPPE	X	X		X		X
43R240	ENGIS	X	X	X	X		X
44M702	ERTVELDE				X		
44M705	ROESELARE	X	X	X	X	X	
44N012	MOERKERKE	X	X	X	X		
44N029	HOUTEM	X	X	X	X	X	X
44N051	IDEGEM			X	X		
44N052	ZWEVEGEM	X	X	X	X		
44R701	GENT	X	X	X	X	X	X
44R702	GENT	X	X		X	X	
44R710	DESTELBERGEN	X	X	X	X		
44R721	WONDELGEM				X		X
44R731	EVERGEM	X	X		X		X
44R740	SINT-KRUIS-WINKEL	X	X	X	X		X
44R750	ZELZATE	X	X		X	X	X
45R501	CHARLEROI	X	X		X		
45R502	LODELINSART	X	X	X	X		
45R510	CHATELINEAU	X	X				X

45R511	MARCINELLE	X	X					
45R512	MARCHIENNE AU PONT	X	X		X	X	X	

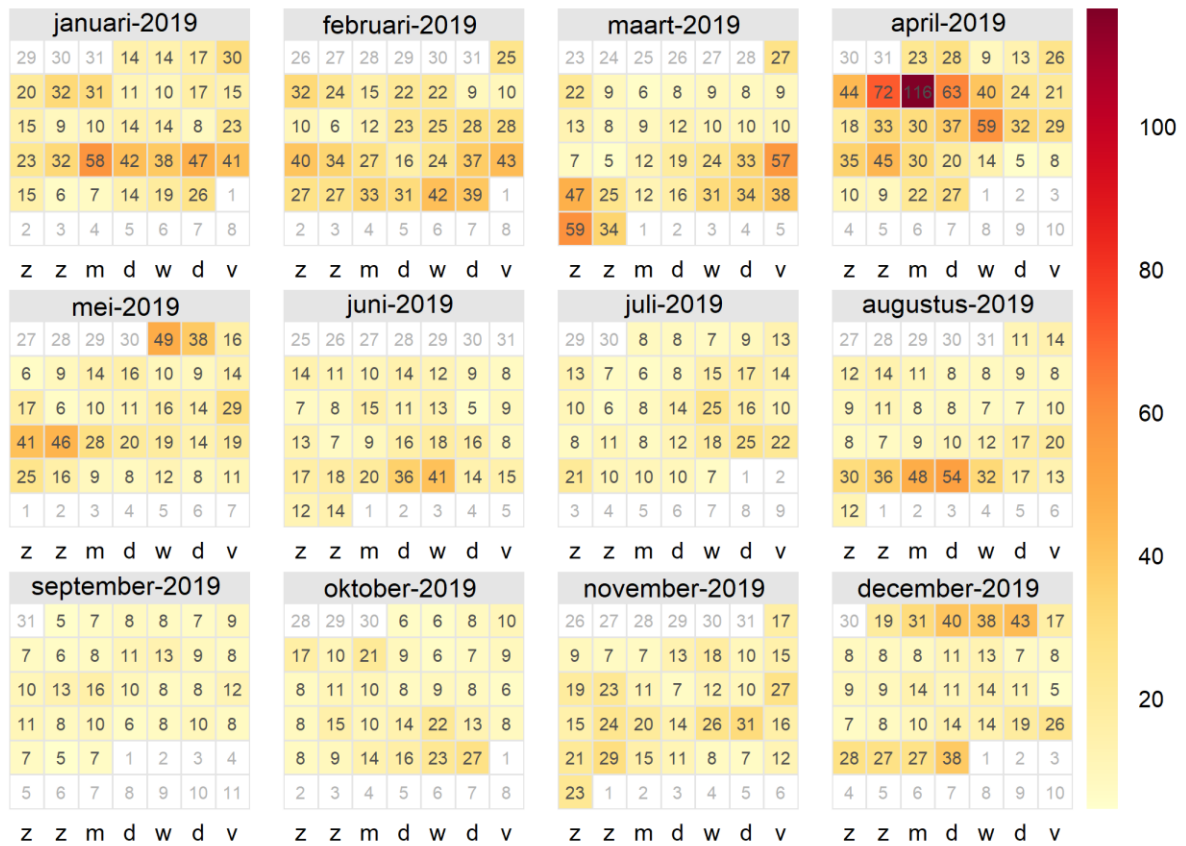
Bijlage B: Jaaroverzicht van luchtkwaliteitspolluenten

Mean daily PM₁₀ concentrations in 2019



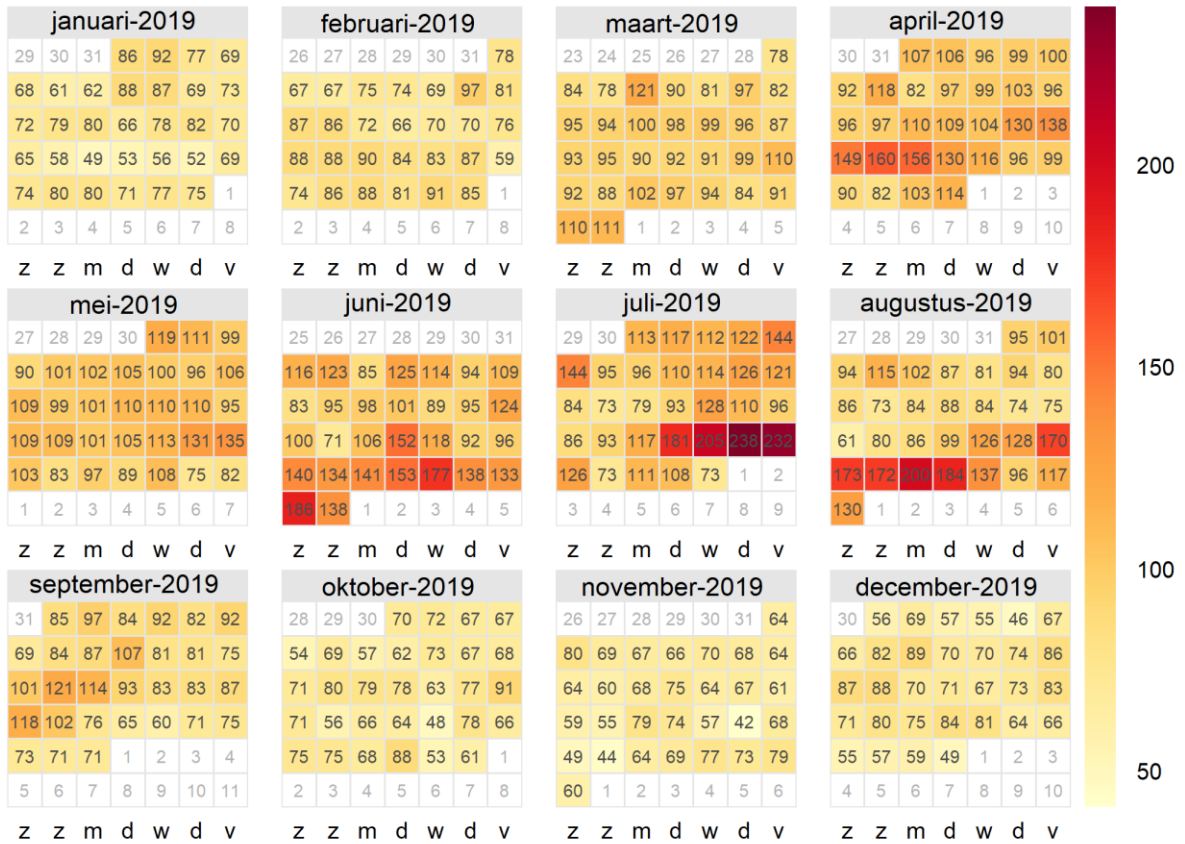
Ruimtelijk maximum van daggemiddelde PM₁₀-concentraties in 2019

Mean daily PM_{2.5} concentrations in 2019



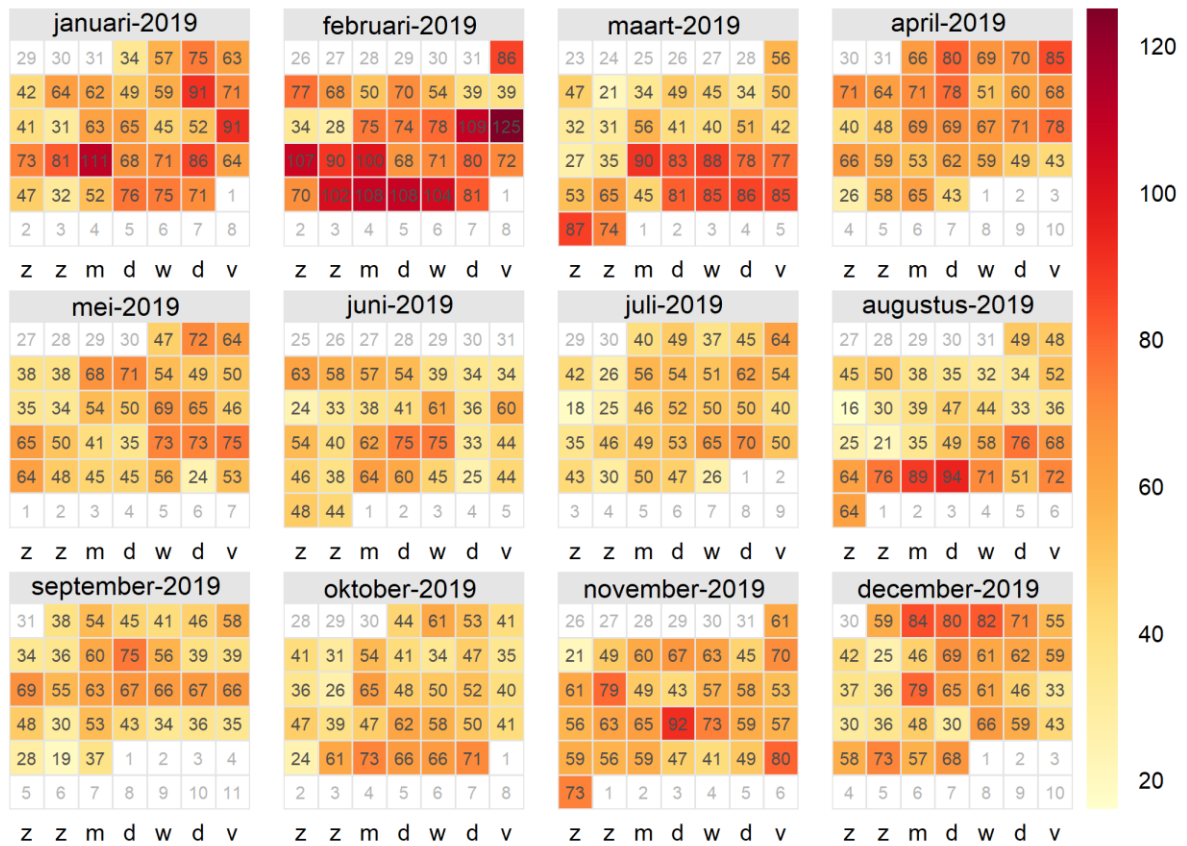
Ruimtelijk maximum van daggemiddelde PM_{2.5}-concentraties in 2019

Maximum daily O₃ concentrations in 2019



Dagelijkse maximale O₃-concentraties in 2019

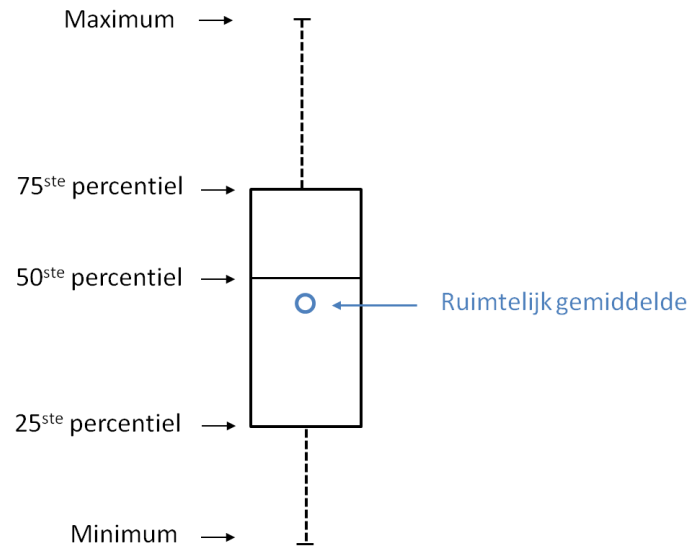
Maximum daily NO₂ concentrations in 2019



Dagelijkse maximale NO₂-concentraties in 2019

Bijlage C: Interpretatie van boxplots

Een boxplot is een grafische voorstelling waarmee snel een overzicht kan worden verkregen van de verdeling van een verzameling gegevens. Het geeft de kwartielen (ofwel het 25^{ste} en 75^{ste} percentiel), de mediaan (het 50^{ste} percentiel) en de grootste en de kleinste waarde van de verzameling weer. Het x-ste percentiel is die waarde waarbij x% van alle waarden lager is en 100-x% van de waarden hoger.



Voorstelling van een boxplot

Bijlage D: Onzekerheidskaarten

De RIO-geïnterpoleerde waarde is geen absoluut juiste waarde maar is onderhevig aan een bepaalde onzekerheid. Naast de onzekerheid van de uur- of daggemiddelde, geïnterpoleerde concentraties, zorgt ook de aggregatie ervan tot jaargemiddelden of dagoverschrijdingen voor onzekerheid.

In de RIO-interpolatietechniek draagt een aantal aspecten bij tot de onzekerheid van de geïnterpoleerde concentraties.

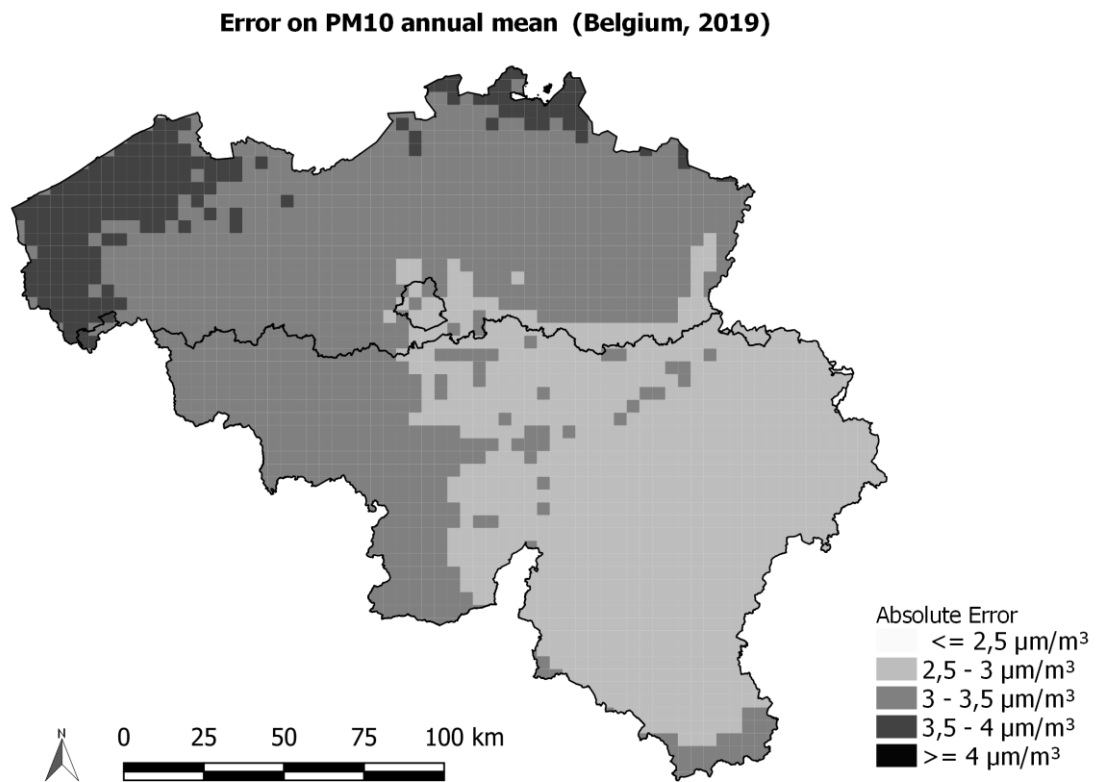
1. Fout op de meetwaarden: die wordt indirect in rekening gebracht omdat het variogram gebruikt in de Kriging (d.i. een onderdeel van de RIO-interpolatietechniek) een ‘nugget’-effect vertoont (d.i. bij een afstand 0 tussen meetstations wordt niet dezelfde gemeten concentratie verondersteld).
2. Clustering van meetstations: meer stations dicht bij elkaar geven een kleinere interpolatieonzekerheid.
3. Afstand tot de meetstations: op een plaats die verder gelegen is van meetstations is er een grotere interpolatieonzekerheid.
4. Variatie van de metingen zelf: als de metingen voor dicht bij elkaar gelegen meetplaatsen een grote variatie vertonen, dan is de interpolatieonzekerheid ook groter.
5. Fout door re- en detrending (zowel voor trendgemiddelden als standaardafwijking).

Nadat eerst de onzekerheid van de uur- of daggemiddelde geïnterpoleerde concentraties bepaald is, moet er bij de aggregatie worden rekening gehouden met het volgende.

1. Autocorrelatie omdat er globaal gezien minder informatie ter beschikking is, omdat bv. de concentraties van vandaag afhankelijk zijn van die van gisteren.
2. Covariantie tussen de verschillende gridcellen die altijd een vast ruimtelijk patroon vertonen door de tijd.

Op basis van bovenstaande bronnen van onzekerheid wordt er een onzekerheid (1 sigma) berekend voor de RIO-geïnterpoleerde concentraties (zie onderstaande kaarten), uitgaande van een normale verdeling van de metingen. Een fout van 1 sigma betekent dat voor een waarde x en een fout van $5.0 \mu\text{g}/\text{m}^3$, er 68 % kans is dat de werkelijke waarde tussen $(x - 5.0)$ en $(x + 5.0) \mu\text{g}/\text{m}^3$ ligt. Op basis van de geïnterpoleerde concentratie, de berekende onzekerheid en de grenswaarde kan dan een overschrijdingskans van de Europese grenswaarden worden berekend (‘Probability of exceedance’).

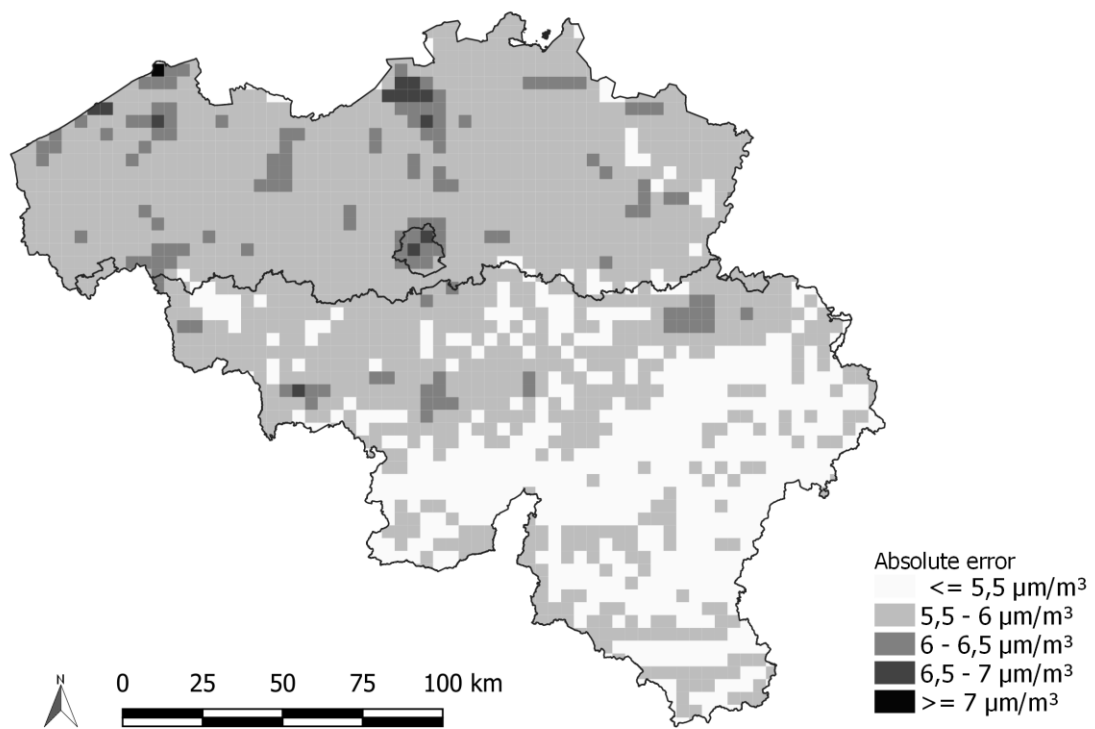
PM₁₀



Ruimtelijke spreiding van de absolute fout ($\mu\text{g}/\text{m}^3$) op de jaargemiddelde PM₁₀-concentratie

NO₂

Error on NO₂ annual mean (Belgium, 2019)



Ruimtelijke spreiding van de absolute fout (µg/m³) op de jaargemiddelde NO₂-concentraties